

STUDIO PER LO SVILUPPO DI MODELLI IDRODINAMICI RIGUARDANTI GLI ASPETTI DI INTERAZIONE ONDA-CORRENTE

Studio per lo sviluppo di Modelli Idrodinamici riguardanti gli aspetti di Interazione Onda-Corrente

Ing. Alessandra Romolo

Tutor: Ing. Francesco Lalli

1. Introduzione

Molteplici sono le azioni che contribuiscono a determinare la morfologia della fascia costiera, intesa come quella porzione di territorio comprendente tra la linea di battigia e la zona di frangimento (in corrispondenza della quale l'onda si rompe e subisce una variazione del suo moto da oscillatorio a traslatorio).

Le dinamiche che entrano in gioco risultano particolarmente complesse, in quanto derivano da diversi fenomeni fisici interagenti tra loro e concorrenti nella formazione della configurazione complessiva. L'innesco di tali fenomeni è dovuto all'azione del moto ondoso, che dal largo si dirige verso la costa, e produce azioni dirette sia sul litorale che su tutte le strutture poste a protezione della fascia costiera.

Tali azioni possono anche subire alterazioni e distorsioni indotte, sia da correnti, che dall'interazione con i fiumi, in corrispondenza delle foci. Le dinamiche che si innestano risultano particolarmente complesse e di notevole interesse, in quanto vengono determinate alterazioni, sia nelle sollecitazioni indotte su eventuali strutture, sia nell'evoluzione e nelle dinamiche generatrici della morfologia costiera.

Oggetto della presente tesi sarà lo studio di tali processi, che riguardano la propagazione di onde di mare in presenza di correnti (ad esempio, in presenza di foci di fiumi), e la loro possibile interazione con strutture costiere dalla generica geometria.

Nelle applicazioni pratiche dell'ingegneria costiera, caratterizzate da fenomeni su ampia scala nel dominio spazio/tempo, queste complesse interazioni sono spesso affrontate nell'approccio classico del *radiation-stress* proposto da Longuet-Higgins e Stewart (1964), in cui vengono considerate le componenti del flusso stazionario del moto ondoso.

La propagazione del moto ondoso nelle regioni costiere è ampiamente studiata anche con i metodi denominati "*mildslope*" (Berkhoff, 1972; Ito e Tanimoto, 1972; Gao e Radder, 1998).

Per l'analisi e la previsione della diffrazione del moto ondoso prodotto da una secca (*shoal*) e per l'interazione di onde con correnti, è stato più recentemente proposto un modello per flusso potenziale (Tenget ed altri (2001), interamente 3-D), che risulta esatto al primo ordine di approssimazione, dal momento che la funzione di Green - nella formulazione integrale - soddisfa le condizioni lineari al contorno della superficie libera. Questo modello limita, però, l'interazione *onde - correnti* al solo caso di flusso stazionario, anche se molte configurazioni implicano un flusso viscoso non uniforme, come nel caso di interazione onda-getto.

Un approccio 3-D totalmente non lineare, non stazionario, per un flusso potenziale a superficie libera, è stato proposto da Lalli et al. (1996) e da Lalli (1997).

Le predette esperienze costituiscono la base su cui è stato approfondito – nel presente studio – l'aspetto connesso all'interazione tra il flusso di un fiume immissario con il moto ondoso, con le correnti indotte e con le strutture costiere; una configurazione che è la risultante della combinazione di due campi di moto riconoscibili nell'ambito della meccanica dei fluidi, noti come "*jet in a cross-flow*" and the "*impact jet on a wall*".

E' stata trascurata la presenza di flusso *long-shore*, considerando soltanto il termine di forzante dovuto al deflusso fluviale; ne consegue che sono stati assunte come più importanti le interazioni tra il flusso proveniente dal fiume e il moto ondoso e con le strutture portuali.

STUDIO PER LO SVILUPPO DI MODELLI DRODINAMICI RIGUARDANTI GLI
ASPETTI DI INTERAZIONE ONDA-CORRENTE

L'analisi numerica è stata condotta con impiego delle equazioni classiche dette *depth averaged shallow water*, trascurando gli effetti di stratificazione e focalizzando l'interesse su *barotropic features*. La soluzione numerica è stata ottenuta attraverso un metodo alle differenze finite [Finite Element Method - FEM] (Lalli et al, 2002)¹.

Grazie alle attuali elevate possibilità computazionali, l'interesse maggiore della comunità scientifica sulle tematiche dell'ingegneria costiera è oggi focalizzato su modelli 3-D (*idrostatici e non idrostatici*), in quanto, in molti casi, risulta importante predire le variazioni prodotte sul moto ondoso indotte da alterazioni di salinità e/o di temperatura. Da ciò, deriva la necessità di impiegare modelli 3-D². Talvolta, però, la geometria del problema consente l'uso di equazioni mediate sulla profondità, che, quindi, sono ancora ampiamente usate con successo nelle applicazioni.

Il tema trattato si inquadra in un ambito più ampio che interessa anche numerosi altri effetti che concorrono a determinare uno dei fenomeni ambientali ad oggi di maggiore interesse, quello dello studio della dinamica dei litorali.

E' ad oggi, infatti, noto come le azioni del moto ondoso sotto costa e le correnti marine sono, in larga misura, la causa che determina l'evoluzione della linea di costa.

Fissando l'attenzione sulla fascia di territorio compresa tra la linea di battigia e la zona di frangimento, si ha che in corrispondenza della zona di frangimento l'onda è affetta da instabilità che ne produce la rottura, con conseguente alterazione del moto che da oscillatorio diventa traslatorio, cui è connessa una tendenza al trasporto di materiale solido. Ne deriva una complessa azione che interessa la trasformazione morfologica dei litorali (*comprendente sia le spiagge emerse che la piattaforma litoranea*), e che dipende, sostanzialmente, dai fenomeni di interazione tra il moto ondoso incidente, le caratteristiche morfologiche dei fondali e la granulometria del materiale solido sollecitato.

In questo complesso quadro si inseriscono anche i fenomeni di interazione onda-corrente, che determinano un'alterazione dei profili associati al moto ondoso e una modifica degli effetti indotti su un litorale.

Il modellamento dei litorali, infatti, deriva principalmente dal trasporto litoraneo (*trasversale e longitudinale*) dei sedimenti ed è dovuto a due fenomeni distinti e contemporanei :

- la messa in sospensione dei sedimenti da parte del moto ondoso e/o dalle correnti;
- il generarsi di correnti marine, indotte dallo stesso moto ondoso, che traggono origine dal frangimento e costituiscono il veicolo di trasporto dei sedimenti.

Le correnti indotte sono di duplice natura :

- la *beach drifting*, localizzata nella zona compresa tra la linea di battigia e la linea di frangimento, ha un carattere oscillatorio, determinata da due movimenti contemporanei : un *flusso diretto*, generalmente obliquo, verso la riva, ed un *riflusso*, secondo le linee di massima pendenza del fondale, che produce uno spostamento delle particelle "a dente

¹ In letteratura può essere reperito un numero molto grande di esempi di modelli numerici per la simulazione di circolazione costiera : Foreman (1984), Casulli (1990), Borthwick and Barber (1992) Zhou e Stansby (1999), Guillou e Nguyen (1999), Liska e Wendroff (1999)

² (cfr., ad es., Balas e Ozhan (2000), Winters et al. (2000), Li e Wang (2000).

di segd" ed uno spostamento del materiale solido parallelamente al litorale ed in direzione sottoflutto.

- la *longshore current*, che si produce in corrispondenza dei fondali in cui si verifica il frangimento e deriva dalla componente parallela alla riva dell'energia cinetica del moto ondoso, ed è anch'essa parallela alla costa.

Il complesso delle correnti indotte è soggetto a continua evoluzione, determinata dall'insorgere di interferenze con fattori esterni prodotti sia da cause naturali, che da fattori antropici. Per le prime, effetti rilevanti possono essere determinati da cambiamenti di direzione di corsi d'acqua, o da creazione di nuove foci, da cui si innescano azioni di contrasto con i flussi a superficie libera.

Tralasciando, per i secondi, gli aspetti più macroscopici e noti, come la costruzione di opere portuali o di difesa dei litorali, gli interventi di stabilizzazione dei versanti e la progressiva urbanizzazione delle zone costiere, appare non meno importante e significativa la scomparsa, a causa dell'inquinamento e della conseguente mancata ossigenazione delle acque, delle praterie marine di fanerogame, ed in genere della vegetazione nei bassi fondali litoranei, la cui assenza riduce la stabilizzazione del fondo marino ed esalta l'intensità del moto ondoso e, quindi, delle correnti indotte.

2. Calcolo numerico di flussi a superficie libera con il metodo degli elementi di contorno (Boundary Element Method – BEM): propagazione del moto ondoso

2.1 Il Modello Matematico

Nel presente paragrafo verrà analizzato, innanzitutto, il problema idrodinamico della propagazione del moto ondoso sia in condizioni di campo indisturbato che di propagazione in presenza di una struttura dalla geometria generica, nell'ipotesi che il moto sia incompressibile ed irrotazionale.

Nel caso di fluido viscoso, il modello matematico capace di descrivere il moto nelle condizioni in esame è l'*equazione di Navier-Stokes*, che rappresenta la seconda legge della dinamica in termini della meccanica del continuo. Detta equazione stabilisce il seguente legame tra forze di volume, forze di superficie e accelerazione del fluido:

$$\rho \left(\frac{\partial \vec{u}}{\partial t} + \vec{u} \cdot \nabla \vec{u} \right) = -\nabla p + \rho \vec{g} + \mu \nabla^2 \vec{u} \quad (1)$$

in cui: ρ è la densità; $\vec{g} = (0,0,-g)$ è l'accelerazione di gravità; p è la pressione; μ è la viscosità; $\vec{u} = (u_x, u_y, u_z)$ è la velocità del fluido.

Per essere risolta l'*equazione di Navier-Stokes* deve essere accoppiata al *principio di conservazione della massa* espresso da

$$\nabla \cdot \vec{u} = 0 \quad (2)$$

e deve essere unita ad opportune *condizioni al contorno*.

L'applicazione del modello dell'*equazione di Navier-Stokes* presenta, però, alcuni problemi nell'ambito applicativo dell'ingegneria idraulica per i seguenti due motivi:

1. nelle applicazioni il numero di Reynolds ($Re \equiv UL\rho/\mu$) è generalmente elevato e può arrivare fino a valori di 10^9 .

I moti in cui il numero di Reynolds è così elevato sono caratterizzati dalla presenza di variazioni ad elevata frequenza, sia nello spazio che nel tempo, delle grandezze idrodinamiche, tali da richiedere griglie di calcolo molto fitte e, quindi, risorse di calcolo molto onerose. Conseguentemente la soluzione numerica del problema di Navier-Stokes in simulazione diretta (ossia senza introdurre modelli che tengano conto implicitamente di fenomeni turbolenti) risulta gravosa da un punto di vista computazionale.

Una possibilità di risoluzione del problema è quella di risolvere il flusso con una griglia tale da descrivere le strutture idrodinamiche su grande scala, utilizzando dei modelli che tengano in qualche modo conto della distribuzione e della dissipazione di energia legata alle piccole strutture di flusso, nell'ipotesi che il comportamento del fluido su scale molto piccole, rispetto alla geometria del problema in esame, possa assumere carattere universale; il modo più semplice di operare in questa direzione consiste nel risolvere le equazioni del moto in termini di grandezze (opportunamen-

te) mediate, e modificare il coefficiente di viscosità per tenere conto delle dissipazioni aggiuntive;

2. la presenza della superficie libera, che è una grandezza variabile nel tempo, introduce delle grosse difficoltà in quanto richiede l'utilizzo di griglie di calcolo mobili che seguano l'evoluzione del moto ondoso al variare del tempo.

Risulta, pertanto, conveniente e preferibile l'utilizzo di modelli semplificati. A tal scopo pur mantenendo l'assunto di moto incomprimibile ed irrotazionale si farà riferimento nel proseguo ad un fluido non viscoso. I fenomeni inerenti la propagazione del moto ondoso risulteranno comunque analizzati nella loro globalità pur nella semplificazione che consente di trascurare gli effetti della viscosità.

Nell'ipotesi di assenza di viscosità, nell'equazione di Navier-Stokes (Eq. (1)) l'ultimo termine può essere trascurato, riducendosi alla cosiddetta equazione di Eulero.

Considerando, inoltre, il teorema di Kelvin secondo cui condizione necessaria e sufficiente affinché un moto piano sia irrotazionale è che (l'estensione al caso tridimensionale è immediata)

$$\frac{\partial u_y}{\partial z} = \frac{\partial u_z}{\partial y}$$

esiste una funzione detta "potenziale di velocità" $\Phi(x, y, z, t)$, tale che la velocità del fluido può essere espressa mediante la funzione potenziale di velocità

$$\bar{u}(x, y, z, t) = \nabla \Phi(x, y, z, t) \quad (3)$$

L'introduzione di tale grandezza determina una notevole semplificazione del problema, infatti, il campo idrodinamico vettoriale risulta univocamente determinato da una funzione scalare.

Grazie alle semplificazioni introdotte, il problema del moto ondoso potrà essere totalmente studiato mediante il sistema di equazioni differenziali di Stokes (1847) valido per un moto irrotazionale a superficie libera.

Fissato un sistema di riferimento cartesiano $Oxyz$, con il piano xy orizzontale, coincidente con la superficie libera indisturbata, e l'asse z verticale orientato verso l'alto, le equazioni che costituiscono il sistema di Stokes è costituito dalle seguenti equazioni:

- *equazione di Bernoulli*, scritta nell'ipotesi di moto ideale, stazionario e irrotazionale, e particolarizzata alla quota $z = \eta$:

$$\frac{\partial \Phi}{\partial t} + \frac{1}{2} \nabla \Phi \cdot \nabla \Phi + g \eta = \frac{1}{\rho} f(t) \quad \text{su } z = \eta \quad (4)$$

Tale equazione esprime la condizione dinamica sulla superficie libera in quanto è stata ottenuta imponendo un valore costante della pressione sulla superficie libera, e, precisamente, imponendo che la pressione relativa alla pressione atmosferica sulla superficie libera dell'acqua sia nulla. Si osserva che tale assunto non consente di studiare, ad esempio, il problema della generazione di onde da parte del vento, in cui i gradienti di pressione in corrispondenza dell'interfaccia giocano un ruolo fondamentale.

Si osservi che questa relazione è stata ottenuta trascurando il contributo della tensione superficiale.

- *equazione cinematica sulla superficie libera*, che esprime, matematicamente, la condizione che la funzione $\eta(x, y, t)$ rappresenta l'elevazione istantanea della superficie libera dell'acqua, calcolata rispetto al livello di quiete:

$$\left(\frac{\partial \Phi}{\partial x} \right)_{z=\eta} \frac{\partial \eta}{\partial x} + \left(\frac{\partial \Phi}{\partial y} \right)_{z=\eta} \frac{\partial \eta}{\partial y} + \frac{\partial \eta}{\partial z} = \left(\frac{\partial \Phi}{\partial z} \right)_{z=\eta} \quad (5)$$

Tale condizione si ottiene individuando un opportuno volume di controllo, di ampiezza fissata, e di altezza individuata dall'elevazione della superficie libera in presenza di onda, per il quale si scrive l'equazione di continuità della massa liquida. L'acqua, che entra nel volume considerato, dovrà uguagliare l'acqua che esce attraverso il medesimo volume e quella che si accumula all'interno dello stesso.

- *equazione di continuità della massa*, che dà luogo all'equazione di Laplace:

$$\nabla^2 \Phi = \frac{\partial^2 \Phi}{\partial x^2} + \frac{\partial^2 \Phi}{\partial y^2} + \frac{\partial^2 \phi}{\partial z^2} = 0 \quad (6)$$

che richiede, per la sua soluzione, l'imposizione di condizioni al contorno, che scaturiscono dal problema fisico in esame.

- *condizione al contorno* in corrispondenza di superfici rigide (fondale e/o strutture marine), supposte in stato di quiete, rappresentata dalla condizione di impermeabilità che analiticamente impone l'annullarsi della componente normale della velocità del fluido:

$$\frac{\partial \Phi}{\partial n} = 0 \quad (7)$$

La normale \vec{n} va intesa orientata verso l'interno del campo idrodinamico.

Il problema (4), (5), (6), (7) è non lineare per 2 motivi: le condizioni al contorno di frontiera libera contengono termini quadratici e, inoltre, devono essere soddisfatte su di una superficie che è, a sua volta, una incognita del problema. Oggi gli strumenti di calcolo disponibili consentono di risolvere problemi non lineari con buona accuratezza (Lalli et al., 1996); tuttavia, nel caso di onde di piccola ampiezza, può essere sufficiente risolvere il problema linearizzato, nel quale è possibile impostare le condizioni di frontiera libera sul piano $z = 0$ (superficie indisturbata). Nel seguito si farà riferimento proprio a tale formulazione.

2.1.1 Il Modello Matematico Linearizzato

Il problema della propagazione di onde di piccola ampiezza, sia in condizioni di campo indisturbato che di propagazione in presenza di una struttura dalla geometria generica, può essere rappresentato dalla forma linearizzata delle (4), (5), (6), (7):

$$\nabla^2 \Phi = 0 \quad \text{nel campo idrodinamico } D \quad (8)$$

$$\frac{\partial \Phi}{\partial t} = -g\eta \quad \text{su } z = 0 \quad (9)$$

$$\frac{\partial \eta}{\partial t} = \frac{\partial \Phi}{\partial z} \quad \text{su } z = 0 \quad (10)$$

$$\frac{\partial \Phi}{\partial n} = 0 \quad \text{sul fondo} \quad (11)$$

Le condizioni linearizzate vengono imposte sulla superficie libera indisturbata (piano $z = 0$).

Nel caso di profondità costante h la soluzione più semplice per il problema così formulato è l'onda piana (che si propaga, ad esempio, lungo la direzione delle x crescenti) :

$$\eta(x, t) = A \cos(kx - \omega t) \quad (12)$$

caratterizzata da velocità di propagazione (o di fase)

$$c = \frac{\omega}{k} = \frac{\lambda}{T} \quad \text{con} \quad \begin{cases} k = \frac{2\pi}{\lambda} \\ \omega = \frac{2\pi}{T} \end{cases} \quad (13)$$

Il campo idrodinamico generato dalla propagazione di un'onda piana, avente elevazione d'onda di equazione (12), è, inoltre, caratterizzato dal potenziale di velocità :

$$\Phi(x, z, t) = \frac{gA}{\omega} \frac{\cosh[k(z + h)]}{\cosh(kh)} \sin(kx - \omega t) \quad (14)$$

Dal gradiente del potenziale [Eq. (3)] è possibile ottenere le componenti della velocità delle particelle fluide, mentre la velocità di propagazione dell'onda si calcola dalla relazione di dispersione:

$$c = \frac{\omega}{k} = \sqrt{\frac{g}{k} \tanh(kh)} \quad (15)$$

Quando si considera la propagazione di una perturbazione complessa, generata dalla sovrapposizione di onde piane come la (12), poiché il mezzo è dispersivo, è necessario tenere conto della velocità di gruppo:

$$C = \frac{d\omega}{dk} = c - \lambda \frac{dc}{d\lambda} \quad (16)$$

che è la velocità con cui si propaga l'energia associata ad un gruppo di onde. Ad esempio, quando si lancia un sasso in uno specchio d'acqua in quiete, si genera una perturbazione che si propaga in modo assialsimmetrico, coinvolgendo una zona sempre più estesa della superficie libera. Il fronte del sistema di onde (definito come il limite delle acque perturate) si muove con velocità di gruppo; le armoniche componenti mantengono la propria individualità nell'ambito della perturbazione (si tenga presente che si tratta di un problema lineare) e si muovono con velocità di fase, maggiore della velocità di gruppo.

Se si pone attenzione al movimento di una cresta, si osserva che la sua forma si modifica nel tempo e, quando raggiunge il fronte, poiché la perturbazione complessiva si espande con velocità minore, scompare. E' semplice verificare che, nel caso di acque profonde, poiché $\tanh(kh) \rightarrow 1$, la velocità di gruppo è proprio metà della celerità dell'onda, ovvero $C = c/2$.

Per studiare, mediante simulazione numerica, l'evoluzione di un sistema ondoso come quello finora descritto, è opportuno esprimere il problema in termini adimensionali. Siano:

- h la profondità;
- T il periodo dell'onda;
- A l'ampiezza dell'onda;
- λ la lunghezza dell'onda.

Si introducono le seguenti variabili adimensionali (le variabili dimensionali vengono indicate con apice) :

$$x = \frac{x'}{h} \quad z = \frac{z'}{h} \quad t = \frac{t'}{T} \quad \Phi = \Phi' \frac{T}{h^2} \quad \lambda = \frac{\lambda'}{h} \quad (17)$$

nonché i due parametri adimensionali:

$$\varepsilon = \frac{A}{h} \quad \Omega = \frac{gT^2}{h} \quad (18)$$

tramite cui le equazioni lineari del sistema di Stokes risolutive del problema possono essere riscritte in forma dimensionale; Eqs. (9), (10), (9) e (11) rispettivamente come segue

$$\frac{\partial \Phi}{\partial t} = -\Omega \eta \quad x > 0, \quad z = 0 \quad (19)$$

$$\frac{\partial \eta}{\partial t} = \frac{\partial \Phi}{\partial z} \quad x > 0, \quad z = 0 \quad (20)$$

$$\nabla^2 \Phi = 0 \quad x > 0 \quad (21)$$

$$\frac{\partial \Phi}{\partial z} = 0 \quad x > 0, \quad z = -1 \quad (22)$$

La lunghezza dell'onda generata sarà uguale a :

$$\lambda = \Omega \frac{\tanh(2\pi/\lambda)}{2\pi} \quad (23)$$

con i due casi limite:

$$\begin{cases} \lambda_\infty = \frac{\Omega}{2\pi} & \text{acque profonde } (\Omega \rightarrow 0) \\ \lambda_0 = \sqrt{\Omega} & \text{acque basse } (\Omega \rightarrow \infty) \end{cases} \quad (24)$$

2.2 Il Modello Discreto.

2.2.1 Cenni di teoria del potenziale

La teoria del potenziale consente di esprimere un problema differenziale mediante una formulazione integrale, il che comporta dei vantaggi:

- la formulazione integrale diminuisce di uno la dimensione del dominio del problema in esame: in problemi 3-D vengono prese in considerazione delle superfici anziché dei volumi, mentre in problemi 2-D delle linee anziché delle superfici, con ovvi vantaggi dal punto di vista della soluzione numerica;
- la teoria delle equazioni integrali fornisce strumenti matematici atti a delineare strategie per la formulazione di teoremi di esistenza e unicità della soluzione.

In un problema 3-D, definito in un dominio $D + \partial D$ (essendo ∂D la frontiera) si può introdurre il potenziale superficiale di semplice strato:

$$\Phi(x, y, z) = \int_{\partial D} \frac{\sigma(\tilde{x}, \tilde{y}, \tilde{z})}{\sqrt{(x - \tilde{x})^2 + (y - \tilde{y})^2 + (z - \tilde{z})^2}} dS(\tilde{x}, \tilde{y}, \tilde{z}) \quad (25)$$

mentre, in un problema 2-D si ha:

$$\Phi(x, z) = \int_{\partial D} \sigma(\tilde{x}, \tilde{z}) \log \sqrt{(x - \tilde{x})^2 + (z - \tilde{z})^2} dS(\tilde{x}, \tilde{z}) \quad (26)$$

nelle quali σ è la *densità di distribuzione del potenziale sulla superficie* (o sulla superficie sulla linea) ∂D . Il potenziale di strato semplice è continuo nei punti di ∂D : si può infatti dimostrare che negli integrali (25, 26) convergono uniformemente.

La derivata normale del potenziale superficiale di semplice strato contiene una discontinuità, della quale è necessario tenere opportunamente conto nell'imposizione della condizione

STUDIO PER LO SVILUPPO DI MODELLI IDRODINAMICI RIGUARDANTI GLI
ASPETTI DI INTERAZIONE ONDA-CORRENTE

al contorno di impermeabilità (11). In base alle condizioni al contorno che la funzione deve soddisfare, si hanno i cosiddetti problemi *ai limiti*:

- problema interno (o esterno) di Dirichelet : consiste nel determinare una funzione Φ
 1. definita continua nel dominio limitato interno (o illimitato esterno) $D + \partial D$
 2. verifica nel campo D l'equazione di Laplace $\nabla^2 \Phi = 0$.
 3. assume su ∂D dei valori assegnati.
- problema interno (o esterno) di Neumann: consiste nel determinare una funzione Φ
 1. definita continua nel dominio limitato interno (o illimitato esterno) $D + \partial D$
 2. verifica nel campo D l'equazione di Laplace $\nabla^2 \Phi = 0$.
 3. la sua derivata normale $\partial \Phi / \partial n$ assume su ∂D dei valori assegnati.

Ad esempio, la soluzione di un problema di Neumann, formulato mediante il potenziale di strato semplice, implica la soluzione numerica di un'equazione integrale di Fredholm di II specie, per la quale sono stati dimostrati teoremi di esistenza ed unicità. Nel caso 2-D si ottiene:

$$\frac{\partial \Phi(x, z)}{\partial n} = \pi \sigma(x, z) + \int_{\partial D} \sigma(\tilde{x}, \tilde{z}) \frac{\partial}{\partial n} \log \sqrt{(x - \tilde{x})^2 + (z - \tilde{z})^2} dS(\tilde{x}, \tilde{z}) \quad x, z \in \partial D \quad (27)$$

Poiché il potenziale, così definito ed espresso dalla Equazioni (25) e (26), soddisfa automaticamente l'equazione di Laplace, *il problema si riduce alla determinazione della funzione σ in modo che le condizioni al contorno siano verificate*. Ecco, perché, utilizzando una formulazione integrale al contorno si può risolvere un problema operando unicamente sulla frontiera del dominio.

Inoltre, si ha che:

- nella formulazione integrale classica la frontiera del dominio fisico coincide con la superficie (o con la linea nel caso 2-D) sede della distribuzione del potenziale di semplice strato;
- nella formulazione cosiddetta desingolarizzata, per contro, il potenziale viene distribuito su di una superficie (o linea) esterna al campo idrodinamico, posta ad una distanza opportuna dalla frontiera del problema fisico.

Quest'ultimo tipo di approccio, della formulazione cosiddetta desingolarizzata, comporta delle notevoli semplificazioni:

1. si elimina il problema della discontinuità della derivata normale del potenziale
2. si evita il calcolo di integrali singolari

3. il potenziale di semplice strato può essere approssimato, nell'ambito della procedura numerica di calcolo, con una distribuzione discreta di N sorgenti puntiformi localizzate esternamente al campo idrodinamico.

Si ottiene pertanto (problema 3-D):

$$\Phi(x, y, z) = \sum_{k=1}^N \frac{\sigma_k}{\sqrt{(x - \tilde{x}_k)^2 + (y - \tilde{y}_k)^2 + (z - \tilde{z}_k)^2}} \quad (28)$$

oppure (problema 2-D):

$$\Phi(x, z) = \sum_{k=1}^N \sigma_k \log \sqrt{(x - \tilde{x}_k)^2 + (z - \tilde{z}_k)^2} \quad (29)$$

nelle quali N è il numero di sorgenti utilizzata. Il potenziale espresso dalla (28) oppure dalla (29) soddisfa ancora l'equazione di Laplace e, con semplici operazioni, si possono ottenere le sue derivate fino all'ordine desiderato.

La soluzione numerica di un problema di flusso potenziale si riduce quindi alla ricerca dei valori σ_k , che si ottengono imponendo le condizioni al contorno.

Per risolvere numericamente il problema della propagazione del moto ondoso si esprime il potenziale Φ per mezzo della (29).

A tale scopo si definiscono le matrici di influenza che esprimono il potenziale e le due componenti di velocità indotti nel punto (x_i, z_i) da una sorgente puntiforme di intensità unitaria collocata nel punto $(\tilde{x}_k, \tilde{z}_k)$:

$$\varphi(i, k) = \log \sqrt{\sqrt{(x_i - \tilde{x}_k)^2 + (z_i - \tilde{z}_k)^2}} = \frac{1}{2} \log [(x_i - \tilde{x}_k)^2 + (z_i - \tilde{z}_k)^2] \quad (30)$$

$$\varphi_x(i, k) = \frac{x_i - \tilde{x}_k}{(x_i - \tilde{x}_k)^2 + (z_i - \tilde{z}_k)^2} \quad (31)$$

$$\varphi_z(i, k) = \frac{z_i - \tilde{z}_k}{(x_i - \tilde{x}_k)^2 + (z_i - \tilde{z}_k)^2} \quad (32)$$

La determinazione della ubicazione ottimale di tali punti costituisce un problema piuttosto delicato, legato all'accuratezza della soluzione; in libera di massima, i punti \tilde{x}_k, \tilde{z}_k devono avvicinarsi al contorno fisico del problema man mano che la griglia di calcolo viene infittita. Si può scegliere una distanza dal contorno pari a $\sqrt{\Delta s}$, con $\Delta s = |\tilde{P}_k - \tilde{P}_{k-1}| = |P_i - P_{i-1}|$ (per ulteriori dettagli vedi Lalli et al., 1996).

2.2.2 Soluzione numerica nel caso lineare di moto ondoso che si propaga in presenza di una secca

Per risolvere il sistema, nel caso di moto ondoso che si propaga in presenza di una struttura, viene adottato il metodo della perturbazione, il quale consiste nello scomporre le funzioni incognite, elevazione d'onda $\eta(x, y, t)$ e potenziale di velocità $\Phi(x, y, z, t)$, nella somma di due termini relativi rispettivamente alle condizioni dell'onda incidente e alla condizione di perturbazione indotta dalla presenza dell'ostacolo.

Il potenziale di velocità potrà, perciò, essere scritto come:

$$\Phi = \phi + \tilde{\phi} \quad (33)$$

in cui

- ϕ è il potenziale associato all'onda incidente, che è noto;
- $\tilde{\phi}$ è il potenziale di perturbazione indotto dall'ostacolo.

Analogamente si avrà un termine di elevazione d'onda associato all'onda incidente, η , ed un altro relativo alla perturbazione indotta dall'ostacolo, $\tilde{\eta}$.

Avendo introdotto questa scomposizione delle grandezze del campo di moto, la soluzione del problema è determinata, considerando che:

1. il potenziale associato all'onda incidente, ϕ , che è noto, deve essere soluzione del seguente problema:

$$\nabla^2 \phi = 0 \quad \text{nel campo idrodinamico } D \quad (34)$$

$$\frac{\partial \phi}{\partial t} = -g \eta \quad \text{su } z = 0 \quad (35)$$

$$\frac{\partial \phi}{\partial t} = \frac{\partial \phi}{\partial z} \quad \text{su } z = 0 \quad (36)$$

$$\frac{\partial \phi}{\partial n} = 0 \quad \text{sui contorni solidi} \quad (37)$$

2. il potenziale di perturbazione indotto dall'ostacolo, $\tilde{\phi}$, deve soddisfare le seguenti equazioni:

$$\nabla^2 \tilde{\phi} = 0 \quad \text{nel campo idrodinamico } D \quad (38)$$

$$\frac{\partial \tilde{\phi}}{\partial t} = -g \tilde{\eta} \quad \text{su } z = 0 \quad (39)$$

$$\frac{\partial \tilde{\eta}}{\partial t} = \frac{\partial \tilde{\phi}}{\partial z} \quad \text{su } z = 0 \quad (40)$$

$$\frac{\partial \tilde{\phi}}{\partial n} = -\frac{\partial \phi}{\partial n} \quad \text{sui contorni solidi} \quad (41)$$

Si osserva, infine, che devono essere assegnate le condizioni iniziali per la grandezze associate alla perturbazione, ovvero $\tilde{\phi}$ ed $\tilde{\eta}$ per le quali si fissa in tutte le computazioni che all'istante iniziale $t = 0$:

$$\tilde{\phi}(x, y, z, 0) = 0 \quad \tilde{\eta}(x, y, 0) = 0 \quad (42)$$

Come è stato, precedentemente detto, infatti il potenziale di velocità e l'elevazione d'onda associati all'onda incidente, ϕ ed η , sono noti mentre le rispettive grandezze $\tilde{\phi}$ ed $\tilde{\eta}$ relative alla condizione di perturbazione indotta dall'ostacolo sono incognite. Per quanto riguarda il potenziale di perturbazione, $\tilde{\phi}$, questo può essere espresso mediante la teoria del potenziale come:

$$\tilde{\phi}(P) = \int_{\partial D} \sigma(P^*) G(P, P^*) dS^* \quad (43)$$

in cui:

- punto $P = P(x, y, z)$ in cui si calcola il potenziale indotto da una sorgente puntiforme di intensità unitaria collocata nel punto $P^* = P^*(x^*, y^*, z^*)$;
- $G(P, P^*) = \frac{1}{|P - P^*|}$;
- σ è la *densità di distribuzione del potenziale sulla superficie* ∂D .
- ∂D rappresenta la superficie integrale che è estesa all'intero dominio fisico considerato.

Si osserva che nel caso lineare esaminato, la discretizzazione della superficie del corpo solido non è complessa in quanto la superficie libera si suppone essere coincidente con il livello di medio mare. Perciò, la superficie bagnata del corpo solido non cambia al variare del tempo. Al fine di effettuare la soluzione numerica del problema, inoltre, la superficie dell'ostacolo ∂O (in questo caso la secca posta sul fondo), è stata discretizzata in N pannelli piani a forma di quadrilatero, sui quali la densità superficiale di distribuzione del potenziale si può considerare quasi costante (Hess and Smith, 1966).

Inoltre, l'integrale (43) è stato applicato nella sua formulazione desingolarizzata, come suggerito da Cao et al. (1991), secondo cui, sulla superficie libera S , si suppone essere uniformemente distribuite M sorgenti puntiformi localizzate ad una distanza fissata dalla superficie libera.

Infine, la presenza del fondo è tenuta in considerazione attraverso il metodo delle immagini.

In definitiva, quindi, il potenziale di perturbazione, precedentemente menzionato e rappresentato dall'Equazione (43), può essere espresso mediante nel seguente modo:

$$\tilde{\phi}(P) = \sum_{j=1}^N \sigma_j \left[\int_{\partial O_j} G(P, P^*) dS^* + \int_{\partial \bar{O}_j} G(P, P^*) dS^* \right] + \sum_{k=1}^N \bar{\sigma}_k [G(P, P_k) + G(P, \bar{P}_k)] \quad (44)$$

in cui

- ∂O_j è il j -esimo pannello con cui è stata discretizzata la superficie della secca posta sul fondo;
- σ_j è la densità di distribuzione del potenziale sulla superficie del j -esimo pannello con cui è stata discretizzata la superficie della secca posta sul fondo; si suppone che tale densità sia costante per tutti i pannelli della secca;
- $\partial \bar{O}_j$ è l'immagine di ∂O_j rispetto al fondo;
- P_k è la posizione della k -esima sorgente posta al di sopra della superficie libera;
- \bar{P}_k è l'immagine di P_k .

Va tenuto, infine, presente che il modello descritto è di natura non stazionaria, in quanto sono presenti derivate temporali; è necessario pertanto utilizzare uno schema numerico atto a seguire l'evoluzione del fenomeno nel tempo.

In altri termini, stabilito un passo temporale Δt , si vuole conoscere il valore delle grandezze idrodinamiche in tutti gli istanti successivi.

E precisamente si procederà nel seguente modo: noti i valori della soluzione all'istante t^n si determineranno i valori della soluzione all'istante successivo $t^{n+1} = t^n + \Delta t$ mediante lo schema classico di Runge-Kutta al quarto ordine.

Per ogni passo intermedio di Runge-Kutta lo schema è calcolato come segue:

- dato il potenziale di perturbazione $\tilde{\phi}$ e le sue derivate sia sulla superficie della secca posta sul fondo, ∂O , sia sulla superficie libera, S , all'istante precedente. Nota questa grandezza è possibile aggiornare la condizione sia dinamica che cinematica sulla superficie libera, ovvero le equazioni rispettivamente (40) e (39), e calcolare, perciò, il valore del potenziale di velocità e della superficie libera su S ;
- i nuovi valori di $\tilde{\phi}$ [associati alle M sorgenti puntiformi distribuite alla distanza fissa-
ta dalla superficie libera] e le condizioni al contorno del problema di Neumann
(precedentemente discusso) [espresse dall'equazione (44) calcolata sulle N sorgenti poste sulla superficie della secca] determinano $N+M$ condizioni lineari relative alle
 $N+M$ incognite σ_j e $\tilde{\sigma}_k$. Il sistema lineare risultante è risolto mediante fattorizza-
zione LU della matrice dei coefficienti;

- le nuove densità di distribuzione superficiali del potenziale, σ_j e $\tilde{\sigma}_k$, ottenute al passo precedente, consentono di determinare i valori di $\tilde{\phi}$ e delle sue derivate sia sulla superficie della secca posta sul fondo, $\partial\Omega$, sia sulla superficie libera, S , al passo successivo di Runge-Kutta.

2.2.2.1 Smorzamento dell'onda

Allo scopo di evitare la riflessione dell'onda sul contorno non fisico della superficie libera, viene applicato il modello della linea di smorzamento suggerita da Baker et al. (1989).

Tale modello consiste nell'aggiungere il termine $-\nu\tilde{\phi}$ a secondo membro della condizione dinamica al contorno sulla superficie libera, rappresentata dall'equazione (39); mentre il termine $-\nu\tilde{\eta}$ è introdotto a secondo membro della condizione cinematica al contorno sulla superficie libera, rappresentata dall'equazione (40).

In definitiva, allo scopo di produrre uno smorzamento dell'eventuale onda riflessa dall'interazione con l'ostacolo, le condizioni cinematica e dinamica [Eq. (40) e (39)] sulla superficie libera assumono rispettivamente le seguenti forme:

$$\frac{\partial\tilde{\eta}}{\partial t} = \frac{\partial\tilde{\phi}}{\partial z} - \nu\tilde{\eta} \quad \text{su } z=0 \quad (45)$$

$$\frac{\partial\tilde{\phi}}{\partial t} = -g\tilde{\eta} - \nu\tilde{\phi} \quad \text{su } z=0 \quad (46)$$

in cui:

- ν è un coefficiente che dipende dalla distanza dall'ostacolo.

Il coefficiente ν deve essere opportunamente calibrato con esperimenti numerici, al fine di minimizzare la riflessione all'estremità del dominio di calcolo senza che gli effetti dissipativi disturbino, in una zona sufficientemente ampia, il flusso generato dalla parte oscillante.

In particolare, nel caso in esame, tale coefficiente ν assume la seguente espressione:

$$\nu = \begin{cases} 0 & R < R_0 \\ \nu_0 \left(\frac{R - R_0}{R_1 - R_0} \right)^2 & R_0 \leq R \leq R_1 \\ \nu_0 & R > R_1 \end{cases} \quad (47)$$

in cui:

- ν_0 è un coefficiente fissato (tipicamente $\nu_0 = O(1)$ nelle applicazioni);
- $R = \sqrt{x^2 + y^2}$ è la distanza dall'origine;
- R_0 e $R_1 > R_0$ sono due numeri reali scelti sulla base dell'esperienza numerica ($R_1 - R_0 = O(\lambda)$).

Nel campo lontano dalla secca i termini aggiuntivi (che figurano nelle equazioni (45) e (46)) fungono da smorzamento solo sul potenziale di perturbazione $\tilde{\phi}$ e sull'elevazione d'onda $\tilde{\eta}$, mentre non sono affetti da smorzamento le condizioni di moto iniziali, assegnate mediante le funzioni ϕ e η . E questo è proprio uno più grandi vantaggi della decomposizione (33) effettuata.

2.2.2.2 *Geometria della secca posta sul fondo*

Oggetto delle applicazioni effettuate è stato l'analisi degli effetti indotti dalla diffrazione/riflessione prodotti da una secca dalla forma semplice.

Per quanto riguarda la geometria della secca questa coincide con quella delineata in un esperimento idraulico condotto da Ito e Tanimoto (1972); in particolare le equazioni che individuano tale secca sono:

$$z = \begin{cases} (h_M - h_m) \left(\frac{x^2 - y^2}{R^2} \right) + h_m & x^2 + y^2 < R^2 \\ h_M & x^2 + y^2 \geq R^2 \end{cases} \quad (48)$$

in cui:

- h_M e h_m sono rispettivamente la profondità massima e quella minima;
- R l'estensione radiale della secca.

3. Calcolo numerico con il metodo degli elementi degli elementi finiti (Finite Element Method – FEM): interazione di onde con un flusso viscoso e non stazionario

3.1 Il Modello Matematico di shallow-water

Come inizialmente detto, in molte situazioni, i flussi a superficie libera sono caratterizzati da fenomeni di interazione onde-correnti. Getti e corsi d'acqua possono essere fortemente interessati dall'interazione con onde di mare, e contemporaneamente il profilo del moto ondoso può essere significativamente modificato dalle correnti.

In un recente lavoro di Teng et al. (2001) è stato proposto un modello per flusso potenziale interamente 3-D per l'analisi e la previsione della diffrazione del moto ondoso indotta da una secca (shoal) e per l'interazione di onde di mare con correnti. Tale approccio è lineare dal momento che la funzione di Green, inherente la formulazione integrale, soddisfa le condizioni al contorno lineari della superficie libera; inoltre, in questo lavoro l'interazione di onde mare con correnti è limitata al caso di flusso stazionario.

In molte situazioni di pratico interesse nell'ambito ambientale, tuttavia, vi sono diverse configurazioni che implicano un flusso viscoso non uniforme, come nel caso di interazione onda di mare con un getto.

Un approccio 3-D sia totalmente non lineare sia lineare, non stazionario, per un flusso potenziale a superficie libera è stato proposto da Lalli et al. (1996) e da Lalli (1997), ed è stato oggetto di discussione nei precedenti paragrafi. Nei lavori citati la velocità del flusso potenziale è stata separata nelle componenti di flusso potenziale incidente e di flusso potenziale perturbato (Landrini, 1994) [si tratta del metodo esposto nel paragrafo 2.2.2] e rappresentato attraverso una distribuzione di strato semplice sulle condizioni al contorno del dominio del fluido (Bassanini et al., 1994).

Partendo da tali risultati, si vuole adesso proporre un metodo numerico basato sul metodo numerico delle differenze finite (Finite Element Method - FEM) per lo studio dei problemi idrodinamici dell'interazione onde di mare con correnti nel dominio del tempo. Si considera, inoltre, anche una configurazione in cui sia presente una struttura dalla geometria assegnata; nel caso specifico si considererà la presenza di una secca sul fondo (la geometria semplificata di tale struttura è analoga a quella delineata nel paragrafo 2.2.2). Perciò, il modello descritto si propone di analizzare l'evoluzione del moto ondoso che si propaga in presenza di un flusso (una corrente), che può essere viscoso e non stazionario, e che interagisce con una secca posta sul fondo [il modello può essere applicato anche nel caso in cui sia presente una struttura dalla generica geometria].

Si assuma la densità del fluido uniforme, e sia $\underline{u}(x, y, z, t)$ un campo di velocità rotazionale e non stazionaria, che in accordo con la decomposizione di Helmholtz, può essere scritto come:

$$\underline{u}(x, y, z, t) = \bar{\underline{u}}(x, y, z, t) + \nabla\Phi(x, y, z, t) \quad (49)$$

$$\Gamma(x, y, t) = \bar{\eta}(x, y, t) + \eta(x, y, t) + \tilde{\eta}(x, y, t) \quad (50)$$

in cui

- Γ è la funzione elevazione d'onda;
- $\underline{\bar{u}}(\bar{u}, \bar{v})$ è la velocità mediata sulla profondità;
- $\bar{\eta}$ è la superficie libera mediata sulla profondità;
- $\nabla\Phi = \nabla\varphi + \nabla\tilde{\varphi}$ è il flusso potenziale totalmente 3-D, scritto mediante il metodo di decomposizione delineato nel paragrafo 2.2.2;
- φ è il flusso potenziale associato all'onda incidente;
- η è la superficie libera associata all'onda incidente;
- $\tilde{\varphi}$ è il flusso potenziale di perturbazione prodotto dall'interazione onda-struttura-corrente;
- $\tilde{\eta}$ è la superficie libera di perturbazione prodotto dall'interazione onda-struttura-corrente.

Come evidenziato dalle equazioni (49) e (50), perciò, nel seguente approccio, gli effetti viscosi sono descritti attraverso un modello mediato sulla profondità (depth-averaged model), mentre gli effetti della superficie libera sono considerati attraverso un modello a flusso potenziale totalmente 3-D.

Si consideri, infatti, che se una configurazione di flusso potenziale (vedi ad esempio Clercx et al., 2003) può essere studiata mediante un approccio 2-D, per quanto riguarda, invece, la componente viscosa, la propagazione del moto ondoso è un fenomeno tipicamente 3-D.

Per il caso di onde elementari di piccola ampiezza, il potenziale dell'onda incidente è dato dalla soluzione del problema di Stokes, che nel caso lineare è definito dalle equazioni (8), (9), (10) e (11), e che in funzione delle grandezze in esame può essere espresso come segue:

$$\frac{\partial\varphi}{\partial t} + g\eta = 0 \quad \text{su } z = 0 \quad (51)$$

$$\frac{\partial\eta}{\partial t} = \frac{\partial\varphi}{\partial z} \quad \text{su } z = 0 \quad (52)$$

$$\frac{\partial\varphi}{\partial z} = 0 \quad \text{su } z = -h_0 \quad (53)$$

L'onda incidente è poi espressa come una combinazione di onde lineari. Gli effetti prodotti da variazioni di profondità nel dominio del fluido e da ogni tipo di ostacolo possono essere tenuti in considerazione mediante il potenziale di perturbazione $\tilde{\varphi}$. L'estensione alla formulazione non lineare è diretta (Lalli et al., 1996; Lalli, 1997), sebbene non sia banale da un punto di vista della computazione. In questo caso, i problemi più ardui riguardano il frangimento delle onde. E', infatti, importante evidenziare come il presente approccio non permette, come principio, la simulazione del frangimento delle onde (vedi per esempio Guignard et al., 1999), poiché il frangimento fornisce un flusso turbolento totalmente 3-D e

questo argomento è fuori dallo scopo della presente trattazione.

Per quanto riguarda il campo di moto rotazionale considerato: le velocità, $\underline{\underline{u}}$, e l'elevazione d'onda, $\bar{\eta}$, mediate sulla profondità è lecito assumere che soddisfino le seguenti *equazioni di shallow-water nella forma conservativa*:

$$\frac{\partial \bar{u}}{\partial t} + \nabla \left[\frac{1}{2} |\underline{\underline{u}}|^2 + g \bar{\eta} \right] = \underline{\underline{u}} \times \omega + v \nabla^2 \bar{u} \quad (54)$$

$$\frac{\partial \bar{\eta}}{\partial t} + \frac{\partial [(h + \bar{\eta}) \bar{u}]}{\partial x} + \frac{\partial [(h + \bar{\eta}) v]}{\partial y} = 0 \quad (55)$$

nelle quali:

- $\omega = \nabla \times \bar{u} = \nabla \times \underline{\underline{u}}$ è la vorticità;
- $h = h(x, y)$ è la profondità.

Allo scopo di ottenere un'idonea formulazione per l'interazione onde di mare con correnti, tenendo in considerazione le Equazioni (49), (50), (54) e (55) e la conservazione del momento sulla superficie libera, si ottiene che:

$$\nabla \left[\frac{\partial \Phi}{\partial t} + \frac{1}{2} |\nabla \Phi|^2 + \bar{u} \nabla \Phi + g(\eta + \tilde{\eta}) \right] = \nabla \Phi \times \omega \quad \text{su } z = \Gamma \quad (56)$$

Trascurando i termini non lineari e considerando l'Equazione (51) si ottiene che:

$$\nabla \left[\frac{\partial \tilde{\varphi}}{\partial t} + \bar{u} \nabla (\varphi + \tilde{\varphi}) + g \tilde{\eta} \right] = \nabla \Phi \times \omega \quad \text{su } z = 0 \quad (57)$$

La condizione cinematica sulla superficie libera, nel caso esaminato, è espressa come:

$$\frac{\partial \Gamma}{\partial t} + u \frac{\partial \Gamma}{\partial x} + v \frac{\partial \Gamma}{\partial y} = w \quad \text{su } z = \Gamma \quad (58)$$

Effettuando la linearizzazione e considerando le Equazioni (52) (54) e (55) si ottiene:

$$\frac{\partial \tilde{\eta}}{\partial t} + \bar{u} \left(\frac{\partial \eta}{\partial x} + \frac{\partial \tilde{\eta}}{\partial x} \right) + v \left(\frac{\partial \eta}{\partial y} + \frac{\partial \tilde{\eta}}{\partial y} \right) = \tilde{\varphi}_z + \left(\frac{\partial h \bar{u}}{\partial x} + \frac{\partial h v}{\partial y} \right) + \bar{\eta} \left(\frac{\partial \bar{u}}{\partial x} + \frac{\partial \bar{v}}{\partial y} \right) \quad \text{su } z = 0 \quad (59)$$

Ottenuta la soluzione del problema $\nabla^2 \tilde{\varphi} = 0$ attraverso le condizioni al contorno [(Equazioni (57) e (59)] e l'equazione sui contorni solidi: $\tilde{\varphi}_n = -\varphi_n$, è, quindi, possibile determinare la componente del flusso viscoso attraverso le Equazioni (54) e (55) con le opportune condizioni al contorno, consentendo di determinare la simulazione del flusso onda di mare corrente nel dominio del tempo. L'ipotesi di base dell'approccio proposto è che tutti gli effetti di in-

terazione possono essere descritti attraverso il potenziale di perturbazione $\tilde{\varphi}$; tale assunto assomiglia all'ipotesi di Taylor relativa, come è noto, al concetto della cosiddetta turbolenza di congelamento (vedi ad esempio McComb, 2000).

Il campo viscoso, non stazionario, mediato sulla profondità è ottenuto utilizzando un opportuno modello a viscosità turbolenta (Nezu e Nakagawa, 1993; Spalart e Allmaras, 1994), e la simulazione numerica è ottenuta attraverso un metodo alla differenze finite descritto nel precedente lavoro (Lalli et al., 2002; Le e Moin, 1991).

Dall'altro canto, il potenziale del campo di moto totalmente 3-D è computato nel dominio del tempo mediante una formulazione integrale desingolarizzata al contorno, il metodo numerico è delineato nei lavori Lalli et al. (1996) e Lalli (1997), nei quali l'efficienza e l'accuratezza dei metodi integrali al contorno nella forma desingolarizzata sono mostrati e specificati.

3.2 Analisi dei risultati determinati mediante il modello matematico proposto: caso di onde lineari stazionarie generate da un ostacolo immerso in una corrente uniforme

Come commento alla decomposizione del flusso e al modello presentati, potrebbe essere vantaggioso mostrare (Figura 1a e 1b) le soluzioni del flusso potenziale 2-D con quello della superficie libera generato dall'interazione di una corrente uniforme con una secca.

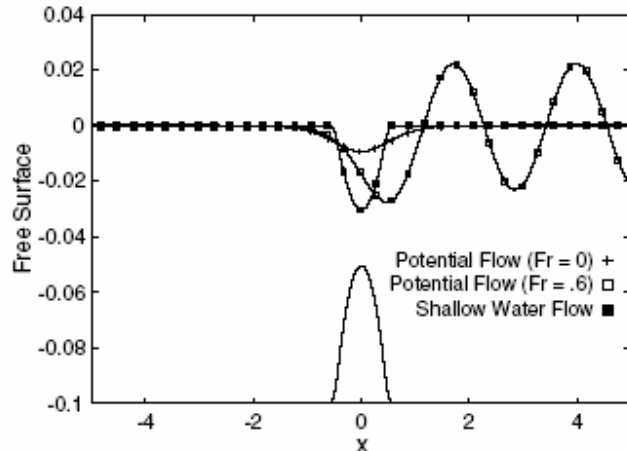
Tale configurazione può essere analizzata mediante le equazioni dello shallow-water (acque basse) per quanto riguarda il flusso uniforme e mediante un modello di moto potenziale totalmente 2-D per quanto riguarda il moto ondoso.

In particolare, le equazioni 1-D dello shallow-water, linearizzate rispetto al flusso libero uniforme U_∞ e assumendo $(h + \bar{\eta})\bar{u} \approx h\bar{u}$ (lecita nel caso analizzato di onde di piccola ampiezza), determinano la forma della superficie libera:

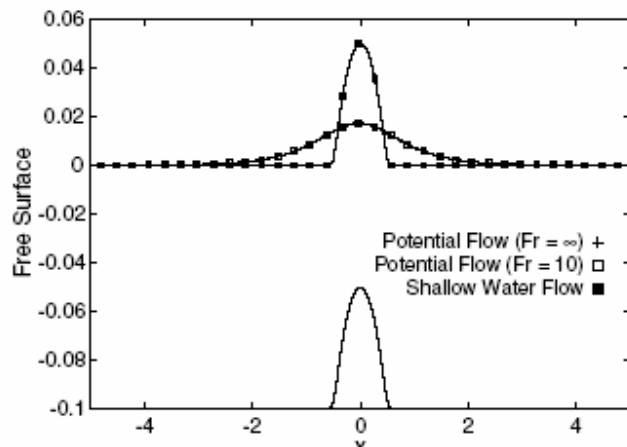
$$\frac{\bar{\eta}}{h_0} = -Fr^2 \frac{1 - h(x)/h_0}{h(x)/h_0 - Fr^2} \quad (60)$$

con, ovviamente, $Fr = U_\infty / \sqrt{gh_0}$ il numero di Froude.

Il flusso potenziale 2-D, d'altro canto, è calcolato attraverso le condizioni lineari della superficie libera, il cosiddetto problema di Neumann-Kelvin.



(a)



(b)

Fig. 1 (a) Interazione tra una corrente uniforme e una secca: elevazione d'onda ($Fr=0.6$).
 (b) Interazione tra una corrente uniforme e una secca: elevazione d'onda ($Fr=10$).

La Figura 1a mostra, per il caso sub-critico, come il modello per shallow-water porta ad ottenere una forma della superficie libera simile, quantitativamente, a quella ottenuta mediante un flusso 2-D con fondo rigido, come ad esempio il flusso con numero di Froude nullo, che può essere facilmente computato mediante il metodo delle immagini. Infatti, l'approssimazione idrostatico non permette la generazione del treno di onde, che, invece, può essere ottenuta mediante la soluzione del flusso potenziale totalmente 2-D che soddisfa le condizioni lineari al contorno per la superficie libera.

Per il caso super-critico, le cose sono molto differenti, per il quale il treno di onde non può essere generato (Figura 1b), e sia l'equazione dello shallow-water che quella del flusso potenziale 2-D danno gli stessi risultati. In questo caso, la forma della superficie libera per $Fr = \infty$

è stata ottenuta mediante il metodo delle immagini negative ed è all'incirca coincidente con la soluzione per $Fr = 10$.

Per quanto riguarda la linearizzazione del modello idrostatico di shallow-water, l'equazione (60) chiaramente indica che, per grandi numeri di Froude, la forma della superficie libera è parallela al fondo (Figura 1b).

Questo semplice esempio mostra in che senso i modelli mediati sulla profondità, basati sull'approssimazione idrostatica, non sono idonei per la simulazione di flussi a superficie libera, tranne il caso in cui il flusso sia super-critico.

Queste configurazioni sono state dimostrate e ottenute mediante modelli di Boussinesq e formulazioni mediate sulla profondità (per esempio vedi Mei, 1982).

L'accuratezza dello schema numerico proposto è testata in un caso molto semplice, per il quale la soluzione analitica è disponibile, quale è ad esempio l'interazione tra un'onda periodica lineare $\eta = A_0 \cos(k_0 x - \sigma t)$ e una corrente uniforme; in questo caso le Equazioni (58) e (59) diventano:

$$\frac{\partial \tilde{\varphi}}{\partial t} + U_\infty (\varphi_x + \tilde{\varphi}_x) + g \tilde{\eta} = 0 \quad (61)$$

$$\frac{\partial \tilde{\eta}}{\partial t} + U_\infty \left(\frac{\partial \eta}{\partial x} + \frac{\partial \tilde{\eta}}{\partial x} \right) = \tilde{\varphi}_z \quad (62)$$

e, come è ben noto, le modulazioni dell'ampiezza e del numero d'onda dovute alla corrente uniforme sono semplicemente date da (vedi ad esempio Dean e Dalrymple, 1992):

$$A = A_0 \left(1 - \frac{U_\infty k}{\sigma} \right) \quad (63)$$

$$\sigma = U_\infty k + \sqrt{gk \tanh(kh)} \quad (64)$$

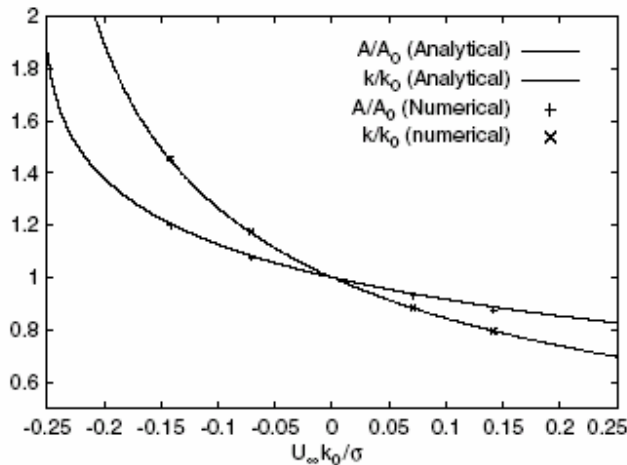


Fig. 2 Interazione tra una corrente uniforme e un'onda lineare ($\sigma=5.54 \text{ s}^{-1}$, $h_0=1\text{m}$, $k_0=\pi\text{m}^{-1}$); sono stati utilizzati 20 elementi per lunghezza d'onda.

La Figura 2 mostra la comparazione tra la soluzione analitica e il risultato numerico ottenuto attraverso il Boundary Element Method (BEM) nella formulazione desingolarizzata.

Il lato destro delle curve delinea l'appiattimento dell'onda dovuto alla sovrapposizione dell'onda con la corrente, analogo al caso del downshifting sperimentato nel caso di strutture che determina il frangimento dell'onda.

Nella parte sinistra delle curve, invece, viene evidenziato l'aumento di ripidità dell'onda prodotta dalla corrente opposta; come principio, è possibile determinare il valore limite della corrente nel caso di corrente opposta al verso di propagazione del moto ondoso.

Tuttavia, in questo caso, la soluzione lineare diventa sempre più senza significato tanto più il modulo della velocità cresce, dal momento che gli effetti non lineari diventano sempre importanti. Inoltre, il frangimento genera una corrente opposta che consente la propagazione dell'onda solo fino a quando l'energia dell'onda non è completamente dissipata dalla rottura.

4. Bibliografia

- Bassanini, P, Bulgarelli, U, Campana, E, and Lalli, F (1994). "The Wave Resistance Problem in a Boundary Integral Formulation," *Surv Math Ind*, Vol 4, pp 151–194.
- Baker, GR, Meiron, DI and Orszag, SA (1989). "Generalized Vortex Methods for Free Surface Flow Problems. ii: Radiating Waves," *J Sci Comp*, Vol 4, pp 237–259.
- Cao, Y, Schultz, WW and Bech, RF (1991). "Three-Dimensional Desingularized Boundary Integral Methods for Potential Problems," *Int J Num Meth Fluids*, Vol 12, pp 785–803.
- Clercx, HJH, Zoeteweij, ML, and van Heijst, GJF (2003). "The Role of Bottom Friction and Fluid Layer Depth," *Int Symp on Shallow Flows*, Delft, The Netherlands.
- Dean, RG, and Dalrymple, RA (1992). *Water Wave Mechanics for Engineers and Scientists*, World Scientific, Singapore.
- Guignard, S, Grilli, S, Marcer, R, and Rey, V (1999). "Computation of Shoaling and Breaking Waves in Nearshore Areas by the Coupling of BEM and VOF Methods," *Proc 9th Int Offshore*.
- Hess, JL and Smith, A (1966). "Calculation of Potential Flows around Arbitrary Bodies," *Prog Aer Sci*, No 8, p 1.
- Ito, Y, and Tanimoto, K (1972). "A Method of Numerical Analysis of Wave Propagation—Application to Wave Diffraction and Refraction," *13th Int Conf Coastal Eng*, ASCE, Vol 1.
- Lalli, F, Di Mascio, A, and Landrini, M (1996). "Nonlinear Diffraction Effects Around a Surface-piercing Structure," *Int J Offshore and Polar Eng*, ISOPE, Vol 6, No 2, pp 104–111.
- Lalli, F (1997). "On the Accuracy of the Desingularized Boundary Integral Method in Free-Surface Flow Problems," *Int J Numer Methods in Fluids*, Vol 25, pp 1163–1184.
- Lalli, F, Miozzi, M, and Romano, GP (2002). "Some Remarks on River Mouth Flow," *Proc 12th Int Offshore and Polar Eng Conf*, Kitakyushu, Japan, ISOPE, Vol 3, pp 659–664.
- Landrini, M (1994). "Fenomeni non Lineari nella Propagazione di Onde di Superficie Libera," *PhD dissertation*, Dept of Mechanics and Aeronautics, Univ of Rome, La Sapienza, Rome.
- Le, H, and Moin, P (1991). "An Improvement of Fractional Step Methods for the Incompressible Navier-Stokes Equations," *J Comput Phys*, Vol 92, pp 369–379.
- Longuet-Higgins, MS, and Stewart, RW (1964). "Radiation Stresses in Water Waves: A Physical Discussion, with Application," *Deep-Sea Res*, Vol 11, pp 529–562.
- McComb, WD (2000). *The Physics of Fluid Turbulence*, Oxford Sci Publ, Oxford.
- Mei, CC (1982). *The Applied Dynamics of Ocean Surface Waves*, John Wiley & Sons, New York.
- Nezu, I, and Nakagawa, H (1993). *Turbulence in Open-channel Flows*, A. A. Balkema, Rotterdam.
- Spalart, PR, and Allmaras, SR (1994). "A One-equation Turbulence Model for Aerodynamic Flows," *La Recherche Aérospatiale*, No 1, pp 5–21.
- Teng, B, Zhao, M, and Bai, W (2001). "Wave Diffraction in a Current over a Local Shoal," *Coastal Eng*, Vol 42, pp 163–172.

5. Appendice

A conclusione della presente tesi, nella quale sono stati analizzati e studiati i fenomeni di interazione tra il flusso di un fiume immissario ed il moto ondoso con eventuali strutture costiere, è stato implementato un codice di calcolo redatto in linguaggio FORTRAN.

Tale codice, come già evidenziato in precedenza, si basa sul Boundary Element Method per quanto concerne la definizione del moto ondoso a flusso potenziale, e sul Finite Element Method, per quanto quanto il flusso viscoso.

```
program vispo ! VIScous POtential flow !
-----
Diffrazione di un sistema ondoso indotta da un martufo immerso
Metodo Distribuzione di Sorgenti e nuclei desingolarizzati
Integrazione nel tempo Runge-Kutta classico.
PROBLEMA LINEARIZZATO (Super Linear Unsteady Waves)

Dinamica di un getto in acque basse
Rai & Moin Finite Difference (Staggered Apat SHallow wAter model)

Wave-Jet Interaction (Sluw - Sasha)
-----
integer*4 lat,long,npan
parameter(lat=24,long=24,npan=lat*long)
integer*4 nlo,ntra,nplib
parameter(nlo=48,ntra=72,nplib=ntra*nlo)
integer mx,my,mx1,my1,mx2,my2
parameter(mx=49,my=73,mx1=mx-1,my1=my-1,mx2=mx-2,my2=my-2)
real*8

Geometria Martufo
& xm(npan),ym(npan),zm(npan),
& x1(npan),x2(npan),x3(npan),x4(npan),xh(npan),
& y1(npan),y2(npan),y3(npan),y4(npan),yh(npan),
& z1(npan),z2(npan),z3(npan),z4(npan),zh(npan),
& cosxn(npan),cosyn(npan),coszn(npan),area(npan),
$ hmax,D,
Geometria s. l. e spiaggia
& xn(nplib),yn(nplib),xmonte,xvalle,ylato,yta1,yta2,etata,
& spinm,spinv,spilen,spimax,dist,spinu(nplib),smorz(nplib),
Potenziale di PERTURBAZIONE
& fi(nplib),fin(nplib),dfi(nplib),tofi(nplib),
```

STUDIO PER LO SVILUPPO DI MODELLI DRODINAMICI RIGUARDANTI GLI
ASPECTI DI INTERAZIONE ONDA-CORRENTE

```
& fix(npn+npnlib),fiy(npn+npnlib),fiz(npn+npnlib),
& eta(npnlib),etan(npnlib),deta(npnlib),teta(npnlib),
& etax(npnlib),etary(npnlib),
```

Matrici di influenza, densità di sorgente, sistema di eq

```
& vx(npnlib,npn),vy(npnlib,npn),vz(npnlib,npn),
& tx(npnlib,npnlib),ty(npnlib,npnlib),tz(npnlib,npnlib),
& txx,tyy,tzz,sigma(npn+npnlib),appo(npn+npnlib),
& a(npn+npnlib,npn+npnlib),rcond
integer*4 indx(npn+npnlib),iatto(npn),nnnn
```

Campo Ondoso Incidente

```
real*8 Am,Wn,Om,gra,Peri,Wl,fiw,uw,vw,ww,phase,etaO(npnlib),
& etaOy(npnlib),fiOy(npn+npnlib),fiOz(npn+npnlib)
```

Runge--Kutta

```
integer*4 ik,ikutta,ijk,iii
real*8 time,trk,dt,rk(1:4,1:2)
```

Collegamento Sasha/Sluw

```
real*8 usa(npnlib),vsu(npnlib),etasax(npnlib),
$ etasay(npnlib),disa(npnlib),vivasa(npnlib),
$ usama(npn),vsama(npn)
```

Varie Sluw

```
integer*4 iter,ist,kgr,i,ima,i1,i2,maxite,ksta,i,j,k,idt
real*8 zsr,zzsr,xlam,ani,pig,eps,upiep,hemips,dxl,dyl,area_sl,
$ cfinf,xh_sl,yh_sl,diana,xnq,ynq,znq,xnt,ynt,znt,somx,
$ somy,somz,r,rz,r2dx,r2dy
character*20 nfile
character*4 cha
character*1 label
```

SASHA

!

h	: profondità (+ verso il basso da swl)	!
eta	: sopraelevazione ondosa profondità (+ verso l'alto da swl)	!
chi	: concentrazione*prof (staggered)	!
chiplo	: concentrazione (non-stag)	!
uplo	: velocità x mediata lungo la verticale (non-stag)	!
vplo	: velocità y mediata lungo la verticale (non-stag)	!
u	: uplo*h (staggered)	!
v	: vplo*h (staggered)	!
veli	: velocità litoranea	!
ibos	: sponda sinistra (non stag.)	!
ibod	: sponda destra (non stag.)	!
jbol	: estensione y iniz	!

```

jbol2 : estensione y vel. definitiva (< 101 ) !  

ibos : numero nodo bordo sinistro (foce) !  

ibod : numero nodo bordo destro (foce) !  

ibod-ibos < 21 !  

noradi : nord radiation condition !  

-----!  

integer kpri,kru,noradi,ij,ip_w,ip_e,ip_s,istre_w,istre_e,  

$ mum,latp1,longp1,jstre,ibos,ibod,jbol,ider_w,ider_e,  

$ ider_n,lami,injet,invisco,legge,isaspi,isasha  

integer iw_eta(mx,my),iw_u(mx,my),iw_v(mx,my),iw_plo(mx,my)  

real*8 u(mx,0:my),v(0:mx,my),uv(mx,0:my),vv(0:mx,my),  

$ Hu(2,mx,my),Hv(2,mx,my),prof(mx,my),x(mx,my),y(mx,my),  

$ uplo(mx,my),vpllo(mx,my),proplo(mx,my),viva(mx,my),cappa(mx,my),  

$ vor(mx,my),raprof(mx,my)  

real*8 seta(mx,my),setav(mx,my),setavv(mx,my),Hh(2,mx,my),  

$ setaplo(mx,my),saspi(mx,my)  

real*8 dx(mx),dy(my),xflow(mx),alf(3),roh(3),gam(3),ann,tualg,  

$ velmo,zer,utt,uqt,umz,utz,uno,due,tre,qua,cin,sei,die,toll,  

$ Reynolds,Foce,V0,bos,bod,bom,Q1,Q2,Q3,Q4,Bilancio,recel,cfl,  

$ dm_0,dm_1,dm_2,scamu,scamv,strex_w,strex_e,strey,rex,rey,cf,  

$ div,scau,scav,scamm,hhh,hjp,hjm,hip,him,greta,tro,vpx,vmx,vpy,  

$ vmy,ott,ove,xxx,seta0,hij,up,um,vp,vm,yyy,set,cau,cav,visco,  

$ viscolami,bol,x0,y0,smart,  

$ xappo(mx,my),yappo(mx,my),zappo(mx,my)  

*****  

zer = 0.0d0 !  

utt = 0.125d0 !  

uqt = 0.25d0 !  

utz = 1.d0/3.d0 !  

umz = 0.50d0 !  

uno = 1.0d0 !  

due = 2.0d0 !  

tre = 3.0d0 !  

qua = 4.0d0 !  

cin = 5.0d0 !  

sei = 6.0d0 !  

set = 7.0d0 !  

ott = 8.d0 !  

ove = 9.d0 !  

die = 10.0d0 !  

gra = 9.806d0 !  

pig = qua*atan(uno) !  

roh(1) = zer !  

gam(1) = 8.0d0/15.0d0 !  

roh(2) = - 17.0d0/60.0d0 !  

gam(2) = cin/12.0d0 !  

roh(3) = - gam(2) !

```

STUDIO PER LO SVILUPPO DI MODELLI DRODINAMICI RIGUARDANTI GLI
ASPETTI DI INTERAZIONE ONDA-CORRENTE

```

gam(3) = tre/qua          !
do i = 1,3                !
  alf(i) = roh(i)+gam(i)  !
end do                      !
toll = .0001d0              !
129 toll = umz*toll        !
if((toll+uno).ne.uno) go to 129
toll = die*toll            !
smart = toll               !
*****  

      LETTURA DATI DA FILE          !
*****  

open(unit=20,file='vispo.in',status='old')
read(20,*)
read(20,*) Am,Wl,D          ! roba di sluw !
read(20,*)
read(20,*) idt,ikutta,maxite,ksta,zzsor
read(20,*)
read(20,*) diana,hmax,spinm,spinv,spilen,spimax
read(20,*)
read(20,*) label,kgri
read(20,*)
read(20,*) kpri,ider_w,ider_e,ider_n,noradi ! roba di sasha !
read(20,*)
read(20,*) Vo,ann,tualg,isaspi,isasha
read(20,*)
read(20,*) lip_w,lip_e,lip_s,istre_w,istre_e,jstre
read(20,*)
read(20,*) strex_w,strex_e,strey,Reynolds
read(20,*)
read(20,*) lami,ibos,ibod,injet,invisco,legge
close(20)
*****  

dxl = D/float(lat)
dyl = D/float(long)
r2dx = uno/(due*dxl)
r2dy = uno/(due*dyl)
nfile=label//vispo.out'
open(unit=19,file=nfile,status='unknown')
rewind(19)
write(19,*)
write(19,*)' mx=',mx,' my=',my
write(19,*)' dx=',dxl,' dy=',dyl
write(19,*)
ann = ann**2
setaO = zer

```

```

Wn = due*pig/WI
Peri = due*pig/sqrt(Wn*gra*tanh(hmax*Wn))
Om = due*pig/Peri
dt = Peri/float(idt)
phase = pig

write(*,*)
write(*,*)' CAREFUL: DIANA=',sngl(diana)
write(*,*)

ani = .164d0
eps = .0001
1 eps = eps/due
upiep = uno+eps
if(upiep.ne.uno) go to 1
eps = eps*due
hemips = upiep
123 hemips = hemips/due
if((hemips+uno).ne.uno) go to 123
hemips = hemips*due

```

COEFFICIENTI Ru-Ku Wave
call rkiniz (ikutta,rk)

GEOMETRIA MARTUFO

```

call martufo(nplib,lat,long,npn, xm,ym,zm,
$   x1,x2,x3,x4,xh,y1,y2,y3,y4,yh,z1,z2,z3,z4,zh,diana,
$   area,cosxn,cosyn,coszn,a,hmax,iatto)

```

GEOMETRIA SUPERFICIE LIBERA

```

xlam = WI/dyl
area_sl = dxl*dyl
zsor = zzsor*(area_sl** (xlam))!*(WI** (1.-2.*ani)) !!!!!!!!
write(*,*) 'nlam:',sngl(ani)
xh_sl = float(nlo)*dxl/due
yh_sl = float(nra)*dyl/due

k = 1
do i = 1,nplib
  xn(i) = -xh_sl+dxl*umz+float(k-1)*dxl
  if(i.eq.k*ntra) k=k+1
end do
k=0
do i=1,nplib
  yn(i) = -yh_sl+float(i-k*ntra-1)*dyl + dyl*umz

```

STUDIO PER LO SVILUPPO DI MODELLI DRODINAMICI RIGUARDANTI GLI
ASPETTI DI INTERAZIONE ONDA-CORRENTE

```

if(i.eq.(k+1)*ntra) k=k+1
end do
xmonte = xn(1)/D*2.0
xvalle = xn(nplib)/D*2.0do
ylato = yn(ntra)/D*2.0do
write(*,*)
write(*,*)' xmonte:',sngl(xmonte),' xvalle:',sngl(xvalle)
write(*,*)' ylato:',sngl(ylato)
write(*,*)

spinm = spinm*D
spinv = spinv*D
spilen = spilen*D
do i=1,nplib/2
  dist = abs(yn(i)) ! sqrt(xn(i)**2+yn(i)**2)
  spinu(i) = zer
  if(dist.gt.spinm)
    if (spinu(i).gt.spimax) spinu(i) = spimax
  end do
  do i=nplib/2+1,nplib
    dist = abs(yn(i)) ! sqrt(xn(i)**2+yn(i)**2)
    spinu(i) = zer
    if(dist.gt.spinm) ! if(dist.gt.spinv)
      $ spinu(i) = spilen *((-spinv+dist)/spilen)**2
      if (spinu(i).gt.spimax) spinu(i) = spimax
    end do
    do i = 1,nplib
      dist = abs(yn(i))
      smorz(i) = exp(-(dist/(spinm))**100)
    end do

    do i = 1,nplib
      j = 1 + (i-1)/ntra
      k = i - (j-1)*ntra
      if(yn(i).gt.zer) then ! sistema centrato sul martufo !
        saspi(j,k) = float(isaspi)*spinu(i)
      else
        saspi(j,k) = zer
      end if
    end do

```

Sistema ondoso incidente

```

time = zer
call Wave (npan,ym,zm,phase,
$           nplib,yn,eta0,eta0y,fi0y,fi0z,Am,Wn,Om,hmax,gra,time)

```

Campo di perturbazione

```
do i=1,nplib
  eta(i) = zer
  etan(i) = eta(i)
  fi(i) = zer
  fin(i) = zer
end do
```

OUTPUT CONDIZIONI INIZIALI

Curve livello

```
ist = 0
write(cha,99) ist
nfile= label//'liv'//cha//'.dat'
open(99,file=nfile,form='unformatted')
  rewind(99)
  write(99) ntra,nlo,1
  write(99) O.,O.,O.,O.
  write (99)(1.           ,i=1,nplib),
$      (1.           ,i=1,nplib),
$      (sngl(smorz(i)) ,i=1,nplib),
$      (sngl(etaO(i))  ,i=1,nplib),
$      (sngl(spinu(i)) ,i=1,nplib)
close(99)
```

Superficie libera

```
nfile= label//'gri'//cha//'.dat'
open (99,file=nfile,form='unformatted') ! griglia plot3d !
  rewind(99)
  write(99) ntra,nlo,1
  write(99) (sngl(xn(i)),i=1,nplib),
$      (sngl(yn(i)),i=1,nplib),
$      (sngl(etaO(i)),i=1,nplib)
close(99)
```

Grid SL

```
nfile = label//'grinu.dat'
open (99,file=nfile,form='unformatted') ! griglia plot3d !
rewind(99)
write(99) ntra,nlo,1
write(99) (sngl(xn(i)),i=1,nplib),
$      (sngl(yn(i)),i=1,nplib),
$      (O.           ,i=1,nplib)
close(99)
```

```
cfinf = dt/dxl*Wl/Peri
cfl = V0*dt/dxl
```

STUDIO PER LO SVILUPPO DI MODELLI DRODINAMICI RIGUARDANTI GLI
ASPETTI DI INTERAZIONE ONDA-CORRENTE

```

write(*,*) 'cfl_W:',sngl(cfinf),' cfl_V:',sngl(cfl)

write(19,*) 'Am,Wl,Peri'
write(19,*) sngl(Am),sngl(Wl),sngl(Peri)
write(19,*) 'idt,ikutta,maxite,ksta,xlam,zzsor'
write(19,*) idt,ikutta,maxite,ksta,sngl(xlam),sngl(zzsor)
write(19,*) 'diana,hmax,dxl,dyl'
write(19,*) sngl(diana),sngl(hmax),dxl,dyl
write(19,*) 'spinm,spinv,spilen,spimax'
write(19,*) sngl(spinm),sngl(spinv),sngl(spilen),
$           sngl(spimax)
write(19,*) 'label, nlo, ntra, lat, long, CFL_W, CFL_V'
write(19,*) label,nlo,ntra,lat,long,sngl(cfinf),sngl(cfl)
write(19,*) 
write(19,*) 'xmonte:',sngl(xmonte),' xvalle:',sngl(xvalle)
write(19,*) 'ylato:',sngl(ylato)
write(19,*)

nfile= label//'yeta0000'
open(unit=20,file=nfile,status='unknown')          ! talon !
rewind(20)
do k = nplib/2+ntra,nplib/2+1,-1
  write(20,*) sngl(yn(k)),sngl(eta0(k)),sngl(spinu(k)),
$           sngl(smorz(k))
end do
close(20)
write(*,*)

-----  

yta1 = - 1.666666666667d0          ! secondo taglio !
ima = 0
do i = 1,ntra
  if(yn(i).ge.yta1.and.ima.eq.0) then
    i1 = i
    ima = 1
  end if
end do
yta2 = - 2.4666666666667d0          ! terzo taglio !
ima = 0
do i = 1,ntra
  if(yn(i).ge.yta2.and.ima.eq.0) then
    i2 = i
    ima = 1
  end if
end do
-----  

GEOMETRIA PER SASHA               !

```

```

-----  

nfile = 'martufo.sas'  

open (99,file=nfile,form='unformatted',status='old')  

rewind(99)  

read(99) latp1,longp1,mum  

read(99)((xappo(i,j),i=1,latp1),j=1,longp1),  

$      ((yappo(i,j),i=1,latp1),j=1,longp1),  

$      ((zappo(i,j),i=1,latp1),j=1,longp1)  

close(99)  

if(latp1.ne.(lat+1)) then  

  write(*,*)"incongruenza lat carshoal/vispo"  

  stop  

end if  

if(longp1.ne.(long+1)) then  

  write(*,*)"incongruenza long carshoal/vispo"  

  stop  

end if  

if(nlo.ne.(2*lat)) then  

  write(*,*) 'careful grid lat/nlo'  

  stop  

end if  

if(ntra.ne.(3*long)) then  

  write(*,*) 'careful grid long/ntra'  

  stop  

end if  

do i = 1,lat+1  

  do j = 1,long+1  

    x(i+lat/2,j+long) = xappo(i,j)  

    y(i+lat/2,j+long) = yappo(i,j)  

    propo(i+lat/2,j+long) = zappo(i,j)  

  end do  

end do  

dx(1) = abs(x(1+lat/2,1+long)-x(2+lat/2,1+long))  

do i = 2, mx1  

  dx(i) = dx(1)  

end do  

dy(1) = abs(y(1+lat/2,1+long)-y(1+lat/2,2+long))  

do i = 2, my1  

  dy(i) = dy(1)  

end do  

do i = lat/2+1,3*lat/2+1  

  do j = 1,long  

    x(i,j) = x(i,long+1)  

    propo(i,j) = hmax  

  end do

```

STUDIO PER LO SVILUPPO DI MODELLI DRODINAMICI RIGUARDANTI GLI
ASPETTI DI INTERAZIONE ONDA-CORRENTE

```
end do
do i = lat/2+1,3*lat/2+1
  do j = 2*long+2,my
    x(i,j) = x(i,long+1)
    proplo(i,j) = hmax
  end do
end do
do i = lat/2,1,-1
  do j = 1,my
    x(i,j) = x(i+1,j) - dx(i)
    proplo(i,j) = hmax
  end do
end do
do i = 3*lat/2+1,mx1
  do j = 1,my
    x(i+1,j) = x(i,j) + dx(i)
    proplo(i+1,j) = hmax
  end do
end do
do i = 1,lat/2
  do j = long+1,2*long+1
    y(i,j) = y(lat/2+1,j)
  end do
end do
do i = 3*lat/2+2,nlo+1
  do j = long+1,2*long+1
    y(i,j) = y(lat/2+1,j)
  end do
end do
do i = 1,mx
  do j = long,1,-1
    y(i,j) = y(i,j+1) - dy(j)
  end do
end do
do i = 1,mx
  do j = 2*long+1,my1
    y(i,j+1) = y(i,j) + dy(j)
  end do
end do
do i = 1,mx1
  do j = 1,my1
    prof(i,j) = uqt*(proplo(i,j)+proplo(i+1,j)+proplo(i,j+1)+
$           proplo(i+1,j+1))
  end do
end do
open(18,file='geo.dat',form='unformatted')
```

```

rewind(18)
write(18) mx,my
write(18) ((sngl(x(i,j)),i=1,mx),j=1,my),
$      ((sngl(y(i,j)),i=1,mx),j=1,my)
close(18)
open(18,file='geosta.dat',form='unformatted')
rewind(18)
write(18) mx1,my1
write(18) ((sngl(x(i,j)+umz*dx(i)),i=1,mx1),j=1,my1),
$      ((sngl(y(i,j)+umz*dy(j)),i=1,mx1),j=1,my1)
close(18)

jbol = lat/2 + 1
x0 = zer
y0 = -yh_sl
bos = x(1,1) + float(ibos-1)*dx(1)
bod = x(1,1) + float(ibod-1)*dx(1)
write(*,*)
write(*,' prova bos (must be 0)',sngl(bos-(x(ibos,1))))
write(*,' prova bod (must be 0)',sngl(bod-(x(ibod,1))))
write(*,*)

Foce = bod-bos
bom = (bod+bos)/due
bol = float(jbol-1)*dy(1)

do j = 1,my
  do i = 1,mx
    iw_plo(i,j) = uno
  end do
end do
do j = 1,my1
  do i = 1,mx1
    iw_eta(i,j) = uno
  end do
end do
do j = 1,my1
  do i = 1,mx
    iw_u(i,j) = uno
  end do
end do
do j = 1,my
  do i = 1,mx1
    iw_v(i,j) = uno
  end do
end do
do j = 1,my1

```

STUDIO PER LO SVILUPPO DI MODELLI DRODINAMICI RIGUARDANTI GLI ASPETTI DI INTERAZIONE ONDA-CORRENTE

```

write(*,*)' xO:',sngl(xO),' bom:',sngl(bom),' yO:',sngl(yO)
write(19,*)' bos:',sngl(bos),' bod:',sngl(bod),' bol:',sngl(bol)
write(19,*)' Foce:',sngl(Foce),' hmax:',sngl(hmax)
write(19,*)' xO:',sngl(xO),' bom:',sngl(bom),' yO:',sngl(yO)

.....
..... flusso iniziale ..!
do i = 1,mx
  do j = 1,my
    uplo(i,j) = zer
    vplo(i,j) = zer
    seta(i,j) = zer
    setav(i,j) = seta(i,j)
    setavv(i,j) = seta(i,j)
  end do
end do

do i = 1,mx
  xflow(i) = uno - ((x(i,1)-bom)/(bod-bom))**4
  if(xflow(i).lt.zer) xflow(i) = zer
  do j = 1,my
    vplo(i,j) = VO*xflow(i)*(uno-((y(1,j)-yO)/(1.5*bol))**8)
    if(vplo(i,j).lt.zer) vplo(i,j) = zer
  end do
end do

.....
do i = 1,mx
  u(i,0) = zer
  uv(i,0) = u(i,0)
  do j = 1,my1
    u(i,j) = uqt*(uplo(i,j)+uplo(i,j+1))*$ (proplo(i,j)+proplo(i,j+1))
    uv(i,j) = u(i,j)
  end do
  u(i,my) = zer
  uv(i,my) = u(i,my)
end do

do j = 1,my
  v(0,j) = zer
  vv(0,j) = zer
  do i = 1,mx1
    v(i,j) = uqt*(vplo(i,j)+vplo(i+1,j))*$ (proplo(i,j)+proplo(i+1,j))
    vv(i,j) = v(i,j)
  end do
end do

```

STUDIO PER LO SVILUPPO DI MODELLI DRODINAMICI RIGUARDANTI GLI ASPETTI DI INTERAZIONE ONDA-CORRENTE

```

$ iw_plo(i,1),xflow(i),proplo(i,1),prof(i,1)
end do
222 format(4(1x,f12.4),4(1x,i4),3(1x,f12.4))
close(66)
nfile=label//'iny.dat'
open(59,file=nfile,status='unknown')
rewind(59)
i = 1+istre_w+(ibos+ibod)/2
do j = 1,my
  write(59,*) sngl(y(1,j)),
$           sngl(vplo(i,j)),
$           sngl(proplo(i,j))
end do
close(59)
nfile=label//'sa0000.dat'
open(59,file=nfile,form='unformatted')
rewind(59)
write(59) mx,my
write(59) 1., 1., sngl(Reynolds), sngl(time)
write(59)
% ((1.,i=1,mx),j=1,my),
% ((sngl(uplo(i,j)),i=1,mx),j=1,my),
% ((sngl(vplo(i,j)),i=1,mx),j=1,my),
% ((sngl(proplo(i,j)),i=1,mx),j=1,my)
close(59)
nfile=label//'iw_plo.dat'
open(59,file=nfile,form='unformatted')
rewind(59)
write(59) mx,my
write(59) 1., 1., sngl(Reynolds), sngl(time)
write(59)
% ((1.,i=1,mx),j=1,my),
% ((iw_u(i,j),i=1,mx),j=1,my),
% ((iw_v(i,j),i=1,mx),j=1,my),
% ((iw_plo(i,j),i=1,mx),j=1,my)
close(59)
write(19,*)' portata:', sngl(Q1),
$ ' m3/sec; F_h:',sngl(V0/sqrt(gravity*hmax))
write(*,*)' portata:', sngl(Q1),
$ ' m3/sec; F_h:',sngl(V0/sqrt(gravity*hmax))

.....!

do i = 1,mx1
  do j = 1,my1
    raprof(i,j) = sqrt(ann*gravity/(prof(i,j)**utz))
  end do

```

STUDIO PER LO SVILUPPO DI MODELLI DRODINAMICI RIGUARDANTI GLI
ASPECTI DI INTERAZIONE ONDA-CORRENTE

```
end do
```

```
if(kgri.eq.1) stop
```

COEFFICIENTI INFLUENZA

Influenza Superficie Libera

```
if(injet.eq.0) then
```

```
.....*
```

```
write(*,*)'----- SUPERFICIE LIBERA -----'  
write(*,*)'----- S.L. --> MARTUFO -----'  
do 30 k=1,npplib ! -- punto q --  
  xnq = xn(k)  
  ynq = yn(k)  
  zcq = zsor  
  Superficie Libera ==> Martufo  
  do 40 i=1,npan ! -- punto p del martufo --  
    xnt=xm(i)  
    ynt=ym(i)  
    znt=zm(i)  
    r = sqrt((xnq - xnt)**2+(ynq - ynt)**2+(znt-zcq)**2)  
    rz = sqrt((xnt-xnq)**2+(ynt-ynq)**2+(znt+(zcq+2.*hmax))**2)  
  
    txx = -(xnt-xnq)*(uno/r**3 + uno/rz**3)  
    tyy = -(ynt-ynq)*(uno/r**3 + uno/rz**3)  
    tzz = -(znt-zcq)/r**3-(znt+(zcq+2.*hmax))/rz**3  
  
    a(i,k+npan) = txx*cosxn(i) + tyy*cosyn(i) + tzz*coszn(i)
```

```
40 continue
```

```
Superficie Libera ==> Superficie Libera
```

```
do 45 i=1,npplib ! -- punto p della s. l. --
```

```
  xnt=xn(i)  
  ynt=yn(i)  
  znt=0.0  
  r = sqrt((xnt-xnq)**2+(ynt-ynq)**2+(znt-zcq)**2)  
  rz = sqrt((xnt-xnq)**2+(ynt-ynq)**2+(znt+(zcq+due*hmax))**2)  
  tx(i,k) = -(xnt-xnq)*(uno/r**3+uno/rz**3)  
  ty(i,k) = -(ynt-ynq)*(uno/r**3+uno/rz**3)  
  tz(i,k) = -(znt-zcq)/r**3-(znt+(zcq+2.*hmax))/rz**3  
  a(npan+i,npan+k) = uno/r + uno/rz
```

```
45 continue
```

```
30 continue
```

Influenza MARTUFO

```
write(*,*) '----- MARTUFO --> S.L. -----'
```

```
call caldic(x1,x2,x3,x4,xh,xm,cosxn,xn,
$      y1,y2,y3,y4,yh,ym,cosyn,yn,
$      z1,z2,z3,z4,zh,zm,coszn,eta,diana,
$      area,a,vx,vy,vz,npan,nplib,
$      npan+1,npan+nplib,1,npan,hmax,hemips)
```

SOLUZIONE SISTEMA EQUAZIONI

```
write(*,*) '----- FATTORIZZAZIONE MATRICE -----'
```

```
nnnn = npan + nplib
call dgeco(a,nnnn,nnnn,indx,rcond,appo)
write (*,*) 'Prc. di macch. =' ,eps
write (*,*) 'Rec. num. cond. =' ,rcond
write (19,* ) 'Prc. di macch. =' ,eps
write (19,* ) 'Rec. num. cond. =' ,rcond
close (19)
```

```
.....*
end if           ! inject !
.....*
```

```
if(legge.eq.1) then
open(unit=94,file='contwr.dat',status='old',form='unformatted')
rewind(94)
read(94) ((uplo(i,j),i=1,mx),j=1,my),
$       ((vpl0(i,j),i=1,mx),j=1,my),
$       ((setaplo(i,j),i=1,mx),j=1,my),
$       ((u(i,j),i=1,mx),j=0,my),
$       ((v(i,j),i=0,mx),j=1,my),
$       ((seta(i,j),i=1,mx1),j=1,my1),
$       ((viva(i,j),i=1,mx1),j=1,my1)
close(94)
do i = 1,mx
  do j = 0,my
    uv(i,j) = u(i,j)
  end do
end do
do i = 0,mx
  do j = 1,my
    vv(i,j) = v(i,j)
  end do
end do
```

STUDIO PER LO SVILUPPO DI MODELLI DRODINAMICI RIGUARDANTI GLI
ASPETTI DI INTERAZIONE ONDA-CORRENTE

```

do i = 1,mx1
  do j = 1,my1
    setav(i,j) = seta(i,j)
  end do
end do
write(*,*)
write(*,*) ' Ho letto contwr.dat (jet inizializzato)'
write(*,*)
end if
.....*
..... PASSAGGI SASHA/SLUW .....*
do ijk = 1,(1-injet)
do i = 1,nplib
  j = 1 + (i-1)/ntra
  k = i - (j-1)*ntra
  usa(i) = smorz(i)*umz*(u(j,k)+u(j+1,k))/prof(j,k)
  vsa(i) = smorz(i)*umz*(v(j,k)+v(j,k+1))/prof(j,k)
  disa(i) = (u(j+1,k)-u(j,k))/dx(j) + (v(j,k+1)-v(j,k))/dy(k)
$    + ((u(j+1,k)-u(j,k))/dx(j) + (v(j,k+1)-v(j,k))/dy(k))*$    seta(j,k)/prof(j,k)
  disa(i) = smorz(i)*disa(i)
  etasa(i) = smorz(i)*seta(j,k)
  vivasa(i) = viva(j,k)
end do
do i = 1,npan
  k = lat + 1 + (i-1)/lat           ! careful: lat=long !
  j = lat/2 + i - (k-lat-1)*lat
  usama(i) = umz*(u(j,k)+u(j+1,k))/prof(j,k)
  vsama(i) = umz*(v(j,k)+v(j,k+1))/prof(j,k)
end do
end do

=====
=====
write(*,*) '----- INIZIO CICLO TEMPORALE -----'
=====

do 777 iter = 1,maxite
time = (iter-1)*dt

.....
*.
*.
*.
*****
***** do iii = 1,isasha          ! if(isasha.eq.1) sasha va !
*****
```

```

.....*
do 227 kru = 1,3           ! substeps Ru-Ku SASHA !
.....attrito sul fondo e viva.....*
call vorti(vor,u,v,proplo,dx,dy,zer,uqt,umz,tre,ott,ove,mx,my,
$      mx1,my1,mx2,my2,lp_w,lp_e,lp_s)
do j = 1,my1
do i = 1,mx1
xxx = umz*(u(i,j)+u(i+1,j))
yyy = umz*(v(i,j)+v(i,j+1))
velmo = sqrt(xxx**2+yyy**2)
cappa(i,j) = gra*ann*velmo          ! velmo = |U| h !
viva(i,j) = visco + float(1-lami)*tualg*raprof(i,j)*velmo
$    + float(invisco)*float(1-lami)*viscolami*
$    (uno-float(iter)/(float(umz)+.0001d0))
end do
end do
.....*
..... termini non lineari eta, u, v .....
do j = 1,my1                  ! eta !
do i = 1,mx1
Hh(i,j) = - (u(i+1,j)-u(i,j))/dx(i)
$    - (v(i,j+1)-v(i,j))/dy(j)
$    - saspi(i,j)*seta(i,j)   ! spiaggia numerica !
end do
end do

call unoli(Hu,u,v,dx,dy,prof,proplo,smart,mx,mx1,mx2,my,   ! u !
$      my1,my2,istre_w,istre_e,jstre,ider_w,ider_e,ider_n)

-----
do ij = 1,noradi            ! coco nord u !
j = my
do i = 2,mx1
hjp = dx(i-1)**2/proplo(i+1,j)
hij = (dx(i)**2-dx(i-1)**2)/proplo(i,j)
hjm = dx(i)**2/proplo(i-1,j)
xxx = dx(i)*dx(i-1)*(dx(i)+dx(i-1))
hip = uno/proplo(i,j)
him = uno/proplo(i,j-1)
up = u(i,j)
um = (dy(j-2)*u(i,j-1)+dy(j-1)*u(i,j-2))/(dy(j-1)+dy(j-2))
vp = (dx(i-1)*v(i,j)+dx(i)*v(i-1,j))/(dx(i)+dx(i-1))
if(vp.lt.zer) then

```

STUDIO PER LO SVILUPPO DI MODELLI DRODINAMICI RIGUARDANTI GLI
ASPETTI DI INTERAZIONE ONDA-CORRENTE

```

tro=zer
else if(vp.ge.zer) then
  tro=uno
end if
vm = (dx(i-1)*v(i,j-1)+dx(i)*v(i-1,j-1))/(dx(i)+dx(i-1))
Hu(1,i,j) =
$   - (hjp*u(i+1,j)**2+hij*u(i,j)**2-hjm*u(i-1,j)**2)/xxx
$   - tro*(up*vp*hip-um*vm*him)/dy(j-1)
end do
end do

do j = 1,my1           ! u (correzione divergenza) !
do i = 2,mx1
  Hu(1,i,j) = Hu(1,i,j) + (
$   dx(i-1)*((u(i+1,j)-u(i,j))/dx(i)+(v(i,j+1)-v(i,j))/dy(j))
$   +dx(i)*((u(i,j)-u(i-1,j))/dx(i-1)+(v(i-1,j+1)-v(i-1,j))/dy(j))
$   )/(dx(i)+dx(i-1))*u(i,j)/(umz*(proplo(i,j)+proplo(i,j+1)))
  end do
end do

call vnoli(Hv,u,v,dx,dy,prof,proplo,smart,mx,mx1,mx2,my,   ! v !
$      my1,my2,istre_w,istre_e,jstre,ider_w,ider_e,ider_n)

do ij = 1,noradi          ! coco nord v !
j = my
do i = 1,mx1
  hip = due/(proplo(i,j)+proplo(i+1,j))
  him = due/(proplo(i,j-1)+proplo(i+1,j-1))
  hjp = uno/proplo(i+1,j)
  hjm = uno/proplo(i,j)
  up = u(i+1,j)
  um = u(i,j)
  if(i.eq.1) then
    vp = (dx(i)*v(i+1,j)+dx(i+1)*v(i,j))/(dx(i)+dx(i+1))
    vm = v(i-1,j)
  else if(i.eq.mx1) then
    vp = v(i+1,j)
    vm = (dx(i)*v(i-1,j)+dx(i-1)*v(i,j))/(dx(i)+dx(i-1))
  else
    vp = (dx(i)*v(i+1,j)+dx(i+1)*v(i,j))/(dx(i)+dx(i+1))
    vm = (dx(i)*v(i-1,j)+dx(i-1)*v(i,j))/(dx(i)+dx(i-1))
  end if
  if(v(i,j).lt.zer) then
    tro=zer
  else if(v(i,j).ge.zer) then
    tro=uno
  end if

```

```

Hv(1,i,j) =
$   - tro*(v(i,j)**2*hip-v(i,j-1)**2*him)/dy(j-1)
$   - (up*vp*hjp-um*vm*hjm)/dx(i)
end do
end do

do j = 2,my1           ! v (correzione divergenza) !
do i = 1,mx1
  Hv(1,i,j) = Hv(1,i,j) + (
$   dy(j-1)*((u(i+1,j)-u(i,j))/dx(i)+(v(i,j+1)-v(i,j))/dy(j))
$   +dy(j)*((u(i+1,j)-u(i,j))/dx(i)+(v(i,j)-v(i,j-1))/dy(j-1))
$   )/(dy(j)+dy(j-1))*v(i,j)/(umz*(proplo(i,j)+proplo(i+1,j)))
end do
end do

..... termini lineari u,v .....*
do i = 2,my1           ! componente u !

do j=1,my1
  vpx = viva(i,j)*prof(i,j)
  vmx = viva(i-1,j)*prof(i-1,j)
  hip = umz*(proplo(i+1,j)+proplo(i+1,j+1))
  hij = umz*(proplo(i,j)+proplo(i,j+1))
  him = umz*(proplo(i-1,j)+proplo(i-1,j+1))
  up = vpx*(u(i+1,j)/ hij -u(i,j)/hij)/dx(i)
  um = vmx*(u(i,j)/hij-u(i-1,j)/him)/dx(i-1)
  if(j.eq.1) then      ! b. inf (dy(1)=dy(2)) !
    vpy = (dx(i-1)*dy(j+1)*viva(i,j)+
$        dx(i-1)*dy(j)*viva(i,j+1)+
$        dx(i)*dy(j+1)*viva(i-1,j)+
$        dx(i)*dy(j)*viva(i-1,j+1)*proplo(i,j+1)/
$        ((dx(i)+dx(i-1))*(dy(j)+dy(j+1)))
    vmy = (dx(i-1)*viva(i,j)+dx(i)*viva(i-1,j))*proplo(i,j)/
$        (dx(i)+dx(i-1))
    hjp = umz*(proplo(i,j+1)+proplo(i,j+2))
    hjm = proplo(i,j)
    Hu(1,i,j) = Hu(1,i,j) + (
$      (vpy*(u(i,j+1)/hjp-u(i,j)/hij)
$      -vmy*float(lip_s)*
$      (-ott*u(i,j-1)/hjm+ove*u(i,j)/hij-u(i,j+1)/hjp)/tre)
$      /dy(j)**2 )
  else if(j.eq.my1) then      ! b. sup (dy(my2)=dy(my1)) !
    vpy = (dx(i-1)*viva(i,j)+dx(i)*viva(i-1,j))*proplo(i,j+1)/
$        (dx(i)+dx(i-1))
    vmy = (dx(i-1)*dy(j-1)*viva(i,j)+
$        dx(i-1)*dy(j)*viva(i,j-1)+

```

STUDIO PER LO SVILUPPO DI MODELLI DRODINAMICI RIGUARDANTI GLI
ASPETTI DI INTERAZIONE ONDA-CORRENTE

```

$      dx(i)*dy(j-1)*viva(i-1,j)+
$      dx(i)*dy(j)*viva(i-1,j-1))*proplo(i,j)/
$      ((dx(i)+dx(i-1))*(dy(j)+dy(j-1)))
hjp = proplo(i,j+1)
hjm = umz*(proplo(i,j)+proplo(i,j-1))
Hu(1,i,j) = Hu(1,i,j) + (
$      (vpy*(ott*u(i,j+1)/hjp-ove*u(i,j)/hij+u(i,j-1)/hjm)/tre
$      -vmy*(u(i,j)/hij-u(i,j-1)/hjm))/dy(j)**2
$      )
else
  vpy = (dx(i-1)*dy(j+1)*viva(i,j)+
$      dx(i-1)*dy(j)*viva(i,j+1)+
$      dx(i)*dy(j+1)*viva(i-1,j)+
$      dx(i)*dy(j)*viva(i-1,j+1))*proplo(i,j+1)/
$      ((dx(i)+dx(i-1))*(dy(j)+dy(j+1)))
  vmy = (dx(i-1)*dy(j-1)*viva(i,j)+
$      dx(i-1)*dy(j)*viva(i,j-1)+
$      dx(i)*dy(j-1)*viva(i-1,j)+
$      dx(i)*dy(j)*viva(i-1,j-1))*proplo(i,j)/
$      ((dx(i)+dx(i-1))*(dy(j)+dy(j-1)))
  hjp = umz*(proplo(i,j+1)+proplo(i,j+2))
  hjm = umz*(proplo(i,j)+proplo(i,j-1))
  Hu(1,i,j) = Hu(1,i,j) + (
$      (vpy*(u(i,j+1)/hjp-u(i,j)/hij)*due/(dy(j+1)+dy(j))-/
$      vmy*(u(i,j)/hij-u(i,j-1)/hjm)*due/
$      (dy(j-1)+dy(j)))/dy(j) )
end if
Hu(1,i,j) = Hu(1,i,j) + (
$      due*(up-um)*due/(dx(i)+dx(i-1))
$      + ( vpy*(v(i,j+1)/(umz*(proplo(i,j+1)+proplo(i+1,j+1))-
$      -v(i-1,j+1)/( up *(proplo(i,j+1)+proplo(i-1,j+1))))-
$      vmy*(v(i,j)/(umz*(proplo(i,j)+proplo(i+1,j)))-
$      -v(i-1,j)/(umz*(proplo(i,j)+proplo(i-1,j)))) )-
$      /(dy(j)* up *(dx(i)+dx(i-1)))
$      )
end do
end do

```

```

do ij = 1,noradi           ! coco nord u !
  do i = 2,mx1
    j = my
    vpx = viva(i,j-1)
    vmx = viva(i-1,j-1)
    up = vpx*(u(i+1,j)-u(i,j))/dx(i)
    um = vmx*(u(i,j)-u(i-1,j))/dx(i-1)
    Hu(1,i,j) = Hu(1,i,j) + (due*(up-um)*due/(dx(i)+dx(i-1)))

```

```

end do
end do

do j = 2,my1 ! componente v !
do i = 1,mx1
  vpy = viva(i,j)*prof(i,j)
  vmy = viva(i,j-1)*prof(i,j-1)
  hjp = umz*(proplo(i,j+1)+proplo(i+1,j+1))
  hij = umz*(proplo(i,j)+proplo(i+1,j))
  hjm = umz*(proplo(i,j-1)+proplo(i+1,j-1))
  vp = vpy*(v(i,j+1)/hjp-v(i,j)/hij)/dy(j)
  vm = vmy*(v(i,j)/hij-v(i,j-1)/hjm)/dy(j-1)
  if(i.eq.1) then ! b. sin (dx(1)=dx(2)) !
    vpx = (dx(i+1)*dy(j-1)*viva(i,j)+  

$      dx(i+1)*dy(j)*viva(i,j-1)+  

$      dx(i)*dy(j-1)*viva(i+1,j)+  

$      dx(i)*dy(j)*viva(i+1,j-1))*proplo(i+1,j)/  

$      ((dx(i)+dx(i+1))*(dy(j)+dy(j-1)))  

  vmx = (dy(j-1)*viva(i,j)+dy(j)*viva(i,j-1))*proplo(i,j)/  

$      (dy(j)+dy(j-1))  

  hip = umz*(proplo(i+1,j)+proplo(i+2,j))  

  him = proplo(i,j)  

  Hv(1,i,j) = Hv(1,i,j) + (   

$ (vpx*(v(i+1,j)/hip-v(i,j)/hij)-float(lip_w)* ! lip_w=0 f. s. !  

$ vmx*(-ott*v(i-1,j)/him+ove*v(i,j)/hij-v(i+1,j)/hip)/tre)  

$ /dx(i)**2 )  

  else if(i.eq.mx1) then ! b. dx (dx(mx1)=dx(mx2)) !  

    vpx = (dy(j-1)*viva(i,j)+dy(j)*viva(i,j-1))*proplo(i+1,j)/  

$      (dy(j)+dy(j-1))  

    vmx = (dx(i-1)*dy(j-1)*viva(i,j)+  

$      dx(i-1)*dy(j)*viva(i,j-1)+  

$      dx(i)*dy(j-1)*viva(i-1,j)+  

$      dx(i)*dy(j)*viva(i-1,j-1))*proplo(i,j)/  

$      ((dx(i)+dx(i-1))*(dy(j)+dy(j-1)))  

    hip = proplo(i+1,j)  

    him = umz*(proplo(i,j)+proplo(i-1,j))  

    Hv(1,i,j) = Hv(1,i,j) + (   

$ (float(lip_e)* ! lip_e=0 free slip est !  

$ vpx*(ott*v(i+1,j)/hip-ove*v(i,j)/hij+v(i-1,j)/him)/tre  

$ -vmx*(v(i,j)/hij-v(i-1,j)/him))/dx(i)**2  

$ )  

  else  

    vpx = (dx(i+1)*dy(j-1)*viva(i,j)+  

$      dx(i+1)*dy(j)*viva(i,j-1)+  

$      dx(i)*dy(j-1)*viva(i+1,j)+  

$      dx(i)*dy(j)*viva(i+1,j-1))*proplo(i+1,j)/  

$      ((dx(i)+dx(i+1))*(dy(j)+dy(j-1)))

```

STUDIO PER LO SVILUPPO DI MODELLI DRODINAMICI RIGUARDANTI GLI
ASPETTI DI INTERAZIONE ONDA-CORRENTE

```

vmx = (dx(i-1)*dy(j-1)*viva(i,j)+  

$      dx(i-1)*dy(j)*viva(i,j-1)+  

$      dx(i)*dy(j-1)*viva(i-1,j)+  

$      dx(i)*dy(j)*viva(i-1,j-1))*proplo(i,j)/  

$      ((dx(i)+dx(i-1))*(dy(j)+dy(j-1)))  

hip = up*(proplo(i+1,j)+proplo(i+2,j))  

him = umz*(proplo(i,j)+proplo(i-1,j))  

Hv(1,i,j) = Hv(1,i,j) + ( ( ! careful !!  

$ float(iw_plo(i+1,j))*vpx*(v(i+1,j)-v(i,j))*due/(dx(i+1)+dx(i))-  

$ float(iw_plo(i,j))*vmx*(v(i,j)-v(i-1,j))*due/(dx(i-1)+dx(i)))  

$ vpx*(v(i+1,j)/hip-v(i,j)/him)*due/(dx(i+1)+dx(i))-  

$ vmx*(v(i,j)/him-v(i-1,j)/him)*due/(dx(i-1)+dx(i)))  

$           /dx(i) )  

end if  

Hv(1,i,j) = Hv(1,i,j) +  

$           due*(vp-vm)*due/(dy(j)+dy(j-1))  

$           + (vpx*(u(i+1,j)/(umz*(proplo(i+1,j)+proplo(i+1,j+1)))  

$           -u(i+1,j-1)/(umz*(proplo(i+1,j)+proplo(i+1,j-1))))  

$           -vmx*(u(i,j)/(umz*(proplo(i,j)+proplo(i,j+1))))  

$           -u(i,j-1)/(umz*(proplo(i,j)+proplo(i,j-1)))) )  

$           /(dx(i)*umz*(dy(j)+dy(j-1))) )  

end do  

end do  

.....*  

do ij = 1,noradi          ! coco nord v !  

j = my  

i = 1                      ! b. sin !  

vpx = umz*(viva(i,j-1)+viva(i+1,j-1))  

vmx = viva(i,j-1)  

Hv(1,i,j) = Hv(1,i,j) + due*  

$           vpx*(v(i+1,j)-v(i,j))-  

$           float(lip_w)*vmx*(-ott*v(i-1,j)+ove*v(i,j)-v(i+1,j))/tre  

$           )/(dx(i)**2)  

do i = 2,mx2                ! parte centrale !  

vpx = (dx(i+1)*viva(i,j-1)+  

$           dx(i)*viva(i+1,j-1))/(dx(i)+dx(i+1))  

vmx = (dx(i-1)*viva(i,j-1)+  

$           dx(i)*viva(i-1,j-1))/(dx(i)+dx(i-1))  

Hv(1,i,j) = Hv(1,i,j) +  

$           due*(vpx*(v(i+1,j)-v(i,j))*due/(dx(i+1)+dx(i))-  

$           vmx*(v(i,j)-v(i-1,j))*due/(dx(i-1)+dx(i)))/(dx(i))  

end do  

i = mx1                      ! b. dx !  

vpx = viva(i,j-1)  

vmx = umz*(viva(i,j-1)+viva(i-1,j-1))

```

```

Hv(1,i,j) = Hv(1,i,j) + due*(  

$    float(lip_e)*vpx*(ott*v(i+1,j)-ove*v(i,j)+v(i-1,j))/tre  

$    -vmx*(v(i,j)-v(i-1,j))  

$    )/(dx(i)**2)  

end do  

-----  

..... aggiorno eta .....*  

do j = 1,my1  

do i = 1,mx1  

seta(i,j) = seta(i,j) + dt*(gam(kru)*Hh(1,i,j)+  

$           roh(kru)*Hh(2,i,j))  

Hh(2,i,j) = Hh(1,i,j)      ! aggiorno termine noto !  

end do  

end do  

..... aggiorno u .....*  

do i = 2,mx1  

do j = 1,my1  

hhh = (dx(i-1)*prof(i,j)+dx(i)*prof(i-1,j))/(dx(i-1)+dx(i))  

greta = gra*hhh*(seta(i,j)-seta(i-1,j))*due/(dx(i-1)+dx(i))  

hhh = hhh*( (dx(i-1)*prof(i,j)+dx(i)*prof(i-1,j))/  

$           (dx(i-1)+dx(i)) )**((qua/tre)  

hhh = hhh**((set/tre)  

cau = (dx(i-1)*cappa(i,j)+dx(i)*cappa(i-1,j))/(dx(i)+dx(i-1))  

Hu(1,i,j) = Hu(1,i,j) - saspi(i,j)*u(i,j)      ! spi num !  

u(i,j) = float(iw_u(i,j))*  

$     hhh*( u(i,j) + dt*(gam(kru)*Hu(1,i,j)+  

$           roh(kru)*Hu(2,i,j)  

$           -alf(kru)*greta) )/  

$     (hhh+dt*alf(kru)*cau)  

Hu(2,i,j) = Hu(1,i,j)      ! aggiorno termine noto !  

end do  

do ij = 1,noradi          ! coco nord u !  

j = my  

hhh = proplo(i,j)  

greta = zer                ! eta0 cost !  

hhh = hhh**((set/tre)  

cau = (dx(i-1)*cappa(i,j-1)+dx(i)*cappa(i-1,j-1))/  

$     (dx(i)+dx(i-1))  

u(i,j) = hhh*( u(i,j) + dt*(gam(kru)*Hu(1,i,j)+  

$           roh(kru)*Hu(2,i,j))

```

STUDIO PER LO SVILUPPO DI MODELLI DRODINAMICI RIGUARDANTI GLI
ASPETTI DI INTERAZIONE ONDA-CORRENTE

```

$           -alf(kru)*greta )/
$           (hhh+dt*alf(kru)*cau)
Hu(2,i,j) = Hu(1,i,j)      ! aggiorno termine noto !
end do
end do

..... aggiorno v ......

do i = 1,mx1
do j = 2,my1
hhh = (dy(j-1)*prof(i,j)+dy(j)*prof(i,j-1))/(dy(j-1)+dy(j))
greta = gra*hhh*(seta(i,j)-seta(i,j-1))*due/(dy(j-1)+dy(j))
hhh = hhh*( (dy(j-1)*prof(i,j)+dy(j)*prof(i,j-1))/
           (dy(j-1)+dy(j)) )**(qua/tre)
hhh = hhh***(set/tre)
cav = (dy(j-1)*cappa(i,j)+dy(j)*cappa(i,j-1))/(dy(j)+dy(j-1))
Hv(1,i,j) = Hv(1,i,j)
$           - saspi(i,j)*(v(i,j)-v(i,my))      ! spi num !
v(i,j) = float(iw_v(i,j))* 
$           hhh*( v(i,j) + dt*(gam(kru)*Hv(1,i,j)+ 
$           roh(kru)*Hv(2,i,j)
$           -alf(kru)*greta )/
$           (hhh+dt*alf(kru)*cav)
Hv(2,i,j) = Hv(1,i,j)      ! aggiorno termine noto !
end do

j = my                      ! coco nord v !
do ij = 1,noradi
hhh = umz*(proplo(i,j)+proplo(i+1,j))
greta = gra*hhh*(ott*seta0-ove*seta(i,j-1)+seta(i,j-2))/
       (tre*dy(j-1))      ! dy(my1)=dy(my2) !
hhh = hhh***(set/tre)
cav = cappa(i,j-1)
v(i,j) = hhh*( v(i,j) + dt*(gam(kru)*Hv(1,i,j)+ 
$           roh(kru)*Hv(2,i,j)
$           -alf(kru)*hhh )/
$           (hhh+dt*alf(kru)*cav)
Hv(2,i,j) = Hv(1,i,j)      ! aggiorno termine noto !
end do
do ij = 1,(1-noradi)
v(i,j) = Q1/abs(x(1,1)-x(mx,1))
end do
end do

.....free slip varie.....
do k = 1,(1-lip_w)          ! if(lip_w.eq.0) !
do j = 2,my

```

```

v(0,j) = v(1,j)
vplo(1,j) = v(0,j)/proplo(1,j)
end do
end do
do k = 1,(1-lip_e)           ! if(lip_e.eq.0) !
do j = 2,my
  v(mx,j) = v(mx1,j)
  vplo(mx,j) = v(mx,j)/proplo(mx,j)
end do
end do
do k = 1,(1-lip_s)           ! if(lip_s.eq.0) !
do i = 2,mx1
  u(i,0) = u(i,1)
  uplo(i,1) = u(i,0)/proplo(i,1)
end do
end do
.....................................................................*
227 continue                   ! fine substeps Ru-Ku !
.....................................................................*
call etano(seta,setaplo,seta0,mx,my,dx,dy,noradi) ! eta nei nodi !
call vorti(vor,u,v,proplo,dx,dy,zer,uqt,umz,tre,ott,ove,mx,my,
$      mx1,my1,mx2,my2,lip_w,lip_e,lip_s)

..... Monitoraggi vari SASHA .....
recel = zer
cfl = zer
dm_0 = zer
dm_1 = zer
dm_2 = zer
scamu = zer
scamv = zer
do j = 1,my1
  do i = 1,mx1
    rex = u(i,j)*dx(i)/
$      (viva(i,j)*umz*(proplo(i,j)+proplo(i,j+1)))
    rey = v(i,j)*dy(j)/
$      (viva(i,j)*umz*(proplo(i,j)+proplo(i+1,j)))
    recel = max(recel,rex,rey)
    hhh = sqrt(gra*prof(i,j))
    cf = ((abs(u(i,j))*due/(proplo(i,j)+proplo(i,j+1))+hhh)/dx(i)
$      +(abs(v(i,j))*due/(proplo(i,j)+proplo(i+1,j))+hhh)/dy(j)
$      )*dt
    cfl = max(cf,cfl)
    div = abs((u(i+1,j)-u(i,j))/dx(i)+(v(i,j+1)-v(i,j))/dy(j))

```

STUDIO PER LO SVILUPPO DI MODELLI DRODINAMICI RIGUARDANTI GLI
ASPETTI DI INTERAZIONE ONDA-CORRENTE

```

dm_0 = max(div,dm_0)
div = abs((u(i+1,j)-u(i,j))/dx(i)+(v(i,j+1)-v(i,j))/dy(j)
$      +(seta(i,j)-setav(i,j))/dt)
dm_1 = max(div,dm_1)
div = abs((u(i+1,j)-u(i,j))/dx(i)+(v(i,j+1)-v(i,j))/dy(j)
$      +(tre*seta(i,j)-qua*setav(i,j)+setavv(i,j))/(due*dt))
dm_2 = max(div,dm_2)
scau = abs(u(i,j)-uv(i,j))/(
$      (umz*(proplo(i,j)+proplo(i,j+1))*dt)
scamu = max(scau,scamu)
scav = abs(v(i,j)-vv(i,j))/(
$      (umz*(proplo(i,j)+proplo(i+1,j))*dt)
scamv = max(scav,scamv)
uv(i,j) = u(i,j)
vv(i,j) = v(i,j)
setavv(i,j) = setav(i,j)
setav(i,j) = seta(i,j)
end do
end do
scamm = max(scamu,scamv)

```

```

do j = 2,my1
  do i = 2,mx1
    uplo(i,j) = float(iw_plo(i,j))*
$      ((dy(j-1)*u(i,j)+dy(j)*u(i,j-1))/(
$      ((dy(j)+dy(j-1))*proplo(i,j)))
    vplo(i,j) = float(iw_plo(i,j))*
$      ((dx(i-1)*v(i,j)+dx(i)*v(i-1,j))/(
$      ((dx(i)+dx(i-1))*proplo(i,j)))
  end do
end do
j = my1                                ! coco nord !
do i = 2,mx1
  uplo(i,j) = float(iw_plo(i,j))*u(i,j)/proplo(i,j)
  vplo(i,j) = float(iw_plo(i,j))*
$  ((dx(i-1)*v(i,j)+dx(i)*v(i-1,j))/((dx(i)+dx(i-1))*proplo(i,j)))
end do

```

```

Q2 = zer
do i = istre_w+1,mx1-istre_e
  Q2 = Q2 + v(i,my-jstre)*dx(i)
end do
Q3 = zer
do j = 1,116!my1-jstre               !!!!!!!!
  Q3 = Q3 + u(istre_w+31,j)*dy(j)      !!!!!!!!
end do

```

```

Q4 = zer
do j = 162,193!1,my1-jstre          !!!!!!!!
  Q4 = Q4 + u(istre_w+148,j)*dy(j)    !!!!!!!!
  Q4 = Q4 + u(mx-istre_e,j)*dy(j)
end do
Bilancio = (Q1-Q2+Q3-Q4)/Q1

-----
if(mod(iter,kpri).eq.0) then
  write(44,3333) sngl(time),sngl(dm_0),sngl(dm_1),sngl(dm_2),
$   sngl(scamu),sngl(scamv),
$   sngl(viscolami*(uno-float(iter)/(float(maxite)+.0001d0)))
3333  format(1x,7(g10.4,1x))
      write(*,1974) iter,dm_2,cfl,scamm,recel
      write(19,1975) iter,dm_2,cfl,scamu,scamv,recel
1974  format(/,1x,i6,' div:',g8.2,' cfl:',f9.4,
$   ' sc. max:',g8.2,' rec:',g8.2)
1975  format(1x,i6,' div:',g8.2,' cfl:',f9.4,
$   ' sc. u:',g8.2,' sc. v:',g8.2,'rec:',g8.2)
end if

.....*
..... PASSAGGI SASHA/SLUW .....
do ijk = 1,(1-injet)
.....*
do i = 1,nplib
  j = 1 + (i-1)/ntra
  k = i - (j-1)*ntra
  usa(i) = smorz(i)* uplo *(u(j,k)+u(j+1,k))/prof(j,k)
  vsa(i) = smorz(i)*umz*(v(j,k)+v(j,k+1))/prof(j,k)
  disa(i) = (u(j+1,k)-u(j,k))/dx(j) + (v(j,k+1)-v(j,k))/dy(k)
$     + ((u(j+1,k)-u(j,k))/dx(j) + (v(j,k+1)-v(j,k))/dy(k))* 
$     seta(j,k)/prof(j,k)
  disa(i) = smorz(i)*disa(i)
  etasa(i) = smorz(i)*seta(j,k)
  vivasa(i) = viva(j,k)
end do
do i = 1,npn
  k = lat + 1 + (i-1)/lat           ! careful: lat=long !
  j = lat/2 + i - (k-lat-1)*lat
  usama(i) = umz*(u(j,k)+u(j+1,k))/prof(j,k)
  vsama(i) = umz*(v(j,k)+v(j,k+1))/prof(j,k)
end do
*****!
end do
! if(isasha.eq.1) sasha va !
*****!
.....*
.....*

```

STUDIO PER LO SVILUPPO DI MODELLI DRODINAMICI RIGUARDANTI GLI
ASPETTI DI INTERAZIONE ONDA-CORRENTE

.....*

Ciclo Runge--Kutta SLUW

.....*

```
do ik = 1,ikutta
    trk = time + dt*rk(ik,2)
```

Configurazione Intermedia Runge--Kutta

```
call rukut1 (nplib,etan,fin,eta,teta,fi,tofi,rk,ik,dt)
```

Soluzione Equazione Integrale

Termine noto

```
do i=1,npan
    call Wave2 (Am,Wn,Om,gra,hmax,trk,ym(i),zm(i),phase,
$          fiw,uw,vw,ww)
    $      sigma(i) = -((uw+usama(i))*cosxn(i)
    $          +(vw+vsama(i))*cosyn(i)
    $          +ww*coszn(i))
    sigma(i) = float((1-iatto(i)))*sigma(i)
end do
do i=npan+1,npan+nplib
    sigma(i) = fin(i-npan)
end do

call dgesl(a,nnnn,nnnn,indx,sigma,0)
```

Velocita Superficie libera

```
do 503 i=npan+1,npan+nplib      ! fiz superficie libera !
    somx=zer
    somy=zer
    somz=zer
    do k=1,npan
        somx=somx+sigma(k)*vx(i-npan,k)
        somy=somy+sigma(k)*vy(i-npan,k)
        somz=somz+sigma(k)*vz(i-npan,k)
    end do
    do 523 k=1,nplib
        somx=somx+sigma(k+npan)*tx(i-npan,k)
        somy=somy+sigma(k+npan)*ty(i-npan,k)
        somz=somz+sigma(k+npan)*tz(i-npan,k)
523     continue
    fix(i)=somx
    fiy(i)=somy
    fiz(i)=somz
503     continue
```

Campo ondoso incidente e derivate elevazione d'onda

```
-----  
call Wave (npan,ym,zm,phase,nplib,  
$      yn,eta0,etaOy,fiOy,fiOz,Am,Wn,Om,hmax,gra,trk)  
call derita(ntra,nlo,nplib,eta,etax,etay,etasay,etasax,  
$      r2dx,r2dy,usa,usa)
```

Accumula correzione Runge-Kutta

```
-----  
call rukut2(npan,nplib,deta,dfi,etan,fin,fix,fiy,fiz,  
$      etax,etay,fiOy,etaOy,usa,usa,disa,  
$      etasax,etasay,spinu,tofi,teta,gra,rk,ik)  
end do
```

.....*
Fine Ciclo Runge--Kutta SLUW

.....*

```
call rukut3 (nplib,eta,fi,deta,dfi,dt) ! Nuova conf. passo succ. !
```

TAGLI TRASVERSALI E LONGITUDINALI

```
write(cha,99) iter
```

```
myfile= label//'vall1'//cha//'.dat'      ! secondo taglio !  
open(unit=71,file=myfile,status='unknown')  
rewind(71)  
do i = i1,nplib-ntra+i1,ntra  
    etata = eta(i-1)+etaO(i-1)+etasay(i-1) +  
$        (eta(i)+etaO(i)+etasay(i)-eta(i-1)-etaO(i-1)-etasay(i-1))  
$        /(yn(i)-yn(i-1))*(yta1-yn(i-1))  
    write(71,*) xn(i),etata  
end do  
close(71)
```

```
myfile= label//'vall2'//cha//'.dat'      ! terzo taglio !  
open(unit=71,file=myfile,status='unknown')  
rewind(71)  
do i = i2,nplib-ntra+i2,ntra  
    etata = eta(i-1)+etaO(i-1)+etasay(i-1) +  
$        (eta(i)+etaO(i)+etasay(i)-eta(i-1)-etaO(i-1)-etasay(i-1))  
$        /(yn(i)-yn(i-1))*(yta2-yn(i-1))  
    write(71,*) xn(i),etata  
end do  
close(71)
```

```
myfile= label//'yeta'//cha
```

STUDIO PER LO SVILUPPO DI MODELLI DRODINAMICI RIGUARDANTI GLI ASPETTI DI INTERAZIONE ONDA-CORRENTE

```

write(99) ntra,nlo,1
write(99) (sngl(xn(i)),i=1,nplib),
$      (sngl(yn(i)),i=1,nplib),
$      (sngl(eta0(i)+eta(i)),i=1,nplib)
close(99)
nfile= label//'grip'//cha//'.dat'
open (99,file=nfile,form='unformatted') ! griglia plot3d SLUW !
rewind(99)
write(99) ntra,nlo,1
write(99) (sngl(xn(i)),i=1,nplib),
$      (sngl(yn(i)),i=1,nplib),
$      (sngl(eta(i)),i=1,nplib)
close(99)

nfile= label//'liv'//cha//'.dat'
open(99,file=nfile,form='unformatted')
rewind(99)
write(99) ntra,nlo,1
write(99) O.,O.,O.,O.
write (99)(1.,          ,i=1,nplib),
$      (sngl(eta(i)) ,i=1,nplib),
$      (sngl(eta(i)+etas(i)) ,i=1,nplib),
$      (sngl(eta0(i)+eta(i)+etas(i)) ,i=1,nplib),
$      (sngl(spinu(i)) ,i=1,nplib)
close(99)
nfile= label//'uvw'//cha//'.dat'
open(99,file=nfile,form='unformatted')
rewind(99)
write(99) ntra,nlo,1
write(99) O.,O.,O.,O.
write (99)(1.,          ,i=1,nplib),
$      (sngl(usa(i)+fix(npan+i)),i=1,nplib),
$      (sngl(vsa(i)+fiOy(npan+i)+fiy(npan+i)),i=1,nplib),
$      (sngl(fiOz(npan+i)+fiz(npan+i)),i=1,nplib),
$      (sngl(vivasa(i)),i=1,nplib)
close(99)
end do               ! inject !

do ijk = 1,injet
  nfile=label//'insa'//cha//'.dat'
end do
do ijk = 1,(1-injet)
  nfile=label//'sa'//cha//'.dat'
end do
open(59,file=nfile,form='unformatted')
rewind(59)
write(59) mx,my

```

STUDIO PER LO SVILUPPO DI MODELLI DRODINAMICI RIGUARDANTI GLI
ASPETTI DI INTERAZIONE ONDA-CORRENTE

```
write(59) 1., 1., sngl(Reynolds), sngl(time)
write(59)
%   ((1.,i=1,mx),j=1,my),
%   ((sngl(uplo(i,j)),i=1,mx),j=1,my),
%   ((sngl(vplo(i,j)),i=1,mx),j=1,my),
%   ((sngl(setaplo(i,j)),i=1,mx),j=1,my)
close(59)

nfile=label//'ax'//cha//'.dat'
open(59,file=nfile,status='unknown')
rewind(59)
do i = 1,mx
  write(59,95) sngl(x(i,1)),
$           sngl(uplo(i,my1/2+1)),
$           sngl(vplo(i,my1/2+1)),
$           sngl(setaplo(i,my1/2+1))
end do
95  format(4(1x,f14.8))
close(59)
nfile=label//'ay'//cha//'.dat'
open(59,file=nfile,status='unknown')
rewind(59)
i = (ibos+ibod)/2
do j = 1,my
  write(59,95) sngl(y(1,j)),
$           sngl(uplo(i,j)),
$           sngl(vplo(i,j)),
$           sngl(setaplo(i,j)),
$           sngl(saspi(i,j))
end do
95  format(5(1x,f14.8))
close(59)
end if
```

777 continue ! FINE CICLO TEMPORALE !

```
close(19)
close(44)
99  format(i4.4)

c_____
stop 'VISPO: Fine Elaborazione'
end
```

```

subroutine martufo(nplib,lat,long,npan,xn,yn,zn,
$      x1,x2,x3,x4,xh,y1,y2,y3,y4,yh,z1,z2,z3,z4,zh,diana,
$      area,cosxn,cosyn,coszn,amat,hmax,iatto)

integer*4 npan,nplib,lat,long
real*8 xn(*),yn(*),zn(*),
$      x1(*),x2(*),x3(*),x4(*),xh(*),
$      y1(*),y2(*),y3(*),y4(*),yh(*),
$      z1(*),z2(*),z3(*),z4(*),zh(*),
$      cosxn(*),cosyn(*),coszn(*),area(*),
$      amat(npan+nplib,*),
$      atr(3,3),diana,hmax

real*8 pig,eps,hemips,upiep
integer*4 lat_f,long_f,i,k,iikk,iatto(*)
real*8 tre,det_a,det_b,det_c,absa,absb,absc,dem,a,b,c,d
real*8 sud,sden,deta,detb,detc
real*8 xx1,xx2,xx3,xx4
real*8 yy1,yy2,yy3,yy4
real*8 zz1,zz2,zz3,zz4
real*8 a1,b1,c1,d1
real*8 a2,b2,c2,d2
real*8 a3,b3,c3,d3
real*8 a4,b4,c4,d4
real*8 d123,d134,d124
real*8 abs123,abs134,abs124
real*8 aax,aay,aaaz,aaa
real*8 bbx,bby,bbz
real*8 drelpq,dilato
real*8 x12,x13,x23,x34,x41
real*8 y12,y13,y23,y34,y41
real*8 z12,z13,z23,z34,z41
real*8 w123,w341
real*8 fi,u,v,w,uu,vv,ww

pig=4.0*atan(1.0)
eps = 0.00010
1234 eps = eps*0.5
upiep = 1.0 + eps
if(upiep.ne.1.0) go to 1234
eps = eps*2.0
hemips = eps

```

STUDIO PER LO SVILUPPO DI MODELLI DRODINAMICI RIGUARDANTI GLI
ASPETTI DI INTERAZIONE ONDA-CORRENTE

```
129 hemips = hemips*0.5
if((hemips+1.0).ne.1.0) go to 129
hemips = hemips*2.0
```

Lettura dei punti di confine

```
open(unit=22,file='martufo.dat',status='unknown')
rewind(22)
read (22,*) lat_f , long_f
if(lat_f.ne.lat.or.long_f.ne.long) then
    write(*,*)"Disaccordo tra il file martufo.dat e sluw.f"
    write(*,*)"Lat o long si riferiscono ad un caso diverso"
    stop
end if
do i=1,npan
    read (22,*) x1(i),x2(i),x3(i),x4(i),xn(i)
end do
do i=1,npan
    read (22,*) y1(i),y2(i),y3(i),y4(i),yn(i)
end do
do i=1,npan
    read (22,*) z1(i),z2(i),z3(i),z4(i),zn(i)
end do
close(22)
100 format(1x,a)
open(unit=22,file='stabody.dat',status='unknown')
rewind(22)
do i = 1,npan
    write(22,*) xn(i),yn(i),zn(i)
end do
close(22)
```

do i = 1,npan !

Minimi quadrati: piano medio !

```
atr(1,1) = (x1(i)-xn(i))**2+(x2(i)-xn(i))**2+
$      (x3(i)-xn(i))**2+(x4(i)-xn(i))**2
atr(2,2) = (y1(i)-yn(i))**2+(y2(i)-yn(i))**2+
$      (y3(i)-yn(i))**2+(y4(i)-yn(i))**2
atr(3,3) = (z1(i)-zn(i))**2+(z2(i)-zn(i))**2+
$      (z3(i)-zn(i))**2+(z4(i)-zn(i))**2
atr(1,2) = (x1(i)-xn(i))*(y1(i)-yn(i))+ 
$      (x2(i)-xn(i))*(y2(i)-yn(i))+
```

```

$      (x3(i)-xn(i))*(y3(i)-yn(i))+  

$      (x4(i)-xn(i))*(y4(i)-yn(i))  

atr(1,3) = (x1(i)-xn(i))*(z1(i)-zn(i))+  

$      (x2(i)-xn(i))*(z2(i)-zn(i))+  

$      (x3(i)-xn(i))*(z3(i)-zn(i))+  

$      (x4(i)-xn(i))*(z4(i)-zn(i))  

atr(2,3) = (y1(i)-yn(i))*(z1(i)-zn(i))+  

$      (y2(i)-yn(i))*(z2(i)-zn(i))+  

$      (y3(i)-yn(i))*(z3(i)-zn(i))+  

$      (y4(i)-yn(i))*(z4(i)-zn(i))  

atr(2,1) = atr(1,2)  

atr(3,1) = atr(1,3)  

atr(3,2) = atr(2,3)  

tre = atr(1,1)*atr(2,2)*atr(3,3) + atr(1,2)*atr(2,3)*atr(3,1) +  

$      atr(1,3)*atr(2,1)*atr(3,2) - atr(3,1)*atr(2,2)*atr(1,3) -  

$      atr(3,2)*atr(2,3)*atr(1,1) - atr(3,3)*atr(2,1)*atr(1,2)  

if(abs(tre).ge.eps) then  

write(*,*)'*****'  

write(*,*) ' PANNELLO ',i,'      det 3x3 =',tre  

end if

det_a = atr(2,2)*atr(3,3) - atr(3,2)*atr(2,3)  

det_b = atr(1,1)*atr(3,3) - atr(3,1)*atr(1,3)  

det_c = atr(1,1)*atr(2,2) - atr(2,1)*atr(1,2)  

absa = abs(det_a)  

absb = abs(det_b)  

absc = abs(det_c)  

dem = max(absa,absb,absc)

if(dem.eq.absa) then  

sud = 1.0/det_a  

a = 1.0  

b = (-atr(2,1)*atr(3,3) + atr(3,1)*atr(2,3))*sud  

c = (-atr(2,2)*atr(3,1) + atr(3,2)*atr(2,1))*sud  

else if(dem.eq.absb) then  

sud = 1.0/det_b  

a = (-atr(1,2)*atr(3,3) + atr(3,2)*atr(1,3))*sud  

b = 1.0  

c = (-atr(1,1)*atr(3,2) + atr(3,1)*atr(1,2))*sud  

else if(dem.eq.absc) then  

sud = 1.0/det_c  

a = (-atr(1,3)*atr(2,2) + atr(2,3)*atr(1,2))*sud  

b = (-atr(1,1)*atr(2,3) + atr(2,1)*atr(1,3))*sud  

c = 1.0  

end if  

d = -(a*xn(i)+b*yn(i)+c*zn(i))

```

STUDIO PER LO SVILUPPO DI MODELLI DRODINAMICI RIGUARDANTI GLI
ASPETTI DI INTERAZIONE ONDA-CORRENTE

Costruzione del pannello

!

```

deta = a*a*a + a*b*b + a*c*c
detb = a*a*b + b*b*b + b*c*c
detc = - (a*a*c + b*b*c + c*c*c)
absa = abs(deta)
absb = abs(detb)
absc = abs(detc)
dem = max(absa,absb,absc)
if(absa.eq.dem) then
    sud = 1.0/deta
c   write(*,*)' CASO a', SUD='sud
    xx1 = (-a*a*d + a*c*(c*x1(i)-a*z1(i))
%           + a*b*(b*x1(i)-a*y1(i))) * sud
    yy1 = (-a*a*(b*x1(i)-a*y1(i)) + b*c*(c*x1(i)-a*z1(i))
$           - c*c*(b*x1(i)-a*y1(i)) - a*b*d) * sud
    zz1 = (-a*a*(c*x1(i)-a*z1(i)) + b*c*(b*x1(i)-a*y1(i))
%           - b*b*(c*x1(i)-a*z1(i)) - a*c*d) * sud
    xx2 = (-a*a*d + a*c*(c*x2(i)-a*z2(i))
%           + a*b*(b*x2(i)-a*y2(i))) * sud
    yy2 = (-a*a*(b*x2(i)-a*y2(i)) + b*c*(c*x2(i)-a*z2(i))
$           - c*c*(b*x2(i)-a*y2(i)) - a*b*d) * sud
    zz2 = (-a*a*(c*x2(i)-a*z2(i)) + b*c*(b*x2(i)-a*y2(i))
%           - b*b*(c*x2(i)-a*z2(i)) - a*c*d) * sud
    xx3 = (-a*a*d + a*c*(c*x3(i)-a*z3(i))
%           + a*b*(b*x3(i)-a*y3(i))) * sud
    yy3 = (-a*a*(b*x3(i)-a*y3(i)) + b*c*(c*x3(i)-a*z3(i))
$           - c*c*(b*x3(i)-a*y3(i)) - a*b*d) * sud
    zz3 = (-a*a*(c*x3(i)-a*z3(i)) + b*c*(b*x3(i)-a*y3(i))
%           - b*b*(c*x3(i)-a*z3(i)) - a*c*d) * sud
    xx4 = (-a*a*d + a*c*(c*x4(i)-a*z4(i))
%           + a*b*(b*x4(i)-a*y4(i))) * sud
    yy4 = (-a*a*(b*x4(i)-a*y4(i)) + b*c*(c*x4(i)-a*z4(i))
$           - c*c*(b*x4(i)-a*y4(i)) - a*b*d) * sud
    zz4 = (-a*a*(c*x4(i)-a*z4(i)) + b*c*(b*x4(i)-a*y4(i))
%           - b*b*(c*x4(i)-a*z4(i)) - a*c*d) * sud
else if(absb.eq.dem) then
    sud = 1.0/detb
    xx1 = (-d*a*b + c*(b*x1(i)-a*y1(i))*c +
%           (c*y1(i)-b*z1(i))*a*c + b*(b*x1(i)-a*y1(i))*b) * sud
    yy1 = (-a*(b*x1(i)-a*y1(i))*b + c*b*(c*y1(i)-b*z1(i))
%           - b*b*d) * sud
    zz1 = (-a*a*(c*y1(i)-b*z1(i)) - d*b*c -
%           c*(b*x1(i)-a*y1(i))*a - (c*y1(i)-b*z1(i))*b*b) * sud
    xx2 = (-d*a*b + c*(b*x2(i)-a*y2(i))*c +
%           (c*y2(i)-b*z2(i))*a*c + b*(b*x2(i)-a*y2(i))*b) * sud

```

```

yy2 = (-a*(b*x2(i)-a*y2(i))*b + c*b*(c*y2(i)-b*z2(i))
%      - b*b*d) * sud
zz2 = (-a*a*(c*y2(i)-b*z2(i)) - d*b*c -
%      c*(b*x2(i)-a*y2(i))*a - (c*y2(i)-b*z2(i))*b*b) * sud
xx3 = (-d*a*b + c*(b*x3(i)-a*y3(i))*c +
%      (c*y3(i)-b*z3(i))*a*c + b*(b*x3(i)-a*y3(i))*b) * sud
yy3 = (-a*(b*x3(i)-a*y3(i))*b + c*b*(c*y3(i)-b*z3(i))
%      - b*b*d) * sud
zz3 = (-a*a*(c*y3(i)-b*z3(i)) - d*b*c -
%      c*(b*x3(i)-a*y3(i))*a - (c*y3(i)-b*z3(i))*b*b) * sud
xx4 = (-d*a*b + c*(b*x4(i)-a*y4(i))*c +
%      (c*y4(i)-b*z4(i))*a*c + b*(b*x4(i)-a*y4(i))*b) * sud
yy4 = (-a*(b*x4(i)-a*y4(i))*b + c*b*(c*y4(i)-b*z4(i))
%      - b*b*d) * sud
zz4 = (-a*a*(c*y4(i)-b*z4(i)) - d*b*c -
%      c*(b*x4(i)-a*y4(i))*a - (c*y4(i)-b*z4(i))*b*b) * sud
else if(absc.eq.dem) then
  sud = 1.0/detc
  xx1 = (d*c*a - b*b*(c*x1(i)-a*z1(i)) -
$      (c*x1(i)-a*z1(i))*c + a*(c*y1(i)-b*z1(i))*b) * sud
  yy1 = (-a*(c*y1(i)-b*z1(i))*a + d*b*c -
%      c*(c*y1(i)-b*z1(i))*c + (c*x1(i)-a*z1(i))*b*a) * sud
  zz1 = (a*c*(c*x1(i)-a*z1(i)) +
%      b*(c*y1(i)-b*z1(i))*c + c*c*d) * sud
  xx2 = (d*c*a - b*b*(c*x2(i)-a*z2(i)) -
$      (c*x2(i)-a*z2(i))*c*c + a*(c*y2(i)-b*z2(i))*b) * sud
  yy2 = (-a*(c*y2(i)-b*z2(i))*a + d*b*c -
%      c*(c*y2(i)-b*z2(i))*c + (c*x2(i)-a*z2(i))*b*a) * sud
  zz2 = (a*c*(c*x2(i)-a*z2(i)) +
%      b*(c*y2(i)-b*z2(i))*c + c*c*d) * sud
  xx3 = (d*c*a - b*b*(c*x3(i)-a*z3(i)) -
$      (c*x3(i)-a*z3(i))*c*c + a*(c*y3(i)-b*z3(i))*b) * sud
  yy3 = (-a*(c*y3(i)-b*z3(i))*a + d*b*c -
%      c*(c*y3(i)-b*z3(i))*c + (c*x3(i)-a*z3(i))*b*a) * sud
  zz3 = (a*c*(c*x3(i)-a*z3(i)) +
%      b*(c*y3(i)-b*z3(i))*c + c*c*d) * sud
  xx4 = (d*c*a - b*b*(c*x4(i)-a*z4(i)) -
$      (c*x4(i)-a*z4(i))*c*c + a*(c*y4(i)-b*z4(i))*b) * sud
  yy4 = (-a*(c*y4(i)-b*z4(i))*a + d*b*c -
%      c*(c*y4(i)-b*z4(i))*c + (c*x4(i)-a*z4(i))*b*a) * sud
  zz4 = (a*c*(c*x4(i)-a*z4(i)) +
%      b*(c*y4(i)-b*z4(i))*c + c*c*d) * sud
end if
x1(i) = xx1
y1(i) = yy1
z1(i) = zz1
x2(i) = xx2

```

STUDIO PER LO SVILUPPO DI MODELLI DRODINAMICI RIGUARDANTI GLI
ASPETTI DI INTERAZIONE ONDA-CORRENTE

```

y2(i) = yy2
z2(i) = zz2
x3(i) = xx3
y3(i) = yy3
z3(i) = zz3
x4(i) = xx4
y4(i) = yy4
z4(i) = zz4

```

calcolo di xh,yh,zh, area e coseni direttori !

```

a1 = x4(i)-x3(i)
b1 = y4(i)-y3(i)
c1 = z4(i)-z3(i)
d1 = x1(i)*(x4(i)-x3(i)) + y1(i)*(y4(i)-y3(i)) +
$     z1(i)*(z4(i)-z3(i))
a2 = y4(i)-y3(i)
b2 = x3(i)-x4(i)
c2 = 0.0
d2 = x3(i)*(y4(i)-y3(i)) + y3(i)*(x3(i)-x4(i))
a3 = 0.0
b3 = z4(i)-z3(i)
c3 = y3(i)-y4(i)
d3 = y3(i)*(z4(i)-z3(i)) + z3(i)*(y3(i)-y4(i))
a4 = z4(i)-z3(i)
b4 = 0.0
c4 = x3(i)-x4(i)
d4 = x3(i)*(z4(i)-z3(i)) + z3(i)*(x3(i)-x4(i))
d123 = a1*b2*c3 + b1*c2*a3 + c1*a2*b3 -a3*b2*c1 -
$     b3*c2*a1 - c3*a2*b1
d124 = a1*b2*c4 + b1*c2*a4 + c1*a2*b4 -a4*b2*c1 -
$     b4*c2*a1 - c4*a2*b1
d134 = a1*b3*c4 + b1*c3*a4 + c1*a3*b4 -a4*b3*c1 -
$     b4*c3*a1 - c4*a3*b1
abs123 = abs(d123)
abs124 = abs(d124)
abs134 = abs(d134)
dem = max(abs123,abs124,abs134)
if(abs123.eq.dem) then
    sud = 1.0/d123
    xh(i) = (d1*b2*c3 + b1*c2*d3 + c1*d2*b3 -d3*b2*c1 -
$          b3*c2*d1 - c3*d2*b1) * sud
    yh(i) = (a1*d2*c3 + d1*c2*a3 + c1*a2*d3 -a3*d2*c1 -
$          d3*c2*a1 - c3*a2*d1) * sud
    zh(i) = (a1*b2*d3 + b1*d2*a3 + d1*a2*b3 -a3*b2*d1 -
$          b3*d2*a1 - d3*a2*b1) * sud

```

```

else if(abs124.eq.dem) then
  sud = 1.0/d124
  xh(i) = (d1*b2*c4 + b1*c2*d4 + c1*d2*b4 -d4*b2*c1 -
$           b4*c2*d1 - c4*d2*b1) * sud
  yh(i) = (a1*d2*c4 + d1*c2*a4 + c1*a2*d4 -a4*d2*c1 -
$           d4*c2*a1 - c4*a2*d1) * sud
  zh(i) = (a1*b2*d4 + b1*d2*a4 + d1*a2*b4 -a4*b2*d1 -
$           b4*d2*a1 - d4*a2*b1) * sud
else if(abs134.eq.dem) then
  sud = 1.0/d134
  xh(i) = (d1*b3*c4 + b1*c3*d4 + c1*d3*b4 -d4*b3*c1 -
$           b4*c3*d1 - c4*d3*b1) * sud
  yh(i) = (a1*d3*c4 + d1*c3*a4 + c1*a3*d4 -a4*d3*c1 -
$           d4*c3*a1 - c4*a3*d1) * sud
  zh(i) = (a1*b3*d4 + b1*d3*a4 + d1*a3*b4 -a4*b3*d1 -
$           b4*d3*a1 - d4*a3*b1) * sud
end if

aax = x1(i)-x3(i)                                ! area !
aay = y1(i)-y3(i)
aaaz = z1(i)-z3(i)
bbx = x4(i)-x2(i)
bby = y4(i)-y2(i)
bbz = z4(i)-z2(i)
aaa = sqrt( (aay*bbz-aaaz*bby)**2 +
&   (aaaz*bbx-aax*bbz)**2 + (aax*bby-aay*bbx)**2)
area(i) = .5*aaa

sden = 1.0 / sqrt(                               ! normale esterna !
$ ((y3(i)-y2(i))*(z3(i)-z1(i))-(y4(i)-y1(i))*(z3(i)-z2(i)))**2 +
$ ((z4(i)-z2(i))*(x3(i)-x1(i))-(z3(i)-z1(i))*(x4(i)-x2(i)))**2 +
$ ((x3(i)-x2(i))*(y2(i)-y1(i))-(x4(i)-x1(i))*(y3(i)-y2(i)))**2 )
cosxn(i) = sden*
$ ((y4(i)-y2(i))*(z3(i)-z1(i))-(y3(i)-y1(i))*(z4(i)-z2(i)))
cosyn(i) = sden*
$ ((z4(i)-z2(i))*(x3(i)-x1(i))-(z3(i)-z1(i))*(x4(i)-x2(i)))
coszn(i) = sden*
$ ((x4(i)-x2(i))*(y3(i)-y1(i))-(x3(i)-x1(i))*(y4(i)-y2(i)))

-----
iatto(i) = 0
if(abs((zn(i)-hmax)/hmax).lt.(.00001)) then
  iatto(i) = 1
end if
-----
end do                                              !

```

STUDIO PER LO SVILUPPO DI MODELLI DRODINAMICI RIGUARDANTI GLI
ASPETTI DI INTERAZIONE ONDA-CORRENTE

Calcolo degli integrali 'corpo-corpo' vxc,vyc,vzc

do 30 k=1,npan !!!! PANNELLO SORG.Q : calcolo p. integraz.

```
call prima(x1(k),x2(k),x3(k),x4(k),y1(k),y2(k),y3(k),y4(k),
$           z1(k),z2(k),z3(k),z4(k),xh(k),yh(k),zh(k),area(k),
$           w123,w341,dilato,x12,y12,z12,x23,y23,z23,x13,y13,z13,
$           x34,y34,z34,x41,y41,z41)
```

do 40 i=1,npan !!!! PANNELLO P

```
drelpq=sqrt((xn(i)-xn(k))**2+(yn(i)-yn(k))**2+(zn(i)-zn(k))**2)
$ / dilato
```

```
=====
```

```
if (drelpq.ge.diana) then
```

```
=====
```

-- x,y,z ---

```
call splyn(x12,y12,z12,x23,y23,z23,
$ x13,y13,z13,x34,y34,z34,
$ x41,y41,z41,xn(i),yn(i),zn(i),w123,w341,fi,u,v,w)
```

```
uu = - u
vv = - v
ww = - w
```

-- x,y,-z ---

```
call splyn(x12,y12,-(z12+2.*hmax),x23,y23,-(z23+2.*hmax),
$ x13,y13,-(z13+2.*hmax),x34,y34,-(z34+2.*hmax),
$ x41,y41,-(z41+2.*hmax),xn(i),yn(i),zn(i),w123,w341,fi,u,v,w)
```

```
uu = uu - u
vv = vv - v
ww = ww - w
```

```
=====
```

```
else
```

```
=====
```

```

=====
if(i.eq.k)then
  iikk=1
else
  iikk=0
end if

-- x,y,z ---

call hemiqua(xn(k),yn(k),zn(k),xn(i),yn(i),zn(i),
$  x1(k),x2(k),x3(k),x4(k),xh(k),yh(k),zh(k),
$  y1(k),y2(k),y3(k),y4(k),z1(k),z2(k),z3(k),z4(k),
$  cosxn(k),cosyn(k),coszn(k),fi,u,v,w,pig,iikk,hemips)

uu = - u
vv = - v
ww = - w

-- x,y,-z ---

iikk=0
call hemiqua(xn(k),yn(k),-(zn(k)+2.*hmax),xn(i),yn(i),zn(i),
$  x1(k),x2(k),x3(k),x4(k),xh(k),yh(k),-(zh(k)+2.*hmax),
$  y1(k),y2(k),y3(k),y4(k),-(z1(k)+2.*hmax),-(z2(k)+2.*hmax),
$  -(z3(k)+2.*hmax),-(z4(k)+2.*hmax),
$  cosxn(k),cosyn(k),-coszn(k),fi,u,v,w,pig,iikk,hemips)

uu = uu - u
vv = vv - v
ww = ww - w

=====
end if
=====

amat(i,k) = uu*cosxn(i) + vv*cosyn(i) + ww*coszn(i)

40 continue
30 continue
do i = 1,npn
  if(iatto(i).eq.1) then
    do k = 1,npn
      amat(i,k) = 0.0
    end do
    amat(i,i) = 1.0
  end if

```

STUDIO PER LO SVILUPPO DI MODELLI DRODINAMICI RIGUARDANTI GLI
ASPETTI DI INTERAZIONE ONDA-CORRENTE

```
end do
```

```
return  
end
```

```
subroutine caldic(xa,xb,xc,xd,xx,xq,cosxq,xp,  
$      ya,yb,yc,yd,yy,yq,cosyq,yp,  
$      za,zb,zc,zd,zz,zq,coszq,zp,diana,  
$      arpa,vv,vvx,vvy,vvz,npan,nplib,  
$      ini,ifi,kin,kfi,hmax,hemips)
```

Costruzione delle matrici di influenza

```
integer*4 ini,ifi,kin,kfi,npan,nplib  
real*8 diana,hmax,hemips  
real*8 xa(*),xb(*),xc(*),xd(*),xx(*),xq(*),cosxq(*),xp(*),  
$      ya(*),yb(*),yc(*),yd(*),yy(*),yq(*),cosyq(*),yp(*),  
$      za(*),zb(*),zc(*),zd(*),zz(*),zq(*),coszq(*),zp(*),  
$      arpa(*),  
$      vvx(nplib,*),vvy(nplib,*),vvz(nplib,*),vv(npan+nplib,*)
```

```
integer*4 k,i,iikk  
real*8 pig,dilato,drelpq  
real*8 xnt,ynt,znt  
real*8 x12,y12,z12,x23,y23,z23,x13,y13,z13,x34,y34,z34,  
$      x41,y41,z41,w123,w341,fi,u,v,w
```

```
pig = 4.0*atan(1.0)  
iikk = 0
```

```
do 100 k=kin,kfi      !!!! PANNELLO SORG.Q : calcolo p. integraz.
```

```
call prima(xa(k),xb(k),xc(k),xd(k),ya(k),yb(k),yc(k),yd(k),  
$      za(k),zb(k),zc(k),zd(k),xx(k),yy(k),zz(k),arpa(k),  
$      w123,w341,dilato,x12,y12,z12,x23,y23,z23,x13,y13,z13,  
$      x34,y34,z34,x41,y41,z41)
```

```
do 200 i=ini,ifi    !!!! PANNELLO P
```

```
xnt=xp(i-npan)
```

```

ynt=yp(i-npan)
znt=zp(i-npan)
drelpq=sqrt((xnt-xq(k))**2+(ynt-yq(k))**2+(znt-zq(k))**2)
$      / dilato
=====
if (drelpq.ge.diana) then
=====

-- x,y,z ---
call splyn(x12,y12,z12,x23,y23,z23,x13,y13,z13,x34,y34,z34,
$      x41,y41,z41,xnt,ynt,znt,w123,w341,fi,u,v,w)
vvx(i-npan,k) = - u
vvy(i-npan,k) = - v
vvz(i-npan,k) = - w
vv(i,k) = + fi

-- x, y,-z ---
call splyn(x12,y12,-(z12+2.*hmax),x23,y23,-(z23+2.*hmax),
$      x13,y13,-(z13+2.*hmax),x34,y34,-(z34+2.*hmax),
$      x41,y41,-(z41+2.*hmax),xnt,ynt,znt,w123,w341,
&      fi,u,v,w)
vvx(i-npan,k) = vvx(i-npan,k) - u
vvy(i-npan,k) = vvy(i-npan,k) - v
vvz(i-npan,k) = vvz(i-npan,k) - w
vv(i,k) = vv(i,k) + fi
=====

else
=====

-- x,y,z ---
call hemiqua
$      (xq(k),yq(k),zq(k),xnt,ynt,znt,
$      xa(k),xb(k),xc(k),xd(k),xx(k),yy(k),zz(k),
$      ya(k),yb(k),yc(k),yd(k),za(k),zb(k),zc(k),zd(k),
$      cosxq(k),cosyq(k),coszq(k),fi,u,v,w,pig,iikk,hemips)
vvx(i-npan,k) = - u
vvy(i-npan,k) = - v
vvz(i-npan,k) = - w
vv(i,k) = + fi

-- x,y,-z ---
call hemiqua
$      (xq(k),yq(k),-(zq(k)+2.*hmax),xnt,ynt,znt,
$      xa(k),xb(k),xc(k),xd(k),xx(k),yy(k),-(zz(k)+2.*hmax),
$      ya(k),yb(k),yc(k),yd(k),

```

STUDIO PER LO SVILUPPO DI MODELLI DRODINAMICI RIGUARDANTI GLI
ASPECTI DI INTERAZIONE ONDA-CORRENTE

```

$ -(za(k)+2.*hmax),-(zb(k)+2.*hmax),
$ -(zc(k)+2.*hmax),-(zd(k)+2.*hmax),
$ cosyq(k),cosyq(k),-coszq(k),fi,u,v,w,pig,iikk,hemips)
call splyn(x12,y12,-(z12+2.*hmax),x23,y23,-(z23+2.*hmax),
$ x13,y13,-(z13+2.*hmax),x34,y34,-(z34+2.*hmax),
$ x41,y41,-(z41+2.*hmax),xnt,ynt,znt,w123,w341,
$ fi,u,v,w)
vvx(i-npan,k) = vvx(i-npan,k) - u
vvy(i-npan,k) = vvy(i-npan,k) - v
vvz(i-npan,k) = vvz(i-npan,k) - w
vv(i,k) = vv(i,k) + fi

```

```
end if
```

```
200 continue
100 continue
```

```
return
end
```

```

subroutine prima(x1,x2,x3,x4,y1,y2,y3,y4,z1,z2,z3,z4,xh,yh,zh,
$ area,w123,w341,dilato,
$ x12,y12,z12,x23,y23,z23,x13,y13,z13,
$ x34,y34,z34,x41,y41,z41)

```

```
PRIMA
```

```

real*8 x1,x2,x3,x4,y1,y2,y3,y4,z1,z2,z3,z4,xh,yh,zh,
$ area,w123,w341,dilato,
$ x12,y12,z12,x23,y23,z23,x13,y13,z13,
$ x34,y34,z34,x41,y41,z41
real*8 dist12,dist23,dist34,dist41,area341,area123,altezza

dist12 = sqrt ( (x1-x2)**2+(y1-y2)**2+(z1-z2)**2 )
dist23 = sqrt ( (x2-x3)**2+(y2-y3)**2+(z2-z3)**2 )
dist34 = sqrt ( (x3-x4)**2+(y3-y4)**2+(z3-z4)**2 )
dist41 = sqrt ( (x4-x1)**2+(y4-y1)**2+(z4-z1)**2 )
dilato = max (dist12,dist23,dist34,dist41)
altezza = sqrt ( (x1-xh)**2+(y1-yh)**2+(z1-zh)**2 )

area341 = dist34 * altezza * 0.5
area123 = area - area341

```

```
w123 = area123 / 3.0
w341 = area341 / 3.0
```

```
x12 = 0.5 * ( x1 + x2 )
y12 = 0.5 * ( y1 + y2 )
z12 = 0.5 * ( z1 + z2 )
x23 = 0.5 * ( x2 + x3 )
y23 = 0.5 * ( y2 + y3 )
z23 = 0.5 * ( z2 + z3 )
x13 = 0.5 * ( x1 + x3 )
y13 = 0.5 * ( y1 + y3 )
z13 = 0.5 * ( z1 + z3 )
x34 = 0.5 * ( x3 + x4 )
y34 = 0.5 * ( y3 + y4 )
z34 = 0.5 * ( z3 + z4 )
x41 = 0.5 * ( x4 + x1 )
y41 = 0.5 * ( y4 + y1 )
z41 = 0.5 * ( z4 + z1 )
```

```
return
end
```

```
subroutine hemiqua
$ (xn,yn,zn,xnt,ynt,znt,xv1,xv2,xv3,xv4,
$ xh,yh,zh,yv1,yv2,yv3,yv4,zv1,zv2,zv3,zv4,coszitax,
$ coszitay,coszitaz,vv,vvx,vvy,vvz,pig,iikk,hemips)
```

```
integer*4 i,ji,iikk
real*8 xn,yn,zn,xnt,ynt,znt,xv1,xv2,xv3,xv4,
$ xh,yh,zh,yv1,yv2,yv3,yv4,zv1,zv2,zv3,zv4,coszitax,
$ coszitay,coszitaz,vv,vvx,vvy,vvz,pig,hemips,
$ x1,x2,x3,x4,y1,y2,y3,y4,xx,yy,zz,
$ deteta,cosetax,cosetay,cosetaz,
$ coscsix,coscsiy,coscsiz,vxloc,vyloc,vzloc,radx,rady

real*8 hsc(4),hss(4),hsdist(4),spicuno(4),spicdue(4),
%      hsq(4),hsj(4),rpic(4),rr(4),arg1(4),arg2(4)
```

```
radx=sqrt((xv3-xv4)**2+(yv3-yv4)**2+(zv3-zv4)**2)
coscsix=(-xv4+xv3)/radx
coscsiy=(-yv4+yv3)/radx
```

STUDIO PER LO SVILUPPO DI MODELLI DRODINAMICI RIGUARDANTI GLI
ASPETTI DI INTERAZIONE ONDA-CORRENTE

```

coscsiz=(-zv4+zv3)/radx
rady=sqrt((xv1-xh)**2+(yv1-yh)**2+(zv1-zh)**2)
cosetax=(xv1-xh)/rady
cosetay=(yv1-yh)/rady
cosetaz=(zv1-zh)/rady

xx=(xnt-xn)*coscsix+(ynt-yn)*coscsiy+(znt-zn)*coscsiz
yy=(xnt-xn)*cosetax+(ynt-yn)*cosetay+(znt-zn)*cosetaz
zz=(xnt-xn)*coszitax+(ynt-yn)*coszitay+(znt-zn)*coszitaz

x1=(xv1-xn)*coscsix+(yv1-yn)*coscsiy+(zv1-zn)*coscsiz
x2=(xv2-xn)*coscsix+(yv2-yn)*coscsiy+(zv2-zn)*coscsiz
x3=(xv3-xn)*coscsix+(yv3-yn)*coscsiy+(zv3-zn)*coscsiz
x4=(xv4-xn)*coscsix+(yv4-yn)*coscsiy+(zv4-zn)*coscsiz
y1=(xv1-xn)*cosetax+(yv1-yn)*cosetay+(zv1-zn)*cosetaz
y2=(xv2-xn)*cosetax+(yv2-yn)*cosetay+(zv2-zn)*cosetaz
y3=(xv3-xn)*cosetax+(yv3-yn)*cosetay+(zv3-zn)*cosetaz
y4=(xv4-xn)*cosetax+(yv4-yn)*cosetay+(zv4-zn)*cosetaz

hsdist(1)=sqrt((x1-x2)**2+(y1-y2)**2)
hsdist(2)=sqrt((x2-x3)**2+(y2-y3)**2)
hsdist(3)=sqrt((x3-x4)**2+(y3-y4)**2)
hsdist(4)=sqrt((x1-x4)**2+(y1-y4)**2)
hsc(1)=(x2-x1)
hsc(2)=(x3-x2)
hsc(3)=(x4-x3)
hsc(4)=(x1-x4)
hss(1)=(y2-y1)
hss(2)=(y3-y2)
hss(3)=(y4-y3)
hss(4)=(y1-y4)
do i = 1,4
  if(hsdist(i).gt.hemips) then
    hsc(i)=hsc(i)/hsdist(i)
    hss(i)=hss(i)/hsdist(i)
  else
    hsc(i)=0.0
    hss(i)=0.0
  end if
end do

spicuno(1)=(x1-xx)*hsc(1)+(y1-yy)*hss(1)
spicdue(1)=(x2-xx)*hsc(1)+(y2-yy)*hss(1)
spicuno(2)=(x2-xx)*hsc(2)+(y2-yy)*hss(2)
spicdue(2)=(x3-xx)*hsc(2)+(y3-yy)*hss(2)
spicuno(3)=(x3-xx)*hsc(3)+(y3-yy)*hss(3)
spicdue(3)=(x4-xx)*hsc(3)+(y4-yy)*hss(3)

```

```

spicuno(4)=(x4-xx)*hsc(4)+(y4-yy)*hss(4)
spicdue(4)=(x1-xx)*hsc(4)+(y1-yy)*hss(4)

rr(1)=(xx-x1)*hss(1)-(yy-y1)*hsc(1)
rr(2)=(xx-x2)*hss(2)-(yy-y2)*hsc(2)
rr(3)=(xx-x3)*hss(3)-(yy-y3)*hsc(3)
rr(4)=(xx-x4)*hss(4)-(yy-y4)*hsc(4)
-----
deteta=2.0*pig
do ii=1,4
  if(rr(ii).lt.0.0) then
    deteta=0.0
    go to 9191
  end if
end do
9191 continue
-----
rpic(1)=sqrt((xx-x1)**2+(yy-y1)**2+zz**2)
rpic(2)=sqrt((xx-x2)**2+(yy-y2)**2+zz**2)
rpic(3)=sqrt((xx-x3)**2+(yy-y3)**2+zz**2)
rpic(4)=sqrt((xx-x4)**2+(yy-y4)**2+zz**2)

hsq(1)=log((rpic(1)+rpic(2)+hsdist(1))/(rpic(1) +
$           rpic(2)-hsdist(1)))
hsq(2)=log((rpic(2)+rpic(3)+hsdist(2))/(rpic(2) +
$           rpic(3)-hsdist(2)))
hsq(3)=log((rpic(3)+rpic(4)+hsdist(3))/(rpic(3) +
$           rpic(4)-hsdist(3)))
hsq(4)=log((rpic(4)+rpic(1)+hsdist(4))/(rpic(4) +
$           rpic(1)-hsdist(4)))

arg1(1)=rr(1)*abs(zz)*(rpic(1)*spicdue(1)-rpic(2)*spicuno(1))
arg2(1)=rpic(1)*rpic(2)*(rr(1)**2)+(zz**2)*spicuno(1)*spicdue(1)
arg1(2)=rr(2)*abs(zz)*(rpic(2)*spicdue(2)-rpic(3)*spicuno(2))
arg2(2)=rpic(2)*rpic(3)*(rr(2)**2)+(zz**2)*spicuno(2)*spicdue(2)
arg1(3)=rr(3)*abs(zz)*(rpic(3)*spicdue(3)-rpic(4)*spicuno(3))
arg2(3)=rpic(3)*rpic(4)*(rr(3)**2)+(zz**2)*spicuno(3)*spicdue(3)
arg1(4)=rr(4)*abs(zz)*(rpic(4)*spicdue(4)-rpic(1)*spicuno(4))
arg2(4)=rpic(4)*rpic(1)*(rr(4)**2)+(zz**2)*spicuno(4)*spicdue(4)

do i = 1,4
  if(abs(arg2(i)).gt.hemips) then
    hsj(i)=atan2(arg1(i),arg2(i))
  else
    hsj(i)=0.0
  end if
end do

```

STUDIO PER LO SVILUPPO DI MODELLI DRODINAMICI RIGUARDANTI GLI
ASPETTI DI INTERAZIONE ONDA-CORRENTE

```

vxloc=-(hss(1)*hsq(1)+hss(2)*hsq(2)+hss(3)*hsq(3)+hss(4)*hsq(4))
vyloc=+(hsc(1)*hsq(1)+hsc(2)*hsq(2)+hsc(3)*hsq(3)+hsc(4)*hsq(4))
vzloc=+(deteta-hsj(1)-hsj(2)-hsj(3)-hsj(4))

```

```

if(iikk.eq.1) zz = hemips
if(zz.gt.0.0) then
  vzloc=vzloc
else
  vzloc=-vzloc
end if

vv = rr(1)*hsq(1)+rr(2)*hsq(2)+rr(3)*hsq(3)+rr(4)*hsq(4) +
$   abs(zz)*(hsj(1)+hsj(2)+hsj(3)+hsj(4)-deteta)
vux = vxloc*coscsix + vyloc*cosetax + vzloc*coszitax
vuy = vxloc*coscsiy + vyloc*cosetay + vzloc*coszitay
vuz = vxloc*coscsiz + vyloc*cosetaz + vzloc*coszitaz

```

```

return
end
```

```

subroutine splyn(x12,y12,z12,x23,y23,z23,x13,y13,z13,x34,y34,
$           z34,x41,y41,z41,xp,yp,zp,w123,w341,f,u,v,w)
```

```

real*8 x12,y12,z12,x23,y23,z23,x13,y13,z13,x34,y34,
$           z34,x41,y41,z41,xp,yp,zp,w123,w341,f,u,v,w
```

```

real*8 xj1,yj1,zj1,xj2,yj2,zj2,xj3,yj3,zj3,a1,a2,a3,
$           den,den1,den2,den3,
$           fpx1,fpx2,fpx3,
$           fpy1,fpy2,fpy3,
$           fpz1,fpz2,fpz3
```

```

xj1 = x23 - xp
yj1 = y23 - yp
zj1 = z23 - zp
xj2 = x12 - xp
yj2 = y12 - yp
zj2 = z12 - zp
xj3 = x13 - xp
yj3 = y13 - yp
zj3 = z13 - zp
```

```

a1 = sqrt ( xj1*xj1 + yj1*yj1 + zj1*zj1 )
a2 = sqrt ( xj2*xj2 + yj2*yj2 + zj2*zj2 )
a3 = sqrt ( xj3*xj3 + yj3*yj3 + zj3*zj3 )
den = 1.0/a1+1.0/a2+1.0/a3
den1 = 1.0/(a1*a1*a1)
den2 = 1.0/(a2*a2*a2)
den3 = 1.0/(a3*a3*a3)

```

```

fpx1 = xj1*den1
fpx2 = xj2*den2
fpx3 = xj3*den3
fpy1 = yj1*den1
fpy2 = yj2*den2
fpy3 = yj3*den3
fpz1 = zj1*den1
fpz2 = zj2*den2
fpz3 = zj3*den3

```

```

f = w123 * den
u = - w123 * (fpx1+fpx2+fpx3)
v = - w123 * (fpy1+fpy2+fpy3)
w = - w123 * (fpz1+fpz2+fpz3)

```

```

xj1 = x41 - xp
yj1 = y41 - yp
zj1 = z41 - zp
xj2 = x34 - xp
yj2 = y34 - yp
zj2 = z34 - zp
xj3 = x13 - xp
yj3 = y13 - yp
zj3 = z13 - zp

```

```

a1 = sqrt ( xj1*xj1 + yj1*yj1 + zj1*zj1 )
a2 = sqrt ( xj2*xj2 + yj2*yj2 + zj2*zj2 )
a3 = sqrt ( xj3*xj3 + yj3*yj3 + zj3*zj3 )
den = 1.0/a1+1.0/a2+1.0/a3
den1 = 1.0/(a1*a1*a1)
den2 = 1.0/(a2*a2*a2)
den3 = 1.0/(a3*a3*a3)

```

```

fpx1 = xj1*den1
fpx2 = xj2*den2
fpx3 = xj3*den3
fpy1 = yj1*den1
fpy2 = yj2*den2
fpy3 = yj3*den3

```

STUDIO PER LO SVILUPPO DI MODELLI DRODINAMICI RIGUARDANTI GLI
ASPETTI DI INTERAZIONE ONDA-CORRENTE

```
fpz1 = zj1*den1
fpz2 = zj2*den2
fpz3 = zj3*den3

f = f + w341 * den
u = u - w341 * (fpz1+fpz2+fpz3)
v = v - w341 * (fpz1+fpz2+fpz3)
w = w - w341 * (fpz1+fpz2+fpz3)
```

```
return
end
```

```
subroutine Wave (npan,ym,zm,phase,
$      nplib,yn,eta0,etaOy,fiOy,fiOz,Am,Wn,Om,hmax,gra,t)
```

```
integer*4 npan,nplib
real*8  yn(*)
real*8  ym(*),zm(*)
real*8  eta0(*),etaOy(*)
real*8  fiOy(*),fiOz(*)
real*8  Am,Wn,Om,hmax,gra,t,phase
integer*4 i
```

```
do i=1,npan
  fiOy(i) = gra*Am*Wn/Om*cosh(Wn*(zm(i)+hmax))/cosh(Wn*hmax)*
$          cos(Wn*ym(i)+Om*t+phase)
  fiOz(i) = gra*Am*Wn/Om*sinh(Wn*(zm(i)+hmax))/cosh(Wn*hmax)*
$          sin(Wn*ym(i)+Om*t+phase)
end do
do i=1,nplib
  eta0(i) = - Am*cos(Wn*yn(i)+Om*t+phase)
  etaOy(i) = Wn*Am*sin(Wn*yn(i)+Om*t+phase)
  fiOy(npan+i) = gra*Wn*Am/Om*cos(Wn*yn(i)+Om*t+phase)
  fiOz(npan+i) = gra*Wn*Am/Om*tanh(Wn*hmax)*
$          sin(Wn*yn(i)+Om*t+phase)
end do
```

```
return
end
```

```
subroutine Wave2 (Am,Wn,Om,gra,hmax,t,y,z,phase,fi,u,v,w)
```

Calcola le componenti "u,v,w" della velocità in un punto "x,y,z"
del campo ondoso di caratteristiche "Am,Wn,Om" al tempo "t".

```
real*8 y,z,fi,u,v,w  
real*8 Am,Wn,Om,gra,hmax,t,phase
```

```
fi = gra*Am/Om*cosh(Wn*(z+hmax))/cosh(Wn*hmax)*  
$ sin(Wn*y+Om*t+phase)  
u = 0.d0  
v = gra*Am*Wn/Om*cosh(Wn*(z+hmax))/cosh(Wn*hmax)*  
$ cos(Wn*y+Om*t+phase)  
w = gra*Am*Wn/Om*sinh(Wn*(z+hmax))/cosh(Wn*hmax)*  
$ sin(Wn*y+Om*t+phase)
```

```
return  
end
```

```
subroutine derita(ntra,nlo,npplib,eta,etax,etary,etasasa,  
$ etasay,r2dx,r2dy,usa,usa)
```

```
integer*4 ntra,nlo,npplib,i,j,k  
real*8 r2dx,r2dy,eta(*),etax(*),etary(*),etasasa(*),etasax(*),  
$ etasay(*),usa(*),vsay(*),zer,uno,due,tre,qua  
zer = 0.d0  
uno = 1.d0  
due = 2.d0  
tre = 3.d0  
qua = 4.d0
```

```
do i = 1,ntra ! bordo sin !  
if(usa(i).lt.zer) then  
    etax(i) = due*(eta(i+ntra)-eta(i))*r2dx  
    etasax(i) = due*(etasasa(i+ntra)-etasasa(i))*r2dx  
else  
    etax(i) = zer  
    etasax(i) = zer  
end if  
end do
```

STUDIO PER LO SVILUPPO DI MODELLI DRODINAMICI RIGUARDANTI GLI
ASPETTI DI INTERAZIONE ONDA-CORRENTE

```

do i = nplib-ntra+1,nplib           ! bordo dx !
if(usa(i).ge.zer) then
  etax(i) = due*(eta(i)-eta(i-ntra))*r2dx
  etasax(i) = due*(etasa(i)-etasa(i-ntra))*r2dx
else
  etax(i) = zer
  etasax(i) = zer
end if
end do
do i = ntra+1,2*ntra               ! sub-bordo sin !
if(usa(i).ge.zer) then
  etax(i) = due*(eta(i)-eta(i-ntra))*r2dx
  etasax(i) = due*(etasa(i)-etasa(i-ntra))*r2dx
else
  etax(i) = (-tre*eta(i)+qua*eta(i+ntra)-eta(i+2*ntra))*r2dx
  etasax(i) = (-tre*etasa(i)+qua*etasa(i+ntra)
$                           -etasa(i+2*ntra))*r2dx
end if
end do
do i = nplib-2*ntra+1,nplib-ntra   ! sub-bordo dx !
if(usa(i).ge.zer) then
  etax(i) = (tre*eta(i)-qua*eta(i-ntra)+eta(i-2*ntra))*r2dx
  etasax(i) = (tre*etasa(i)-qua*etasa(i-ntra)
$                           +etasa(i-2*ntra))*r2dx
else
  etax(i) = due*(eta(i+ntra)-eta(i))*r2dx
  etasax(i) = due*(etasa(i+ntra)-etasa(i))*r2dx
end if
end do
do i = 2*ntra+1,nplib-2*ntra        ! middle !
if(usa(i).ge.zer) then
  etax(i) = (tre*eta(i)-qua*eta(i-ntra)+eta(i-2*ntra))*r2dx
  etasax(i) = (tre*etasa(i)-qua*etasa(i-ntra)
$                           +etasa(i-2*ntra))*r2dx
else
  etax(i) = (-tre*eta(i)+qua*eta(i+ntra)-eta(i+2*ntra))*r2dx
  etasax(i) = (-tre*etasa(i)+qua*etasa(i+ntra)
$                           -etasa(i+2*ntra))*r2dx
end if
end do

do i = 1,nplib-ntra+1,ntra          ! bordo sud !
if(vsa(i).ge.zer) then
  etay(i) = zer
  etasay(i) = zer
else
  etay(i) = due*(eta(i+1)-eta(i))*r2dy

```

```

etasay(i) = due*(etas(i+1)-etas(i))*r2dy
end if
end do
do i = ntra,nplib,ntra           ! bordo nord !
  if(vsa(i).ge.zer) then
    etay(i) = due*(eta(i)-eta(i-1))*r2dy
    etasay(i) = due*(etas(i)-etas(i-1))*r2dy
  else
    etay(i) = zer
    etasay(i) = zer
  end if
end do
do i = 2,nplib-ntra+2,ntra       ! sub-bordo sud !
  if(vsa(i).ge.zer) then
    etay(i) = due*(eta(i)-eta(i-1))*r2dy
    etasay(i) = due*(etas(i)-etas(i-1))*r2dy
  else
    etay(i) = (-tre*eta(i)+qua*eta(i+1)-eta(i+2))*r2dy
    etasay(i) = (-tre*etas(i)+qua*etas(i+1)-etas(i+2))*r2dy
  end if
end do
do i = ntra-1,nplib-1,ntra        ! sub-bordo nord !
  if(vsa(i).ge.zer) then
    etay(i) = (tre*eta(i)-qua*eta(i-1)+eta(i-2))*r2dy
    etasay(i) = (tre*etas(i)-qua*etas(i-1)+etas(i-2))*r2dy
  else
    etay(i) = due*(eta(i+1)-eta(i))*r2dy
    etasay(i) = due*(etas(i+1)-etas(i))*r2dy
  end if
end do
do i = 1,nlo                      ! middle !
  do j = 3,ntra-2
    k = (i-1)*ntra + j
    if(vsa(k).ge.zer) then
      etay(k) = (tre*eta(k)-qua*eta(k-1)+eta(k-2))*r2dy
      etasay(k) = (tre*etas(k)-qua*etas(k-1)+etas(k-2))*r2dy
    else
      etay(k) = (-tre*eta(k)+qua*eta(k+1)-eta(k+2))*r2dy
      etasay(k) = (-tre*etas(k)+qua*etas(k+1)-etas(k+2))*r2dy
    end if
  end do
end do

return
end

```

STUDIO PER LO SVILUPPO DI MODELLI DRODINAMICI RIGUARDANTI GLI
ASPETTI DI INTERAZIONE ONDA-CORRENTE

```
subroutine rkiniz (ikutta,rk)
```

```
c
```

```
c
```

```
c Inizializza il vettore rk delle costanti di integrazione numerica
```

```
c ikutta = ordine schema di integrazione
```

```
c
```

```
integer*4 ikutta
real*8 rk(1:4,1:2)
```

```
Eulero
```

```
if (ikutta .eq. 1) then
```

```
    rk(1,1) = 1.0
```

```
    rk(1,2) = 0.0
```

```
end if
```

```
R-K secondo ordine
```

```
if (ikutta .eq. 2) then
```

```
    rk(1,1) = .50
```

```
    rk(2,1) = .50
```

```
    rk(1,2) = 0.0
```

```
    rk(2,2) = 1.0
```

```
end if
```

```
R-K quarto ordine
```

```
if (ikutta .eq. 4) then
```

```
    rk(1,1) = 1.0 / 6.0
```

```
    rk(2,1) = 1.0 / 3.0
```

```
    rk(3,1) = 1.0 / 3.0
```

```
    rk(4,1) = 1.0 / 6.0
```

```
    rk(1,2) = 0.0
```

```
    rk(2,2) = .50
```

```
    rk(3,2) = .50
```

```
    rk(4,2) = 1.0
```

```
end if
```

```
return
```

```
end
```

```
subroutine rukut1 (nplib,etan,fin,eta,teta,fi,tofi,rk,ik,dt)
```

```
integer*4 nplib,i  
real*8 etan(nplib) ,eta(nplib)  
real*8 fin(nplib) ,fi(nplib)  
real*8 tofi(nplib) ,teta(nplib)
```

```
integer*4 ik  
real*8 dt  
real*8 rk(1:4,1:2)
```

```
do 100 i=1,nplib  
    fin(i) = fi(i) + dt*rk(ik,2) * tofi(i)  
    etan(i) = eta(i) + dt*rk(ik,2) * teta(i)  
    tofi(i) = 0.0  
    teta(i) = 0.0  
100 continue
```

```
return  
end
```

```
subroutine rukut2(npn, nplib, deta, dfi, etan, fin, fix, fiy, fiz,  
$      etax, etay, fiOy, etaOy, usa, vsa, disa,  
$      etasax, etasay, spinu, tofi, teta, gra, rk, ik)
```

```
integer*4 npn, nplib, i, ik  
real*8 gra, deta(*), dfi(*), etan(*), fin(*), fix(*),  
$ fiz(*), fiz(*), etax(*), etay(*), fiOy(*), etaOy(*), tofi(*),  
$ teta(nplib), spinu(nplib), rk(1:4,1:2)  
real*8 usa(*), vsa(*), etasax(*), etasay(*), disa(*)
```

```
do 50 i=1,nplib  
    tofi(i) = - gra*etan(i) - usa(i)*fix(npn+i)  
    $           - vsa(i)*(fiOy(npn+i)+fiz(npn+i))  
    $           - spinu(i)*fin(i) ! careful manca integrale vor !  
    teta(i) = fiz(npn+i) + disa(i) - usa(i)*etax(i)  
    $           - vsa(i)*(etaOy(i)+etay(i))  
    $           - fix(npn+i)*etasax(i)  
    $           - (fiOy(npn+i)+fiz(npn+i))*etasay(i)  
    $           - spinu(i)*etan(i)
```

STUDIO PER LO SVILUPPO DI MODELLI DRODINAMICI RIGUARDANTI GLI
ASPETTI DI INTERAZIONE ONDA-CORRENTE

```
50 continue
```

```
do 100 i=1,nplib
  deta(i) = deta(i) + rk(ik,1) * teta(i)
  dfi(i) = dfi(i) + rk(ik,1) * tofi(i)
100 continue
```

```
return
end
```

```
subroutine rukut3 (nplib,eta,fi,deta,dfi,dt)
```

```
integer*4 nplib
real*8 dt
real*8 eta(nplib),fi(nplib)
real*8 deta(nplib),dfi(nplib)
integer*4 i
```

```
do 100 i=1,nplib
  eta(i) = eta(i) + dt * deta(i)
  fi(i) = fi(i) + dt * dfi(i)
  deta(i) = 0.0
  dfi(i) = 0.0
100 continue
```

```
return
end
```

```
*****
```

```
subroutine dgeco(a,lda,n,ipvt,rcond,z)
integer lda,n,ipvt(1)
double precision a(lda,1),z(1)
double precision rcond
```

dgeco factors a double precision matrix by gaussian elimination
and estimates the condition of the matrix.

if rcond is not needed, dgefa is slightly faster.
to solve $a^*x = b$, follow dgeco by dgesl.
to compute $\text{inverse}(a)^*c$, follow dgeco by dgesl.
to compute determinant(a) , follow dgeco by dgredi.
to compute inverse(a) , follow dgeco by dgredi.

on entry

- a** double precision(lda, n)
the matrix to be factored.
 - lda** integer
the leading dimension of the array **a**.
 - n** integer
the order of the matrix **a**.
- on return
- a** an upper triangular matrix and the multipliers which were used to obtain it.
the factorization can be written $a = l*u$ where l is a product of permutation and unit lower triangular matrices and u is upper triangular.
 - ipvt** integer(n)
an integer vector of pivot indices.
 - rcond** double precision
an estimate of the reciprocal condition of **a**.
for the system $a*x = b$, relative perturbations in **a** and **b** of size epsilon may cause relative perturbations in **x** of size ϵ/rcond .
if **rcond** is so small that the logical expression
 $1.0 + \text{rcond} .eq. 1.0$
is true, then **a** may be singular to working precision. in particular, **rcond** is zero if exact singularity is detected or the estimate underflows.
 - z** double precision(n)
a work vector whose contents are usually unimportant.
if **a** is close to a singular matrix, then **z** is an approximate null vector in the sense that $\text{norm}(a*z) = \text{rcond}*\text{norm}(a)*\text{norm}(z)$.

linpack. this version dated 08/14/78 .
cleve moler, university of new mexico, argonne national lab.

subroutines and functions

linpack dgefa
blas daxpy,ddot,dscal,dasum
fortran dabs,dmax1,dsign
internal variables

STUDIO PER LO SVILUPPO DI MODELLI DRODINAMICI RIGUARDANTI GLI
ASPETTI DI INTERAZIONE ONDA-CORRENTE

```
double precision ddot,ek,t,wk,wkm
double precision anorm,s,dasum,sm,ynorm
integer info,j,k,kb,kp1,l

compute 1-norm of a

anorm = 0.0d0
do 10 j = 1, n
    anorm = dmax1(anorm,dasum(n,a(1,j),1))
10 continue

factor

call dgefa(a,lda,n,ipvt,info)

rcond = 1/(norm(a)*(estimate of norm(inverse(a)))). 
estimate = norm(z)/norm(y) where a*z = y and trans(a)*y = e .
trans(a) is the transpose of a . the components of e are
chosen to cause maximum local growth in the elements of w where
trans(u)*w = e . the vectors are frequently rescaled to avoid
overflow.

solve trans(u)*w = e

ek = 1.0d0
do 20 j = 1, n
    z(j) = 0.0d0
20 continue
do 100 k = 1, n
    if (z(k) .ne. 0.0d0) ek = dsign(ek,-z(k))
    if (dabs(ek-z(k)) .le. dabs(a(k,k))) go to 30
        s = dabs(a(k,k))/dabs(ek-z(k))
        call dscal(n,s,z,1)
        ek = s*ek
30 continue
    wk = ek - z(k)
    wkm = -ek - z(k)
    s = dabs(wk)
    sm = dabs(wkm)
    if (a(k,k) .eq. 0.0d0) go to 40
        wk = wk/a(k,k)
        wkm = wkm/a(k,k)
    go to 50
40 continue
    wk = 1.0d0
```

```

      wkm = 1.0d0
50  continue
      kp1 = k + 1
      if (kp1 .gt. n) go to 90
      do 60 j = kp1, n
          sm = sm + dabs(z(j)+wkm*a(k,j))
          z(j) = z(j) + wk*a(k,j)
          s = s + dabs(z(j))
60  continue
      if (s .ge. sm) go to 80
          t = wkm - wk
          wk = wkm
          do 70 j = kp1, n
              z(j) = z(j) + t*a(k,j)
70  continue
80  continue
90  continue
      z(k) = wk
100 continue
      s = 1.0d0/dasum(n,z,1)
      call dscal(n,s,z,1)

      solve trans(l)*y = w

      do 120 kb = 1, n
          k = n + 1 - kb
          if (k .lt. n) z(k) = z(k) + ddot(n-k,a(k+1,k),1,z(k+1),1)
          if (dabs(z(k)) .le. 1.0d0) go to 110
              s = 1.0d0/dabs(z(k))
              call dscal(n,s,z,1)
110  continue
          l = ipvt(k)
          t = z(l)
          z(l) = z(k)
          z(k) = t
120 continue
      s = 1.0d0/dasum(n,z,1)
      call dscal(n,s,z,1)

      ynorm = 1.0d0

      solve l*v = y

      do 140 k = 1, n
          l = ipvt(k)
          t = z(l)
          z(l) = z(k)

```

STUDIO PER LO SVILUPPO DI MODELLI DRODINAMICI RIGUARDANTI GLI
ASPETTI DI INTERAZIONE ONDA-CORRENTE

```
z(k) = t
if (k .lt. n) call daxpy(n-k,t,a(k+1,k),1,z(k+1),1)
if (dabs(z(k)) .le. 1.0d0) go to 130
  s = 1.0d0/dabs(z(k))
  call dscal(n,s,z,1)
  ynorm = s*ynorm
130  continue
140  continue
  s = 1.0d0/dasum(n,z,1)
  call dscal(n,s,z,1)
  ynorm = s*ynorm

solve u*z = v

do 160 kb = 1, n
  k = n + 1 - kb
  if (dabs(z(k)) .le. dabs(a(k,k))) go to 150
    s = dabs(a(k,k))/dabs(z(k))
    call dscal(n,s,z,1)
    ynorm = s*ynorm
150  continue
  if (a(k,k) .ne. 0.0d0) z(k) = z(k)/a(k,k)
  if (a(k,k) .eq. 0.0d0) z(k) = 1.0d0
  t = -z(k)
  call daxpy(k-1,t,a(1,k),1,z(1),1)
160  continue
make znorm = 1.0
  s = 1.0d0/dasum(n,z,1)
  call dscal(n,s,z,1)
  ynorm = s*ynorm

  if (anorm .ne. 0.0d0) rcond = ynorm/anorm
  if (anorm .eq. 0.0d0) rcond = 0.0d0
  return
end
*****
subroutine dgesl(a,lda,n,ipvt,b,job)
integer lda,n,ipvt(1),job
double precision a(lda,1),b(1)

dgesl solves the double precision system
a * x = b or trans(a) * x = b
using the factors computed by dgeco or dgfa.

on entry

  a    double precision(lda, n)
```

the output from dgeco or dgefa.

lда integer
 the leading dimension of the array a .

n integer
 the order of the matrix a .

ipvt integer(n)
 the pivot vector from dgeco or dgefa.

b double precision(n)
 the right hand side vector.

job integer
 = 0 to solve $a^*x = b$,
 = nonzero to solve $\text{trans}(a)^*x = b$ where
 $\text{trans}(a)$ is the transpose.

on return

b the solution vector x .

error condition

a division by zero will occur if the input factor contains a zero on the diagonal. technically this indicates singularity but it is often caused by improper arguments or improper setting of lда . it will not occur if the subroutines are called correctly and if dgeco has set rcond .gt. 0.0 or dgfa has set info .eq. 0 .

to compute $\text{inverse}(a) * c$ where c is a matrix with p columns
call dgeco(a ,lда,n,ipvt,rcond,z)
if (rcond is too small) go to ...
do 10 j = 1, p
 call dgesl(a ,lда,n,ipvt,c(1,j),0)
10 continue

linpack. this version dated 08/14/78 .
cleve moler, university of new mexico, argonne national lab.

subroutines and functions
blas daxpy,ddot

internal variables

STUDIO PER LO SVILUPPO DI MODELLI DRODINAMICI RIGUARDANTI GLI
ASPETTI DI INTERAZIONE ONDA-CORRENTE

```
double precision ddot,t
integer k,kb,l,nm1

nm1 = n - 1
if (job .ne. 0) go to 50

job = 0 , solve a * x = b
first solve l*y = b

if (nm1 .lt. 1) go to 30
do 20 k = 1, nm1
    l = ipvt(k)
    t = b(l)
    if (l .eq. k) go to 10
        b(l) = b(k)
        b(k) = t
10   continue
    call daxpy(n-k,t,a(k+1,k),1,b(k+1),1)
20   continue
30   continue

now solve u*x = y

do 40 kb = 1, n
    k = n + 1 - kb
    b(k) = b(k)/a(k,k)
    t = -b(k)
    call daxpy(k-1,t,a(1,k),1,b(1),1)
40   continue
    go to 100
50 continue

job = nonzero, solve trans(a) * x = b
first solve trans(u)*y = b

do 60 k = 1, n
    t = ddot(k-1,a(1,k),1,b(1),1)
    b(k) = (b(k) - t)/a(k,k)
60   continue

now solve trans(l)*x = y

if (nm1 .lt. 1) go to 90
do 80 kb = 1, nm1
    k = n - kb
    b(k) = b(k) + ddot(n-k,a(k+1,k),1,b(k+1),1)
```

```

l = ipvt(k)
if (l .eq. k) go to 70
    t = b(l)
    b(l) = b(k)
    b(k) = t
70   continue
80   continue
90   continue
100 continue
      return
      end
*****
subroutine dgefa(a,lda,n,ipvt,info)
integer lda,n,ipvt(1),info
double precision a(lda,1)

```

dgefa factors a double precision matrix by gaussian elimination.

dgefa is usually called by dgeco, but it can be called directly with a saving in time if rcond is not needed.
 $(\text{time for dgeco}) = (1 + 9/n) * (\text{time for dgefa})$.

on entry

a double precision(lda, n)
the matrix to be factored.

lda integer
the leading dimension of the array a .

n integer
the order of the matrix a .

on return

a an upper triangular matrix and the multipliers
which were used to obtain it.
the factorization can be written $a = l*u$ where
l is a product of permutation and unit lower
triangular matrices and u is upper triangular.

ipvt integer(n)
an integer vector of pivot indices.

info integer
= 0 normal value.
= k if $u(k,k) .eq. 0.0$. this is not an error
condition for this subroutine, but it does

STUDIO PER LO SVILUPPO DI MODELLI DRODINAMICI RIGUARDANTI GLI
ASPETTI DI INTERAZIONE ONDA-CORRENTE

indicate that dgesl or dgredi will divide by zero
if called. use rcond in dgeco for a reliable
indication of singularity.

linpack. this version dated 08/14/78 .
cleve moler, university of new mexico, argonne national lab.
subroutines and functions

blas daxpy,dscal,idamax

internal variables

double precision t
integer idamax,j,k,kp1,l,nm1

gaussian elimination with partial pivoting

```
info = 0  
nm1 = n - 1  
if (nm1 .lt. 1) go to 70  
do 60 k = 1, nm1  
    kp1 = k + 1
```

find l = pivot index

```
l = idamax(n-k+1,a(k,k),1) + k - 1  
ipvt(k) = l
```

zero pivot implies this column already triangularized
if (a(l,k) .eq. 0.0d0) go to 40

interchange if necessary

```
if (l .eq. k) go to 10  
    t = a(l,k)  
    a(l,k) = a(k,k)  
    a(k,k) = t  
10    continue
```

compute multipliers

```
t = -1.0d0/a(k,k)  
call dscal(n-k,t,a(k+1,k),1)
```

row elimination with column indexing

```

do 30 j = kp1, n
  t = a(l,j)
  if (l .eq. k) go to 20
    a(l,j) = a(k,j)
    a(k,j) = t
20   continue
    call daxpy(n-k,t,a(k+1,k),1,a(k+1,j),1)
30   continue
  go to 50
40   continue
  info = k
50   continue
60 continue
70 continue
  ipvt(n) = n
  if (a(n,n) .eq. 0.0d0) info = n
  return
end
*****
subroutine dscal(n,da,dx,incx)

scales a vector by a constant.
uses unrolled loops for increment equal to one.
jack dongarra, linpack, 3/11/78.
modified 3/93 to return if incx .le. 0.
modified 12/3/93, array(1) declarations changed to array(*)

double precision da,dx(*)
integer i,incx,m,mp1,n,nincx

if( n.le.0 .or. incx.le.0 )return
if(incx.eq.1)go to 20

  code for increment not equal to 1
  nincx = n*incx
  do 10 i = 1,nincx,incx
    dx(i) = da*dx(i)
10 continue
  return

  code for increment equal to 1

  clean-up loop

20 m = mod(n,5)
  if( m .eq. 0 ) go to 40

```

STUDIO PER LO SVILUPPO DI MODELLI DRODINAMICI RIGUARDANTI GLI
ASPETTI DI INTERAZIONE ONDA-CORRENTE

```
do 30 i = 1,m
  dx(i) = da*dx(i)
30 continue
  if( n .lt. 5 ) return
40 mp1 = m + 1
  do 50 i = mp1,n,5
    dx(i) = da*dx(i)
    dx(i + 1) = da*dx(i + 1)
    dx(i + 2) = da*dx(i + 2)
    dx(i + 3) = da*dx(i + 3)
    dx(i + 4) = da*dx(i + 4)
50 continue
  return
end
*****
subroutine daxpy(n,da,dx,incx,dy,incy)
constant times a vector plus a vector.
uses unrolled loops for increments equal to one.
jack dongarra, linpack, 3/11/78.
modified 12/3/93, array(1) declarations changed to array(*)  
  

double precision dx(*),dy(*),da
integer i,incx,incy,ix,iy,m,mp1,n  
  

if(n.le.0)return
if (da .eq. 0.0d0) return
if(incx.eq.1.and.incy.eq.1)go to 20  
  

  code for unequal increments or equal increments
  not equal to 1  
  

  ix = 1
  iy = 1
  if(incx.lt.0)ix = (-n+1)*incx + 1
  if(incy.lt.0)iy = (-n+1)*incy + 1
  do 10 i = 1,n
    dy(iy) = dy(iy) + da*dx(ix)
    ix = ix + incx
    iy = iy + incy
10 continue
  return  
  

  code for both increments equal to 1  
  

  clean-up loop
```

```

20 m = mod(n,4)
  if( m .eq. 0 ) go to 40
  do 30 i = 1,m
    dy(i) = dy(i) + da*dx(i)
  30 continue
  if( n .lt. 4 ) return
40 mp1 = m + 1
  do 50 i = mp1,n,4
    dy(i) = dy(i) + da*dx(i)
    dy(i + 1) = dy(i + 1) + da*dx(i + 1)
    dy(i + 2) = dy(i + 2) + da*dx(i + 2)
    dy(i + 3) = dy(i + 3) + da*dx(i + 3)
  50 continue
  return
end
*****
double precision function dasum(n,dx,incx)

takes the sum of the absolute values.
jack dongarra, linpack, 3/11/78.
modified 3/93 to return if incx .le. 0.
modified 12/3/93, array(1) declarations changed to array(*)

double precision dx(*),dtemp
integer i,incx,m,mp1,n,nincx

dasum = 0.0d0
dtemp = 0.0d0
if( n.le.0 .or. incx.le.0 )return
if(incx.eq.1)go to 20

code for increment not equal to 1

nincx = n*incx
do 10 i = 1,nincx,incx
  dtemp = dtemp + dabs(dx(i))
10 continue
dasum = dtemp
return

code for increment equal to 1

clean-up loop

20 m = mod(n,6)

```

STUDIO PER LO SVILUPPO DI MODELLI DRODINAMICI RIGUARDANTI GLI
ASPETTI DI INTERAZIONE ONDA-CORRENTE

```
if( m .eq. 0 ) go to 40
do 30 i = 1,m
    dtemp = dtemp + dabs(dx(i))
30 continue
if( n .lt. 6 ) go to 60
40 mp1 = m + 1
    do 50 i = mp1,n,6
        dtemp = dtemp + dabs(dx(i)) + dabs(dx(i + 1)) + dabs(dx(i + 2))
        * + dabs(dx(i + 3)) + dabs(dx(i + 4)) + dabs(dx(i + 5))
50 continue
60 dasum = dtemp
return
end
*****
double precision function ddot(n,dx,incx,dy,incy)
forms the dot product of two vectors.
uses unrolled loops for increments equal to one.
jack dongarra, linpack, 3/11/78.
modified 12/3/93, array(1) declarations changed to array(*)

double precision dx(*),dy(*),dtemp
integer i,incx,incy,ix,iy,m,mp1,n

ddot = 0.0d0
dtemp = 0.0d0
if(n.le.0) return
if(incx.eq.1.and.incy.eq.1) go to 20

code for unequal increments or equal increments
not equal to 1

ix = 1
iy = 1
if(incx.lt.0) ix = (-n+1)*incx + 1
if(incy.lt.0) iy = (-n+1)*incy + 1
do 10 i = 1,n
    dtemp = dtemp + dx(ix)*dy(iy)
    ix = ix + incx
    iy = iy + incy
10 continue
ddot = dtemp
return

code for both increments equal to 1
```

clean-up loop

```
20 m = mod(n,5)
if( m .eq. 0 ) go to 40
do 30 i = 1,m
    dtemp = dtemp + dx(i)*dy(i)
30 continue
if( n .lt. 5 ) go to 60
40 mp1 = m + 1
do 50 i = mp1,n,5
    dtemp = dtemp + dx(i)*dy(i) + dx(i + 1)*dy(i + 1) +
*   dx(i + 2)*dy(i + 2) + dx(i + 3)*dy(i + 3) + dx(i + 4)*dy(i + 4)
50 continue
60 ddot = dtemp
return
end
*****
```

integer function idamax(n,dx,incx)

finds the index of element having max. absolute value.
jack dongarra, linpack, 3/11/78.
modified 3/93 to return if incx .le. 0.
modified 12/3/93, array(1) declarations changed to array(*)

double precision dx(*),dmax
integer i,incx,ix,n

```
idamax = 0
if( n.lt.1 .or. incx.le.0 ) return
idamax = 1
if(n.eq.1) return
if(incx.eq.1) go to 20
```

code for increment not equal to 1

```
ix = 1
dmax = dabs(dx(1))
ix = ix + incx
do 10 i = 2,n
    if(dabs(dx(ix)).le.dmax) go to 5
    idamax = i
    dmax = dabs(dx(ix))
5   ix = ix + incx
10 continue
return
```

code for increment equal to 1

STUDIO PER LO SVILUPPO DI MODELLI DRODINAMICI RIGUARDANTI GLI
ASPETTI DI INTERAZIONE ONDA-CORRENTE

```
20 dmax = dabs(dx(1))
do 30 i = 2,n
  if(dabs(dx(i)).le.dmax) go to 30
  idamax = i
  dmax = dabs(dx(i))
30 continue
return
end
*****
subroutine etano(pres,preplo,etaO,mx,my,dx,dy,noradi)
integer mx,mx1,mx2,my,my1,my2,i,j,noradi
real*8 pres(mx,my),preplo(mx,my),dx(mx),dy(my)
real*8 etaO,dist

mx1 = mx-1
mx2 = mx-2
my1 = my-1
my2 = my-2

preplo(1,1) = pres(1,1)
preplo(mx,1) = pres(mx1,1)
preplo(1,my) = etaO*float(noradi)+float(1-noradi)*pres(1,my1)
preplo(mx,my) = etaO*float(noradi)+float(1-noradi)*pres(mx1,my1)
do i = 2,mx1
  dist = dx(i)+dx(i-1)
  preplo(i,1) = (pres(i,1)*dx(i-1)+pres(i-1,1)*dx(i))/dist
  preplo(i,my) = float(noradi)*etaO + float(1-noradi)*
$           (pres(i,my1)*dx(i-1)+pres(i-1,my1)*dx(i))/dist
end do
do j = 2,my1
  dist = dy(j)+dy(j-1)
  preplo(1,j) = (pres(1,j)*dy(j-1)+pres(1,j-1)*dy(j))/dist
  preplo(mx,j) = (pres(mx1,j)*dy(j-1)+pres(mx1,j-1)*dy(j))/dist
end do

do j = 2,my1
  do i = 2,mx1
    dist = (dx(i)+dx(i-1))*(dy(j)+dy(j-1))
    preplo(i,j) = ( pres(i,j)*dx(i-1)*dy(j-1)
$           +pres(i-1,j)*dx(i)*dy(j-1)
$           +pres(i,j-1)*dx(i-1)*dy(j)
$           +pres(i-1,j-1)*dx(i)*dy(j) )/dist
  end do
end do

return
```

```

end
*****
subroutine capre(pres,preplo,prof,mx,my,dx,dy)
integer mx,mx1,mx2,my,my1,my2,i,j
real*8 pres(mx,my),preplo(mx,my),prof(mx,my),dx(mx),dy(my)
real*8 dist

mx1 = mx-1
mx2 = mx-2
my1 = my-1
my2 = my-2

preplo(1,1) = pres(1,1)/prof(1,1)
preplo(mx,1) = pres(mx1,1)/prof(mx1,1)
preplo(1,my) = pres(1,my1)/prof(1,my1)
preplo(mx,my) = pres(mx1,my1)/prof(mx1,my1)
do i = 2,mx1
    dist = dx(i)+dx(i-1)
    preplo(i,1) = (pres(i,1)/prof(i,1)*dx(i-1) +
$           pres(i-1,1)/prof(i-1,1)*dx(i))/dist
    preplo(i,my) = (pres(i,my1)/prof(i,my1)*dx(i-1) +
$           pres(i-1,my1)/prof(i-1,my1)*dx(i))/dist
end do
do j = 2,my1
    dist = dy(j)+dy(j-1)
    preplo(1,j) = (pres(1,j)/prof(1,j)*dy(j-1) +
$           pres(1,j-1)/prof(1,j-1)*dy(j))/dist
    preplo(mx,j) = (pres(mx1,j)/prof(mx1,j)*dy(j-1) +
$           pres(mx1,j-1)/prof(mx1,j-1)*dy(j))/dist
end do

do j = 2,my1
    do i = 2,mx1
        dist = (dx(i)+dx(i-1))*(dy(j)+dy(j-1))
        preplo(i,j) = (pres(i,j)/prof(i,j)*dx(i-1)*dy(j-1) +
$           +pres(i-1,j)/prof(i-1,j)*dx(i)*dy(j-1) +
$           +pres(i,j-1)/prof(i,j-1)*dx(i-1)*dy(j) +
$           +pres(i-1,j-1)/prof(i-1,j-1)*dx(i)*dy(j))/dist
    end do
end do

return
end
*****

```

STUDIO PER LO SVILUPPO DI MODELLI DRODINAMICI RIGUARDANTI GLI
ASPECTI DI INTERAZIONE ONDA-CORRENTE

```

subroutine casiplo(siplo,u,v,mx,mx1,my,my1,dx,dy)
integer mx,my,mx1,my1,i,j
real*8 u(mx,my),v(mx,my),siplo(mx,my),dx(mx),dy(my),
$     zer,uqt,umz,uno,due,tre,qua

zer = 0.0d0
uqt = 0.25d0
umz = 0.5d0
uno = 1.0d0
due = 2.0d0
tre = 3.0d0
qua = 4.0d0

i = 1           ! ang. inf. sn. !
j = 1
siplo(i,j) =
$   ((-tre*u(i,j)+qua*u(i+1,j)-u(i+2,j))/(due*dx(i)))**2
$   + ((-tre*v(i,j)+qua*v(i,j+1)-v(i,j+2))/(due*dy(j)))**2
$   + umz*( (-tre*u(i,j)+qua*u(i,j+1)-u(i,j+2))/(due*dy(j))+
$           (-tre*v(i,j)+qua*v(i+1,j)-v(i+2,j))/(due*dx(i)))
$   )**2
siplo(i,j) = sqrt(siplo(i,j))

i = mx          ! ang. inf. dx. !
j = 1
siplo(i,j) =
$   ((tre*u(i,j)-qua*u(i-1,j)+u(i-2,j))/(due*dx(i-1)))**2
$   + ((-tre*v(i,j)+qua*v(i,j+1)-v(i,j+2))/(due*dy(j)))**2
$   + umz*( (-tre*u(i,j)+qua*u(i,j+1)-u(i,j+2))/(due*dy(j))+
$           (tre*v(i,j)-qua*v(i-1,j)+v(i-2,j))/(due*dx(i-1)))
$   )**2
siplo(i,j) = sqrt(siplo(i,j))

j = 1           ! b. inf. !
do i = 2,mx1
  siplo(i,j) =
$   ((dx(i-1)**2*u(i+1,j)+(dx(i)**2-dx(i-1)**2)*u(i,j)
$   -dx(i)**2*u(i-1,j))/(
$   (dx(i-1)*dx(i)*(dx(i-1)+dx(i))))**2 +
$   ((-tre*v(i,j)+qua*v(i,j+1)-v(i,j+2))/(due*dy(j)))**2
$   + umz*( (-tre*u(i,j)+qua*u(i,j+1)-u(i,j+2))/(due*dy(j))+
$           (dx(i-1)**2*v(i+1,j)+(dx(i)**2-dx(i-1)**2)*v(i,j)
$           -dx(i)**2*v(i-1,j))/(
$           (dx(i-1)*dx(i)*(dx(i-1)+dx(i))))**2
$   )**2

```


STUDIO PER LO SVILUPPO DI MODELLI DRODINAMICI RIGUARDANTI GLI
ASPETTI DI INTERAZIONE ONDA-CORRENTE

```

siplo(i,j) =
$   ((dx(i-1)**2*u(i+1,j)+(dx(i)**2-dx(i-1)**2)*u(i,j)
$   -dx(i)**2*u(i-1,j))/(
$   (dx(i-1)*dx(i)*(dx(i-1)+dx(i))))**2 +
$   ((tre*v(i,j)-qua*v(i,j-1)+v(i,j-2))/(due*dy(j-1)))**2 +
$ + umz*( (tre*u(i,j)-qua*u(i,j-1)+u(i,j-2))/(due*dy(j-1))+
$   (dx(i-1)**2*v(i+1,j)+(dx(i)**2-dx(i-1)**2)*v(i,j)
$   -dx(i)**2*v(i-1,j))/(
$   (dx(i-1)*dx(i)*(dx(i-1)+dx(i))))
$   )**2
siplo(i,j) = sqrt(siplo(i,j))
end do

```

```

i = 1                                ! b. sn. !
do j = 2,my1
siplo(i,j) =
$   ((-tre*u(i,j)+qua*u(i+1,j)-u(i+2,j))/(due*dx(i)))**2
$   + ((dy(j-1)**2*v(i,j+1)+(dy(j)**2-dy(j-1)**2)*v(i,j)
$   -dy(j)**2*v(i,j-1))/(
$   (dy(j-1)*dy(j)*(dy(j-1)+dy(j))))**2 +
$ + umz*( 
$   (dy(j-1)**2*u(i,j+1)+(dy(j)**2-dy(j-1)**2)*u(i,j)
$   -dy(j)**2*u(i,j-1))/(
$   (dy(j-1)*dy(j)*(dy(j-1)+dy(j)))) +
$   (-tre*v(i,j)+qua*v(i+1,j)-v(i+2,j))/(due*dx(i))
$   )**2
siplo(i,j) = sqrt(siplo(i,j))
end do

```

```

i = mx                                ! b. dx. !
do j = 2,my1
siplo(i,j) =
$   ((tre*u(i,j)-qua*u(i-1,j)+u(i-2,j))/(due*dx(i-1)))**2
$   + ((dy(j-1)**2*v(i,j+1)+(dy(j)**2-dy(j-1)**2)*v(i,j)
$   -dy(j)**2*v(i,j-1))/(
$   (dy(j-1)*dy(j)*(dy(j-1)+dy(j))))**2 +
$ + umz*( 
$   (dy(j-1)**2*u(i,j+1)+(dy(j)**2-dy(j-1)**2)*u(i,j)
$   -dy(j)**2*u(i,j-1))/(
$   (dy(j-1)*dy(j)*(dy(j-1)+dy(j))) +
$   (tre*v(i,j)-qua*v(i-1,j)+v(i-2,j))/(due*dx(i-1))
$   )**2
siplo(i,j) = sqrt(siplo(i,j))
end do

```

```

return
end
*****
subroutine unoli(Hu,u,v,dx,dy,prof,proplo,smart,mx,mx1,mx2,my,
$      my1,my2,istre_w,istre_e,jstre,ider_w,ider_e,ider_n)
integer mx,mx1,mx2,my,my1,my2,istre_w,istre_e,jstre,ider,
$ ider_w,ider_e,ider_n,i,j,k
real*8 u(mx,0:my),v(0:mx,my),Hu(2,mx,my),prof(mx,my),smart,
$ proplo(mx,my),dx(*),dy(*),hij,hjp,hjm,hjm,hip,him,up,um,vp,vm,
$ zer,utt,uqt,umz,uno,due,tre,xxx,den,tichi,api,ame,u_p,u_m

zer = 0.0d0
utt = 0.125d0
uqt = 0.25d0
umz = 0.5d0
uno = 1.0d0
due = 2.0d0
tre = 3.0d0
ider = ider_w*ider_e*ider_n

do k = 1,ider           ! if(ider.eq.1) tutte centrate !
  do j = 1,my1
    do i = 2,mx1
      include'uce.f'
    end do
  end do
end do
do k = 1,(1-ider)       ! if(ider.eq.0) centrate in gruni !
  do j = 1,my1-jstre
    do i = istre_w+2,mx1-istre_e
      include'uce.f'
      include'usma.f'
    end do
  end do
end do

do k = 1,(1-ider_w)     ! if(ider_w.eq.0) up I zona stre west !
  do j = 1,my1-jstre
    do i = 2,istre_w+1
      include'uplu.f'
    end do
  end do
end do
do k = 1,ider_w         ! if(ider_w.eq.1) centrate zona stre west !
  do j = 1,my1-jstre
    i = 2

```

STUDIO PER LO SVILUPPO DI MODELLI DRODINAMICI RIGUARDANTI GLI
ASPETTI DI INTERAZIONE ONDA-CORRENTE

```
include'uplu.f'
do i = 2,istre_w+1
  include'uce.f'
  end do
end do
end do

do k = 1,(1-ider_e)      ! if(ider_e.eq.0) up l zona stre est !
  do j = 1,my1-jstre
    do i = mx-istre_e,mx1
      include'uplu.f'
      end do
    end do
  end do
do k = 1,ider_e      ! if(ider_e.eq.1) centrate zona stre est !
  do j = 1,my1-jstre
    do i = mx-istre_e,mx1
      include'uce.f'
      end do
    i = mx1
    include'uplu.f'
  end do
end do

do k = 1,(1-ider_n)      ! if(ider_n.eq.0) up l zona stre nord !
  do j = my-jstre,my1
    do i = 2,mx1
      include'uplu.f'
      end do
    end do
  end do
do k = 1,ider_n      ! if(ider_n.eq.1) centrate zona stre nord !
  do j = my-jstre,my1
    do i = 2,mx1
      include'uce.f'
      end do
    end do
  end do

return
end
*****
subroutine vnoli(Hv,u,v,dx,dy,prof,proplo,smart,mx,mx1,mx2,my,
$      my1,my2,istre_w,istre_e,jstre,ider_w,ider_e,ider_n)
integer mx,mx1,mx2,my,my1,my2,istre_w,istre_e,jstre,ider,
$ ider_w,ider_e,ider_n,i,j,k
```

```

real*8 u(mx,0:my),v(0:mx,my),Hv(2,mx,my),prof(mx,my),smart,
$ proplo(mx,my),dx(*),dy(*),hij,hjp,hjm,him,up,um,vp,vm,
$ zer,utt,uqt,umz,uno,due,tre,yyy,den,tichi,api,ame,v_p,v_m

c
zer = 0.0d0
utt = 0.125d0
uqt = 0.25d0
umz = 0.5d0
uno = 1.0d0
due = 2.0d0
tre = 3.0d0
ider = ider_w*ider_e*ider_n

do k = 1,ider           ! if(ider.eq.1) tutte centrate !
  do j = 2,my1
    do i = 1,mx1
      include'vce.f'
    end do
    end do
  end do
  do k = 1,(1-ider)     ! if(ider.eq.0) centrate in zona gruni !
    do j = 2,my1-jstre
      do i = istre_w+1,mx1-istre_e
        include'vce.f'
        include'vsma.f'
      end do
    end do
  end do

  do k = 1,(1-ider_w)   ! if(ider_w.eq.0) up l zona stre west !
    do j = 2,my1-jstre
      do i = 1,istre_w
        include'uplv.f'
      end do
    end do
  end do
  do k = 1,ider_w       ! if(ider_w.eq.1) centrate zona stre west !
    do j = 2,my1-jstre
      i = 1
      include'uplv.f'
      do i = 1,istre_w
        include'vce.f'
      end do
    end do
  end do
end do

```

STUDIO PER LO SVILUPPO DI MODELLI DRODINAMICI RIGUARDANTI GLI
ASPETTI DI INTERAZIONE ONDA-CORRENTE

```

do k = 1,(1-ider_e)      ! if(ider_e.eq.0) up I zona stre est !
  do j = 2,my1-jstre
    do i = mx-istre_e,mx1
      include'uplv.f'
    end do
  end do
end do

do k = 1,ider_e      ! if(ider_e.eq.1) centrate zona stre est !
  do j = 2,my1-jstre
    do i = mx-istre_e,mx1
      include'vec.f'
    end do
    i = mx1
    include'uplv.f'
  end do
end do

do k = 1,(1-ider_n)      ! if(ider_n.eq.0) up I zona stre nord !
  do j = my-jstre,my1
    do i = 1,mx1
      include'uplv.f'
    end do
  end do
end do

do k = 1,ider_n      ! if(ider_n.eq.1) centrate zona stre nord !
  do j = my-jstre,my1
    do i = 1,mx1
      include'vec.f'
    end do
  end do
end do

return
end
*****
subroutine vorti(vor,u,v,proplo,dx,dy,zer,uqt,umz,tre,ott,ove,
$      mx,my,mx1,my1,mx2,my2,ip_w,ip_e,ip_s)
integer mx,my,mx1,my1,mx2,my2,i,j,ip_w,ip_e,ip_s
real*8 vor(mx,my),voplo(mx,my),proplo(mx,my),dx(*),dy(*),
$      u(1:mx,0:my),v(0:mx,1:my),zer,uqt,umz,tre,ott,ove

do j = 2,my1
  do i = 2,mx1
    voplo(i,j) = (v(i,j)-v(i-1,j))/(umz*(dx(i)+dx(i-1)))
$      - (u(i,j)-u(i,j-1))/(umz*(dy(j)+dy(j-1)))
  end do
end do

```

```

    end do
end do

do i = 2, mx1
    voplo(i,1) = (v(i,1)-v(i-1,1))/(umz*(dx(i)+dx(i-1)))
$      - float(lip_s)*(-ott*u(i,0)+ove*u(i,1)-u(i,2))/(tre*dy(1))
    voplo(i,my) = (v(i,my)-v(i-1,my))/(umz*(dx(i)+dx(i-1)))
$      - (ott*u(i,my)-ove*u(i,my1)+u(i,my2))/(tre*dy(my1))
end do

do j = 2, my1
    voplo(1,j) =
$      float(lip_w)*(-ott*v(0,j)+ove*v(1,j)-v(2,j))/(tre*dx(1))
$      - (u(1,j)-u(1,j-1))/(umz*(dy(j)+dy(j-1)))
    voplo(mx,j) =
$      float(lip_e)*(ott*v(mx,j)-ove*v(mx1,j)+v(mx2,j))/(tre*dx(mx1))
$      - (u(mx,j)-u(mx,j-1))/(umz*(dy(j)+dy(j-1)))
end do

voplo(1,1) = zer
voplo(mx,1) = zer
voplo(1,my) = zer
voplo(mx,my) = zer

do j = 1, my1
    do i = 1, mx1
        vor(i,j) = uqt*(voplo(i,j)/proplo(i,j)
$           +voplo(i+1,j)/proplo(i+1,j)
$           +voplo(i,j+1)/proplo(i,j+1)
$           +voplo(i+1,j+1)/proplo(i+1,j+1))
    end do
end do

return
end
*****
subroutine piuomeno(tichi,ame)
real*8 zer,utt,ust,cqs,uno,due,tre,ame,tichi
zer = 0.d0
utt = 1.d0/8.d0
ust = 1.d0/6.d0
cqs = 5.d0/6.d0
uno = 1.d0
due = 2.d0
tre = 3.d0
if(tichi.lt.zer) then
    ame = (tichi-tre*(due*tichi+uno)*utt)/(due*tichi-uno)

```

STUDIO PER LO SVILUPPO DI MODELLI DRODINAMICI RIGUARDANTI GLI
ASPETTI DI INTERAZIONE ONDA-CORRENTE

```
else if(tichi.ge.zer.and.tichi.lt.ust) then
    ame = (tre*tichi-tre*(due*tichi+uno)*utt)/(due*tichi-uno)
else if(tichi.ge.ust.and.tichi.le.cqs) then
    ame = zer
else if(tichi.gt.cqs.and.tichi.le.uno) then
    ame = (uno-tre*(due*tichi+uno)*utt)/(due*tichi-uno)
else if(tichi.gt.uno) then
    ame = (tichi-tre*(due*tichi+uno)*utt)/(due*tichi-uno)
end if
return
end
*****
```